

阪大基礎工・固体物理セミナー

磁気光学効果の最近の展開
—非線形磁気光学効果を中心に—

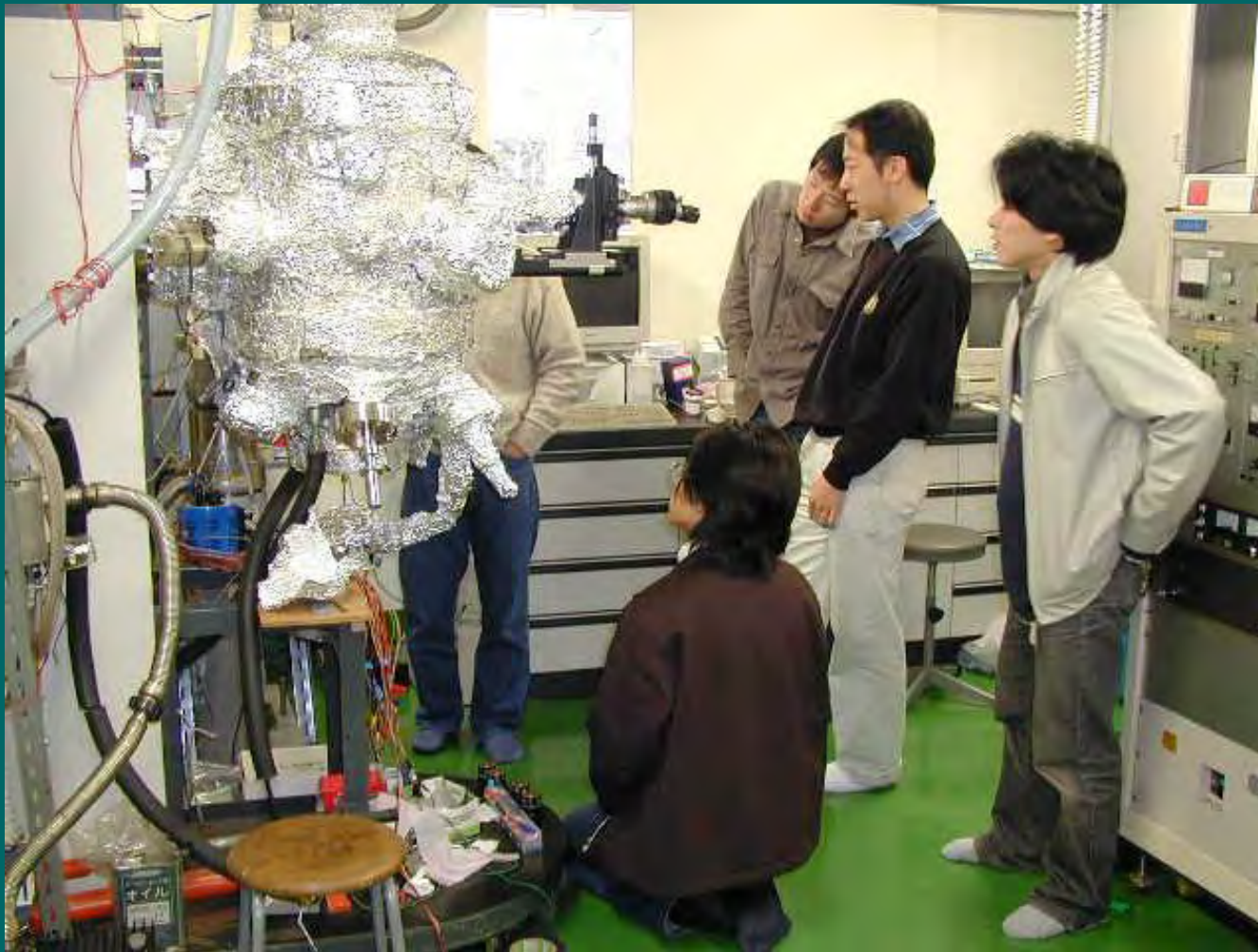
東京農工大学

佐藤勝昭

内容

1. 非線形磁気光学効果
2. 近接場磁気光学効果

実験室風景：もの作り系1



- MBE装置を使って酸化
物高温超伝導体
や磁性半
導体の薄
膜を作製
します。

実験室風景： もの作り系2

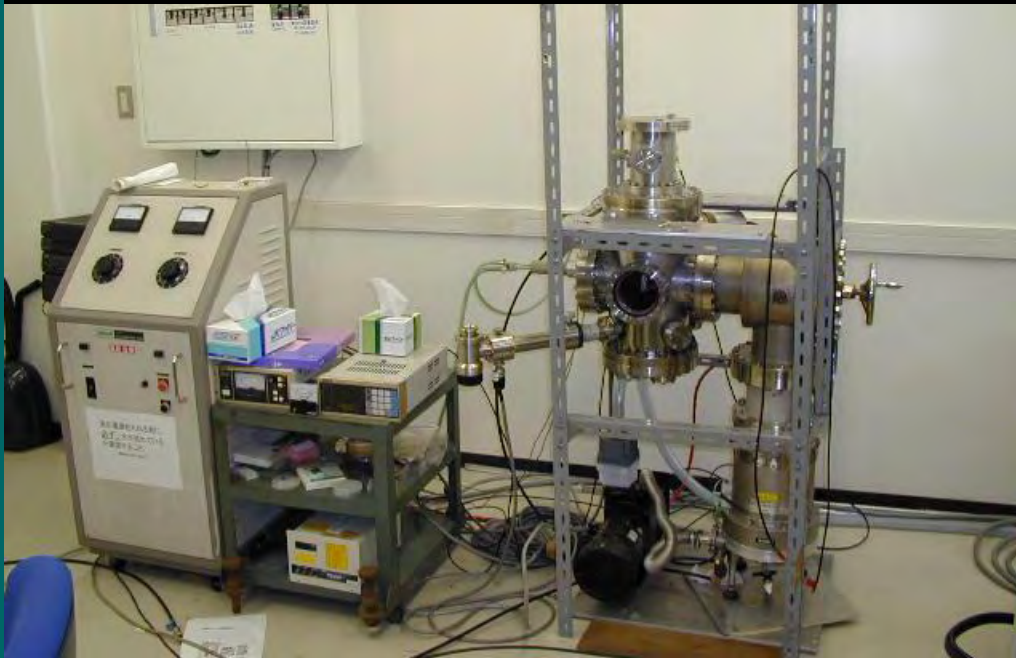


- 電子ビームリソグラフィや
 - 集束イオンビーム装置
- を使って磁性体ナノ構造を作っています。

実験室風景：もの作り系3

スパッタ法や電子ビーム蒸着法で磁性体薄膜を作ります。

電子ビーム蒸着装置↓

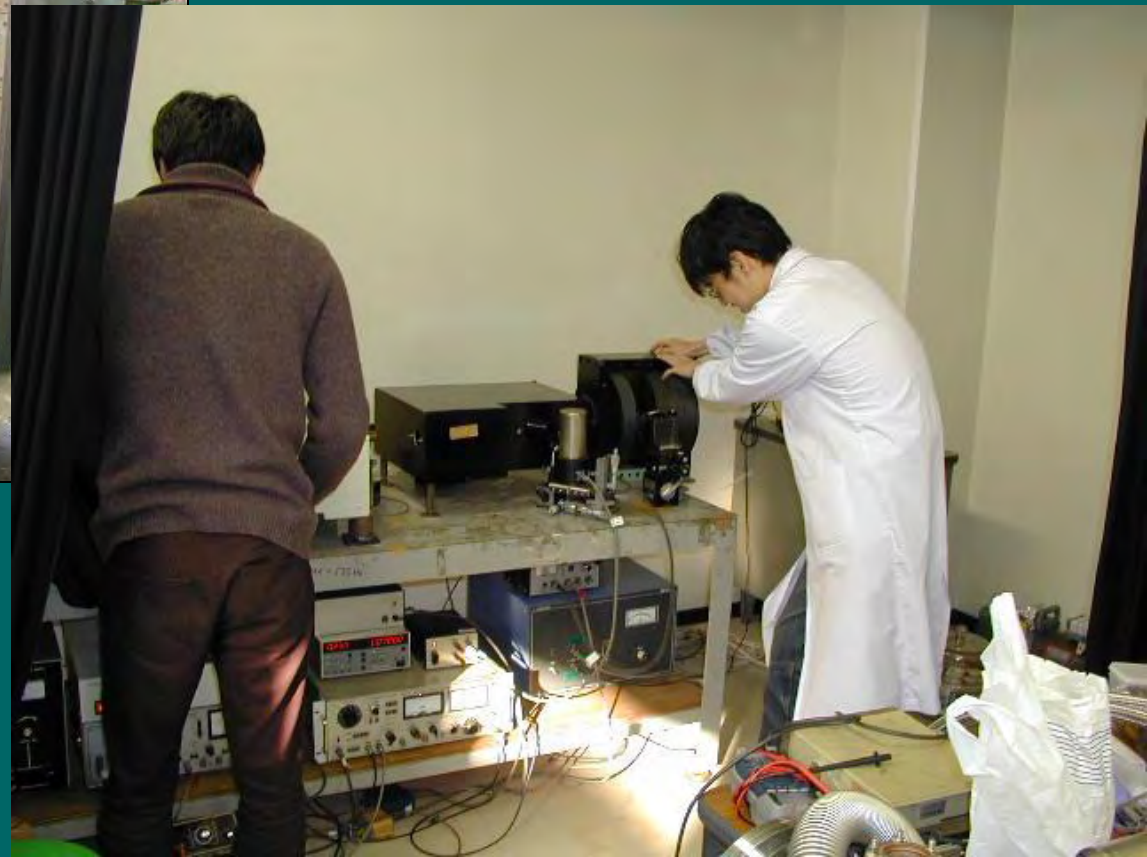


RFマグネトロンスパッタ装置↑

実験室風景：評価系1

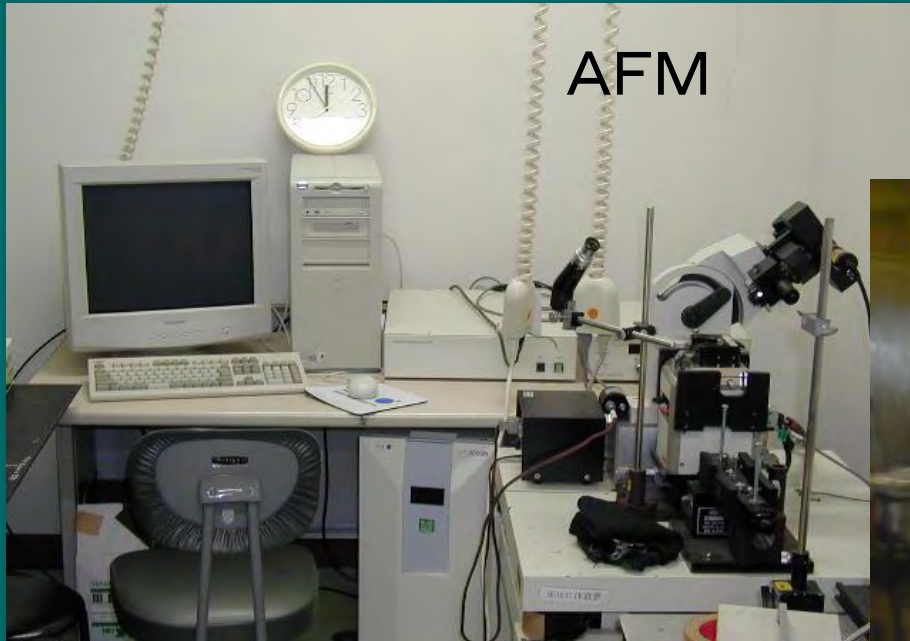


←VSM装置で物質の磁化を測定します。



- 磁気光学スペクトル測定装置を使って磁性体の電子構造などを調べています。→

実験室風景：評価系2



- AFMやSEMを使ってナノメートル領域の表面を観察します。



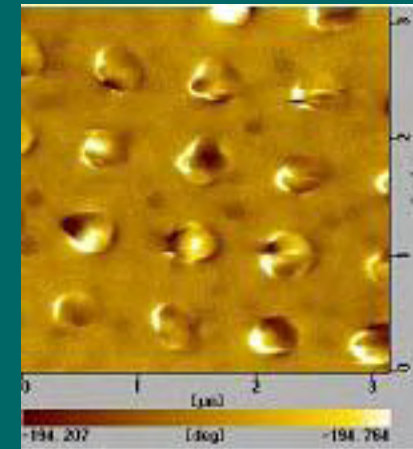
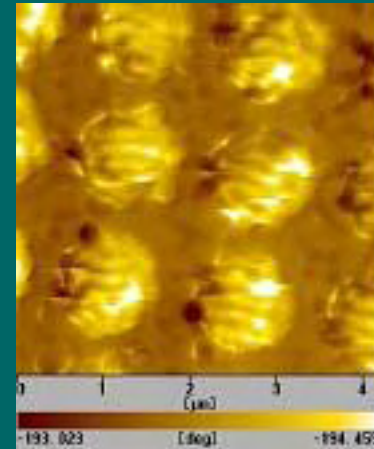
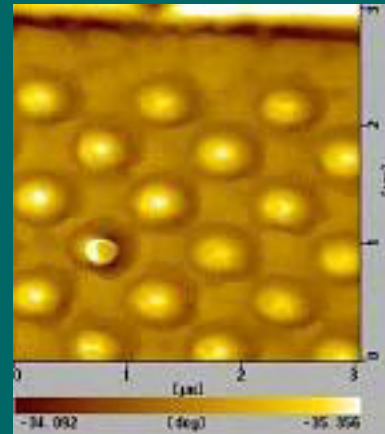
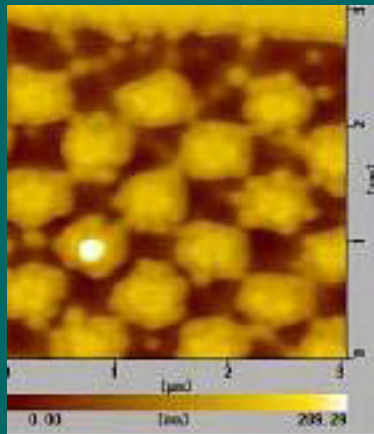
VBLにあるFE・SEM

実験室風景：評価系3

- 100フェムト秒という超短パルスレーザを用いて非線形磁気光学の実験をしています。



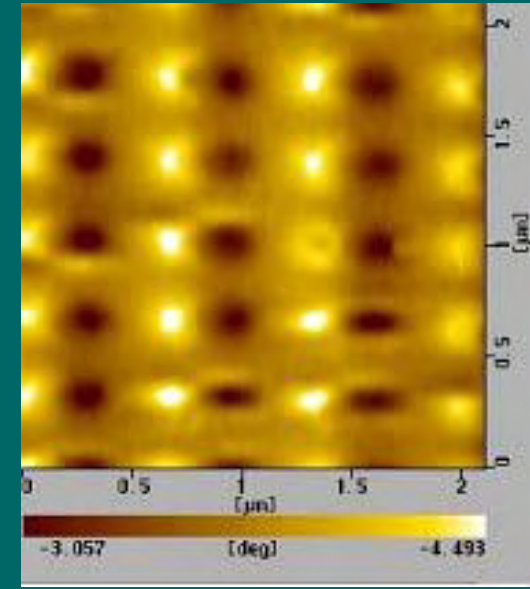
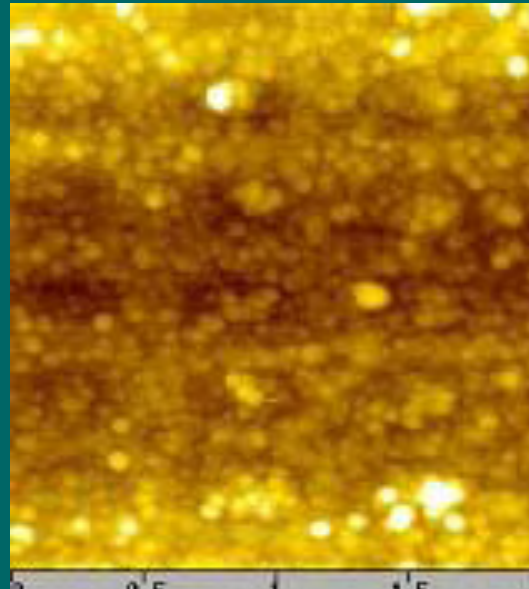
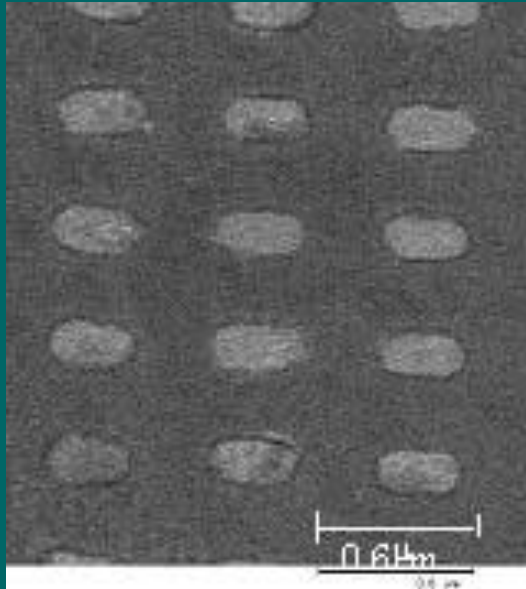
ナノサイズ加工



- CoCrPt
AFM/MFM

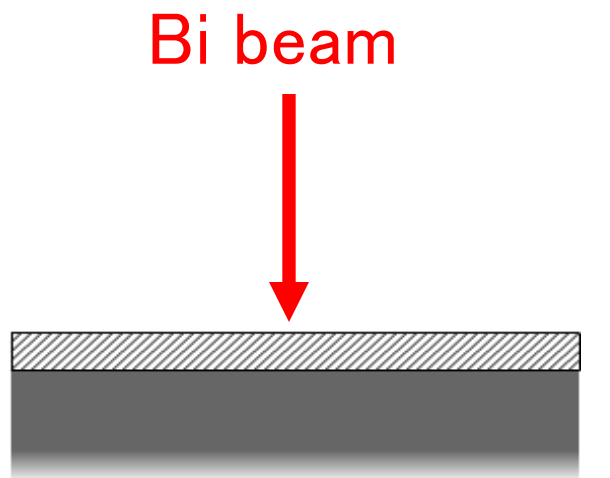
- Co MFM
- 1μm, 0.3μm

ナノサイズ加工(2)



- EBリソを用いてDamascene法でSiに埋め込んだPermalloyドット(100nm×300nm 深さ100nm)

作製プロセス・条件



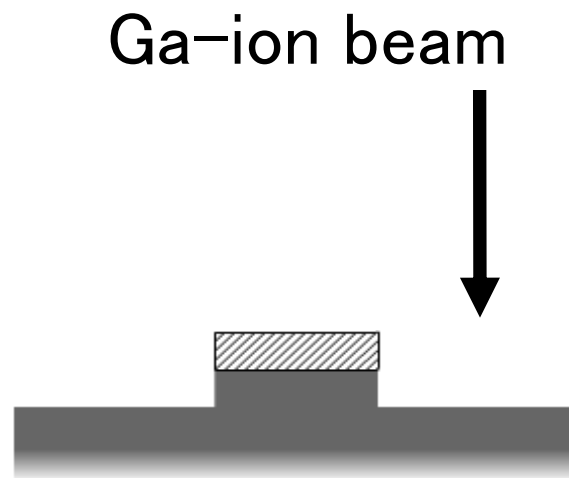
Bi保護膜の蒸着

Growth Rate

0.13 Å/sec.

Thickness

100 – 150nm



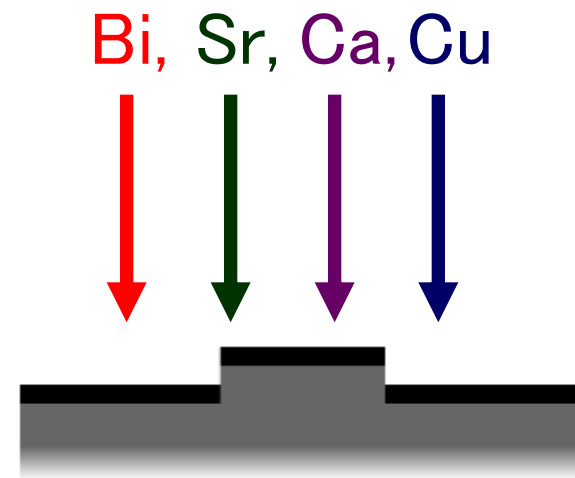
FIBによる加工

Diameter of Ga Beam

50nm

Depth of grooves

0.5μm



MBEによる成膜

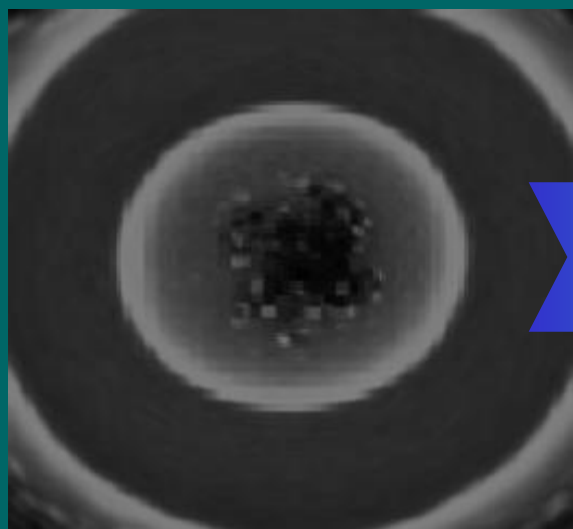
Growth Rate

0.42 Å/sec.

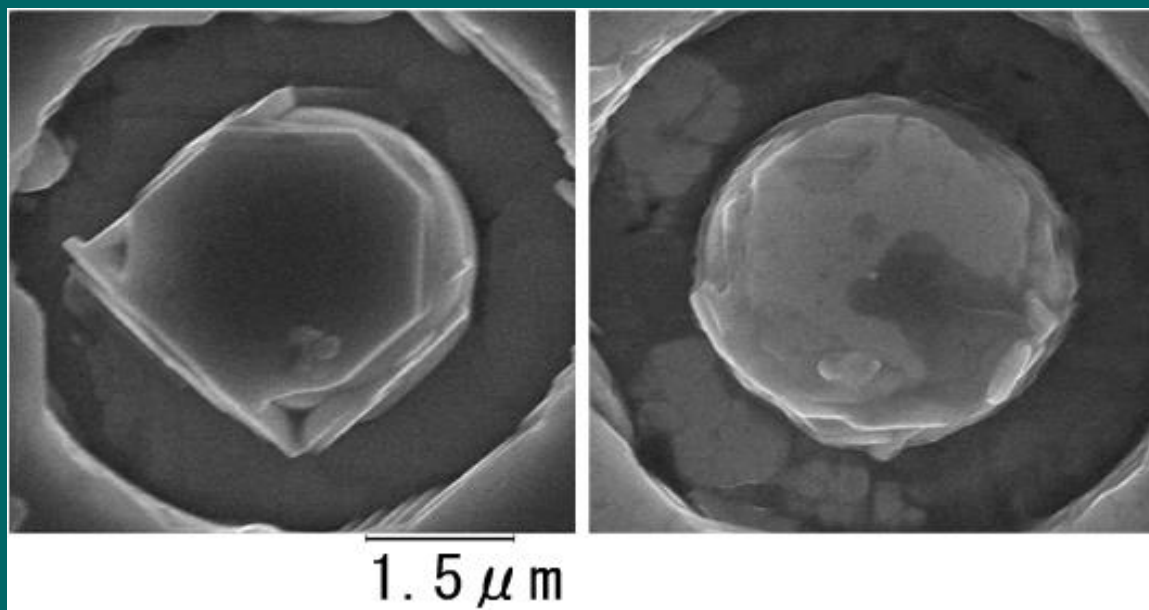
Thickness

150nm

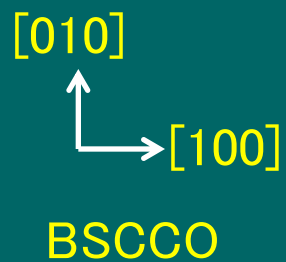
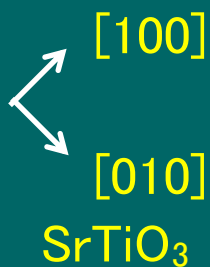
ファセット成長



BSCCO
evaporation
by MBE



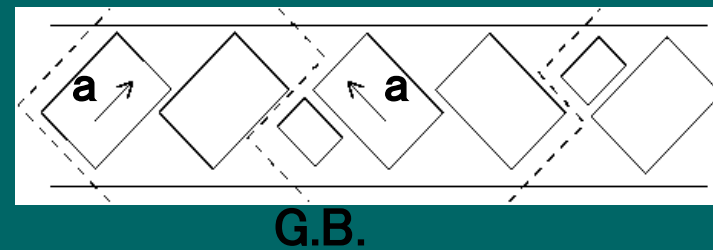
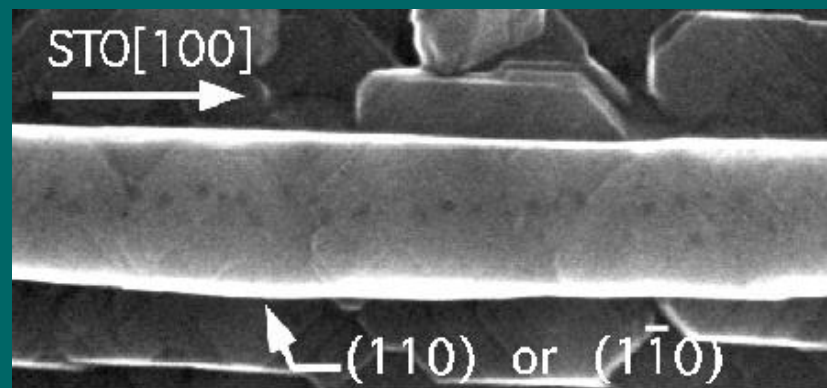
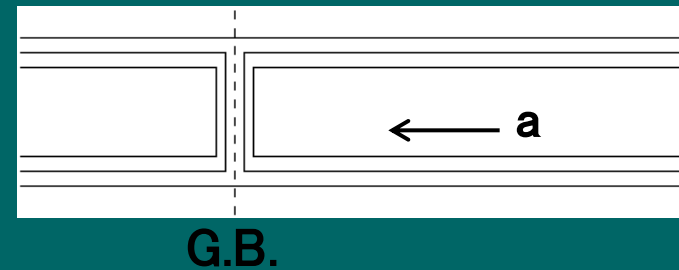
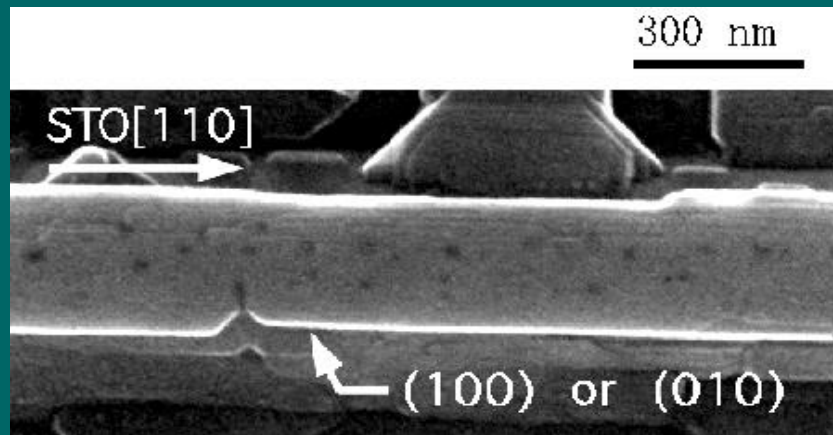
成膜前



2212相

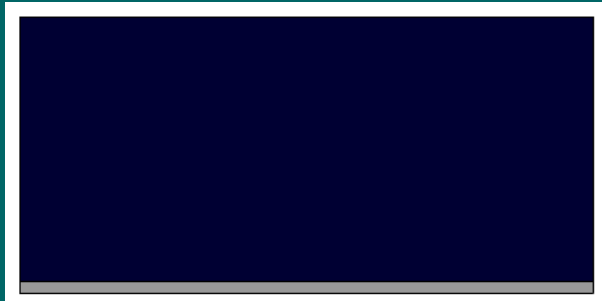
2223相

ラインパターン

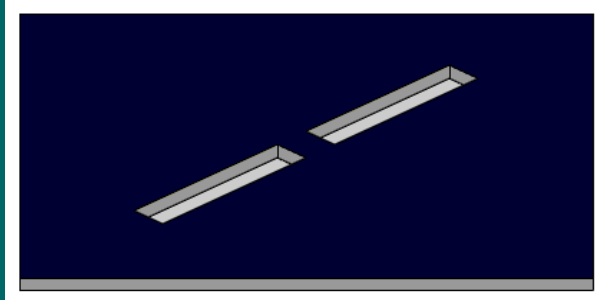


本研究室 石橋隆幸助手らによる

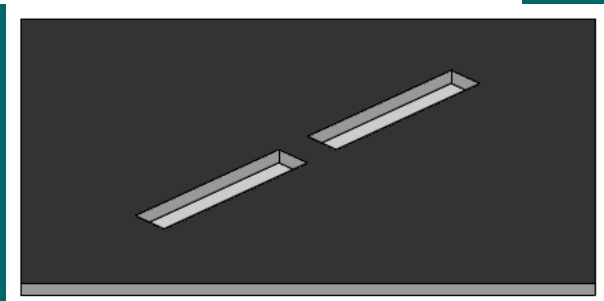
Bridge構造の作製



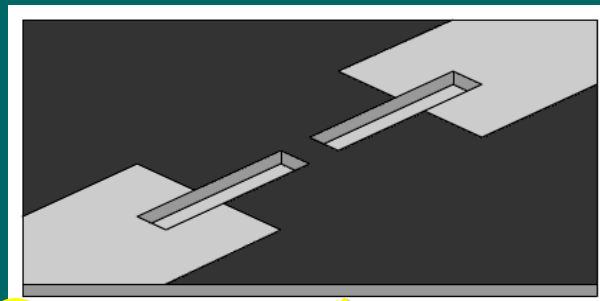
① Bi保護膜蒸着



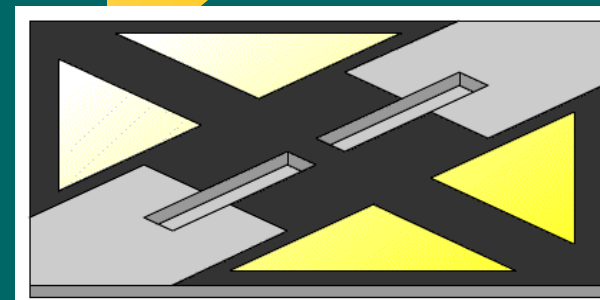
② FIBにて加工



③ BSCCO成膜

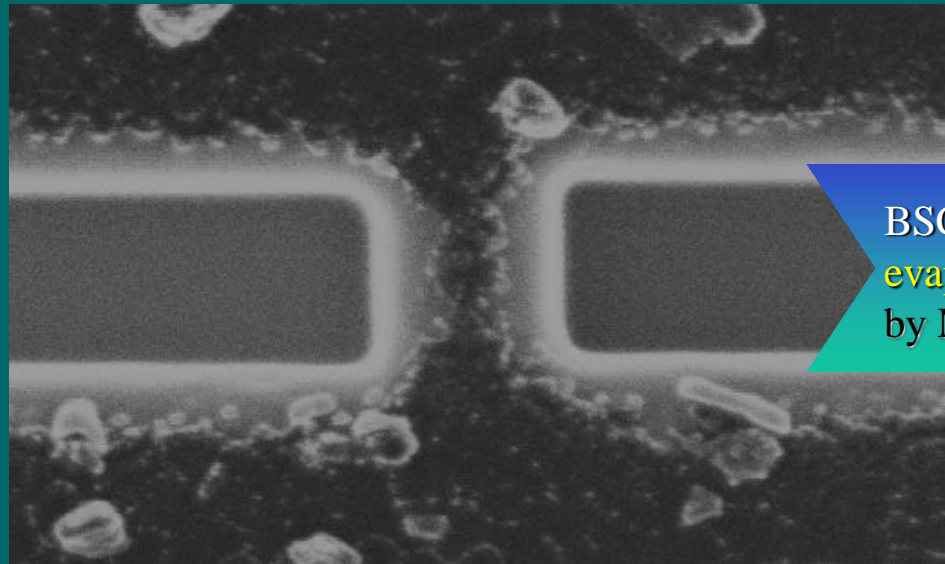


④ フォトリソグラフィにて
不要領域の削除



⑤ Au電極の蒸着

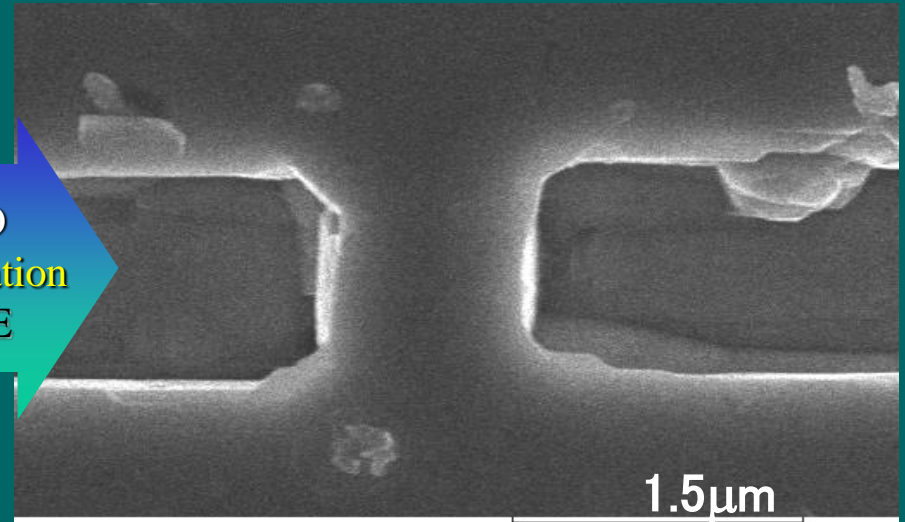
作製したBridge構造



SIM像
Bi/SrTiO₃

[100]
[010]
SrTiO₃

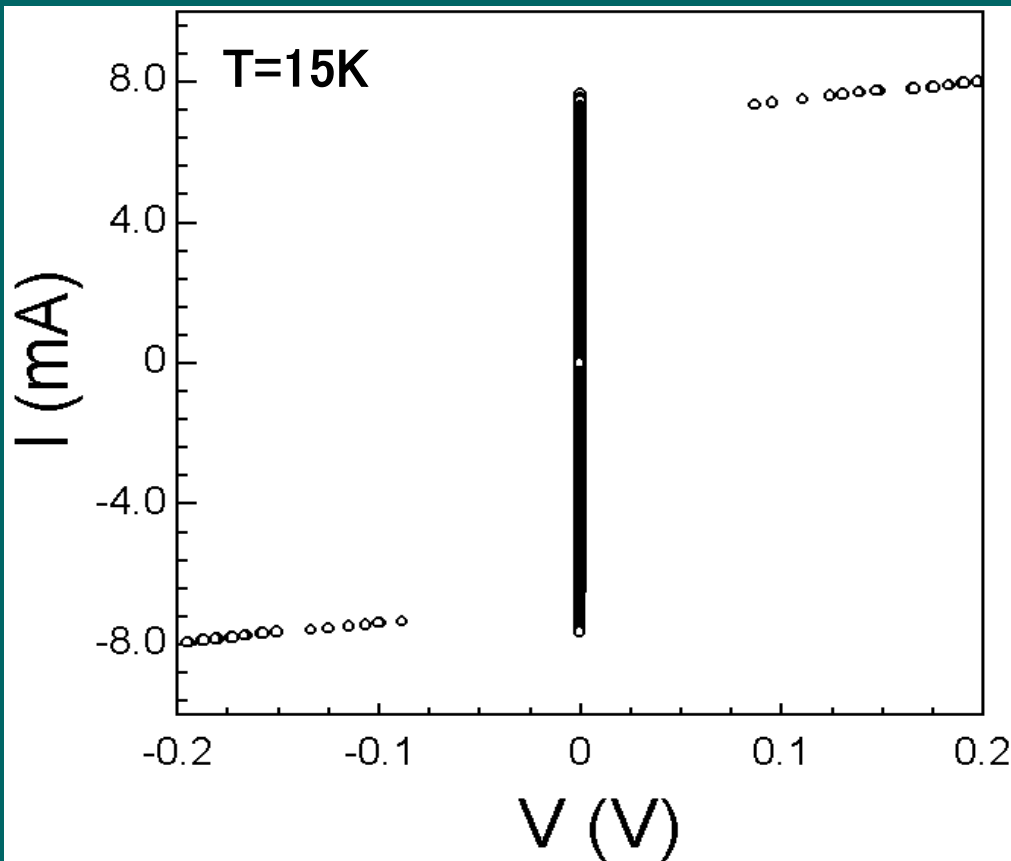
BSCCO
evaporation
by MBE



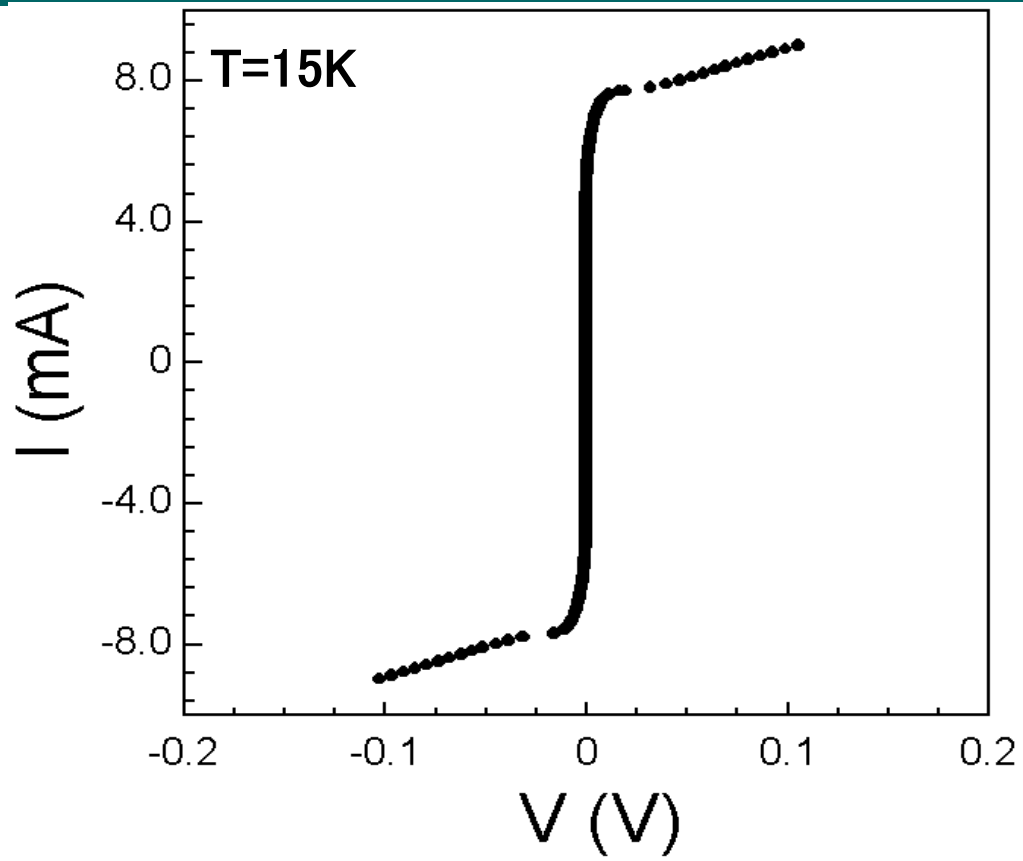
SEM像
BSCCO/SrTiO₃

[010]
[100]
BSCCO

電流-電圧特性



Bridge-A₁ d = 0.9 μm
I_c = 4.75 mA
J_c = 3.52 × 10⁶ A/cm²



Bridge-A₂ d = 3.0 μm
I_c = 5.75 mA
J_c = 1.28 × 10⁶ A/cm²

非線形磁気光学効果

- 非線形光学効果とは
第2高調波光に対する磁気光学効果
- 非線形カー回転とは？
P偏光が入射したとき、SH光にはP成分とS成分が生じ、入射面から回転する。
- 中心対称のある物質(Fe, Auなど)では、電気双極子によるSHGは起きない。表面界面に敏感

理論的予言と実験的検証

- 非線形磁気光学効果は、線形の磁気光学効果よりも大きな効果が生じる可能性が予言され¹⁾、これを検証するために多くの実験が試みられ最近になって明確に検証された^{2,3)}。

1) W. Hübner and K.-H. Bennemann: Phys. Rev. **B40**, 5973 (1989)

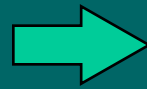
2) Th. Rasing et al.: J. Appl. Phys. **79**, 6181 (1996)

3) Th. Rasing: J. Mag. Soc. Japan **20** (Suppl. S1), 13 (1996)

非線形磁気光学効果の表面敏感性

•非線形磁気光学効果の応用

表面界面の
対称性の破れ
に敏感



磁性人工格子の層間
相互作用の評価、
磁区のイメージング

この効果は、記録技術としては実用に直結するとは考えられないが、新しい観測手段として見た場合、線形磁気光学効果にはない多くの情報を提供するので、磁性の基礎研究者から注目を集めている。

非線形光学効果

- For weak incident laser field $E(\omega)$:

$$P_i^{(1)} = \chi_{ij}^{(1)} \varepsilon_0 E_j$$

linear
response

- For strong incident laser field $E(\omega)$:

$$P_i = \varepsilon_0 (\chi_{ij}^{(1)} E_j + \chi_{ijk}^{(2)} E_j E_k + \chi_{ijkl}^{(3)} E_j E_k E_l + \dots)$$

Nonlinear
response

Third rank tensor is not allowed in centrosymmetric materials.

- Nonlinear polarization $P^{(2)}$ for incident field of $E = E_0 \sin \omega t$

$$P^{(2)} = \varepsilon_0 \chi^{(2)} \frac{E_0}{2} + \varepsilon_0 \chi^{(1)} E_0 \sin \omega t - \varepsilon_0 \chi^{(2)} \frac{E_0^2}{2} \cos 2\omega t + \dots$$

Second harmonic generation (SHG)

2次の非線形分極

$$P^{(2)}_i(t) = \int d\tau_1 d\tau_2 \chi^{(2)}_{ijk}(\tau_1, \tau_2) E_j(t - \tau_1) E_k(t - \tau_2)$$

$$E_j(t) = \{ E_{1j} \exp(i\omega_1 t) + E_{2j} \exp(i\omega_2 t) + c.c. \} / 2$$



parametric process

$$P_i^{(2)}(t) = P_i^{(2)}(\omega_1 + \omega_2) \exp\{i(\omega_1 + \omega_2)t\} + P_i^{(2)}(\omega_1 - \omega_2) \exp\{i(\omega_1 - \omega_2)t\}$$

$$+ P_i^{(2)}(0) + P_i^{(2)}(2\omega_1) \exp(i2\omega_1 t) + P_i^{(2)}(2\omega_2) \exp(i2\omega_2 t) + c.c$$

光整流

SHG process

非線形感受率の定義

$$P_i^{(2)}(\omega_1 + \omega_2) = \chi_{ijk}^{(2)}(\omega_1 + \omega_2; \omega_1, \omega_2) E_j(\omega_1) E_k(\omega_2)$$

$$P_i^{(2)}(\omega_1 - \omega_2) = \chi_{ijk}^{(2)}(\omega_1 - \omega_2; \omega_1, \omega_2) E_j(\omega_1) E_k(\omega_2)$$

$$P_i^{(2)}(0) = (1/2) \chi_{ijk}^{(2)}(0; \omega, -\omega) E_j(\omega) E_k(\omega) \quad (\omega = \omega_1, \omega_2)$$

$$P_i^{(2)}(2\omega) = (1/2) \chi_{ijk}^{(2)}(2\omega; \omega, \omega) E_j(\omega) E_k(\omega) \quad (\omega = \omega_1, \omega_2)$$

反転対称をもつ物質 \Rightarrow $\chi_{ijk}^{(2)}$ のすべての成分は消滅

(対称操作から)

表面や界面 \Rightarrow 対称性の破れ \Rightarrow 反転対称をもつ物質でも
有限の非線形感受率を示す

線形磁気光学効果の波動方程式

$$\text{rot rot } E(\omega) + \frac{\tilde{\varepsilon}(\omega)}{c^2} \frac{\partial^2}{\partial t^2} E(\omega) = 0$$

$$\tilde{\varepsilon}(\omega) = \begin{pmatrix} \varepsilon_{xx} & 0 & 0 \\ 0 & \varepsilon_{xx} & -\varepsilon_{yz} \\ 0 & \varepsilon_{yz} & \varepsilon_{xx} \end{pmatrix}$$

$$\Psi_K = \phi_K + i\eta_K \quad (\text{複素力一回転角})$$

$$\tan \Psi_K^{(1)}(\omega) = -\frac{\chi_1^{(1)}}{\chi_0^{(1)}} \cdot \frac{\sin \theta_i \cos \theta_i}{\sqrt{\cos^2 \theta_i + \chi_0^{(1)}}} \cdot \frac{\cos(2\theta_i) + \chi_0^{(1)}}{\cos(2\theta_i) + \chi_0^{(1)} \cos^2 \theta_i}$$

$$\chi_1^{(1)} = \varepsilon_{yz}, \quad \chi_0^{(1)} = \varepsilon_{xx} - 1 = N^2 - 1$$

非線形磁気光学効果の波動方程式

$$\mathit{rot} \mathit{rot} \mathbf{E}(2\omega) + \frac{\tilde{\varepsilon}}{c^2} \frac{\partial^2}{\partial t^2} \mathbf{E}(2\omega) = - \frac{1}{\varepsilon_0 c^2} \frac{\partial^2}{\partial t^2} \mathbf{P}^{(2)}(2\omega)$$

$$\mathbf{P}_i^{(2)}(2\omega) = \chi_{ijk}^{(2)}(2\omega:\omega,\omega) \mathbf{E}_j^{(1)}(\omega) \cdot \mathbf{E}_k^{(1)}(\omega)$$

非斉次部分は屈折率には依存せず

2次の表面応答関数 $\chi^{(2)}$ のみに結びつく

特殊解を与える。

非線形磁氣光学効果

$$E_r^{(2)\pm}(2\omega) = -\frac{P^{(2)\pm}(2\omega) \sin \theta_s}{\epsilon_0 c^2} \frac{F_1^\pm}{F_3^\pm F_2^\pm}$$

$$F_1^\pm = \sin^2 \theta_i + \frac{1 + \chi^{(1)\pm}(2\omega)}{1 + \chi_0^{(1)\pm}(2\omega)} S_1^\pm(\theta_i) S_2^\pm(\theta_i) \\ + \frac{\chi^{(1)\pm}(2\omega) - \chi_0^{(\pm)}(2\omega)}{\chi^{(1)\pm}(\omega) - \chi_0^{(\pm)}(2\omega)} \left[\frac{1 + \chi^{(1)\pm}(2\omega)}{1 + \chi_0^{(1)\pm}(2\omega)} [1 + \chi^{(1)\pm}(\omega)] - 2 \sin^2 \theta_i \right] S_1^\pm(\theta_i) S_2^\pm(\theta_i)$$

$$F_2^\pm = [1 + \chi^{(1)\pm}(2\omega)] S_1^\pm(\theta_i) + [1 + \chi^{(1)\pm}(\omega)] S_2^\pm(\theta_i)$$

$$F_3^\pm = [1 + \chi^{(1)\pm}(2\omega)] \cos \theta_i$$

非線形力一回転角

$$\tan \Psi_K^{(2)} = i \left(\frac{\chi^{(2)+} F_1^+ F_2^- F_3^- - \chi^{(2)-} F_1^- F_2^+ F_3^+}{\chi^{(2)+} F_1^+ F_2^- F_3^- + \chi^{(2)-} F_1^- F_2^+ F_3^+} \right) = i \left(\frac{\chi^{(2)odd}}{\chi^{(2)even}} + \text{高次項} \right)$$

非線形力一効果は線形の場合と異なり

主として $\chi^{(2)odd}/\chi^{(2)even}$ が寄与する。

この項は反転対称をもつバルク結晶では0。

表面・界面では有限の値を持つ。

表面敏感性  表面磁性の研究に活用！

線形磁気光学効果と 非線形磁気光学効果の違い

線形の場合：

$1/\sqrt{\cos^2 \theta_i + \chi_0^{(1)}}$ の因子がかかることによって、

$\Psi_K^{(1)}$ を小さくしている。

非線形の場合：

このような因子が存在しない。

非線形磁気光学効果のミクロな起源

SHG ← 3光子プロセス

$$\chi_{xzz}^{(2)}(\mathbf{q}, 2\omega; \vec{\mathbf{M}}) \sim \frac{\lambda_{so}}{\hbar\omega} \sum_{\sigma} \langle \mathbf{k} + 2\mathbf{q} | \mathbf{x} | \mathbf{k} \rangle \langle \mathbf{k} | \mathbf{z} | \mathbf{k} + \mathbf{q} \rangle \langle \mathbf{k} + \mathbf{q} | \mathbf{z} | \mathbf{k} + 2\mathbf{q} \rangle \frac{F_{\sigma}}{\varepsilon_{\mathbf{k}+2\mathbf{q},\sigma} - \varepsilon_{\mathbf{k},\sigma} - 2\hbar\omega}$$

ここに

$$F_{\sigma} = \frac{f(\varepsilon_{\mathbf{k}+2\mathbf{q}}) - f(\varepsilon_{\mathbf{k}+\mathbf{q}})}{\varepsilon_{\mathbf{k}+2\mathbf{q},\sigma} - \varepsilon_{\mathbf{k}+\mathbf{q},\sigma} - \hbar\omega} - \frac{f(\varepsilon_{\mathbf{k}+\mathbf{q}}) - f(\varepsilon_{\mathbf{k}})}{\varepsilon_{\mathbf{k}+\mathbf{q},\sigma} - \varepsilon_{\mathbf{k},\sigma} - \hbar\omega}$$

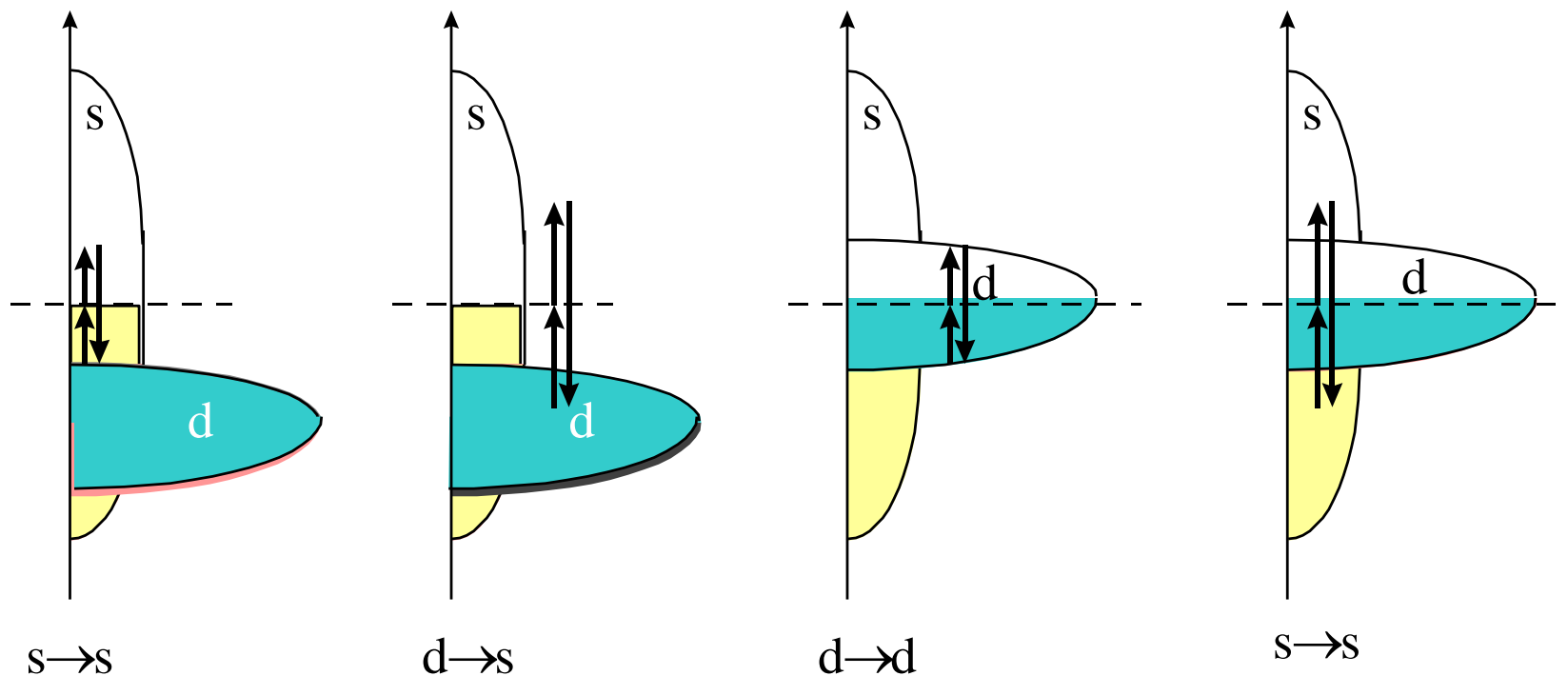
$$|k, q, l\rangle \xrightarrow{\omega} |k+q, l'\rangle \xrightarrow{\omega} |k+2q, l''\rangle \quad |kl\rangle \rightarrow |k+2q, l''\rangle$$

基底状態

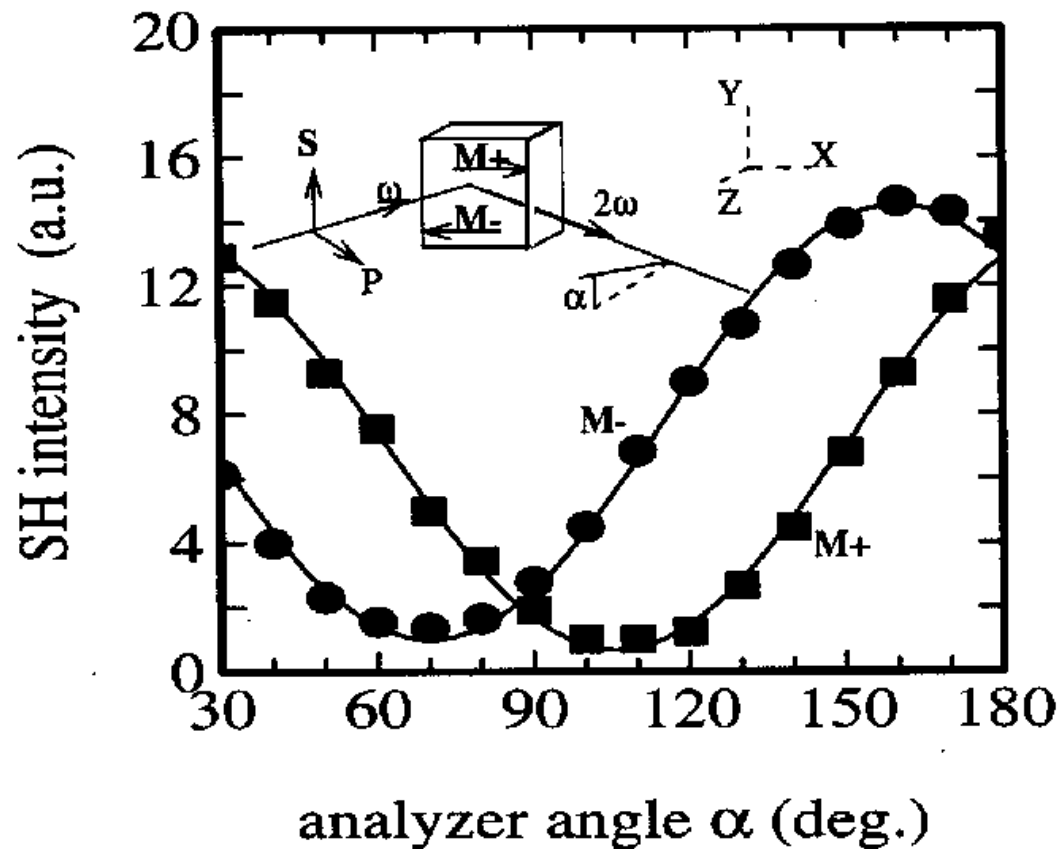
中間状態

励起状態

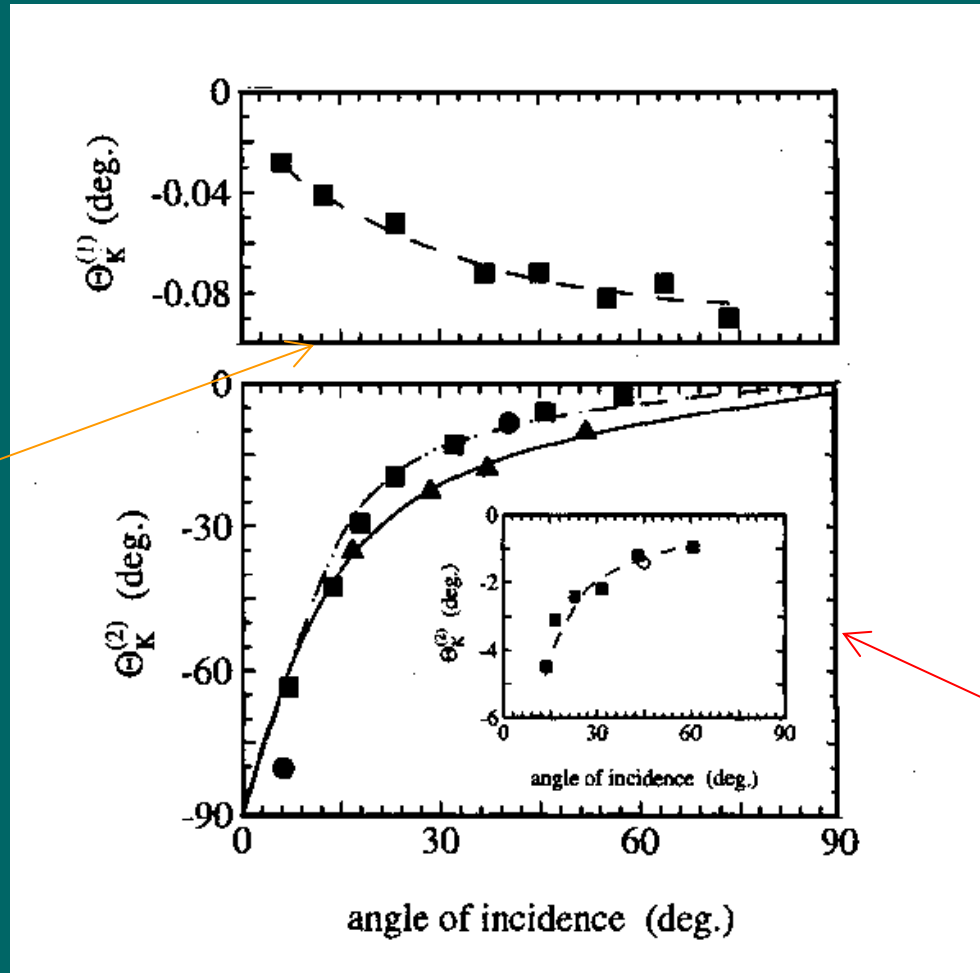
SHGプロセスのミクロな起源



Feの非線形力一回転



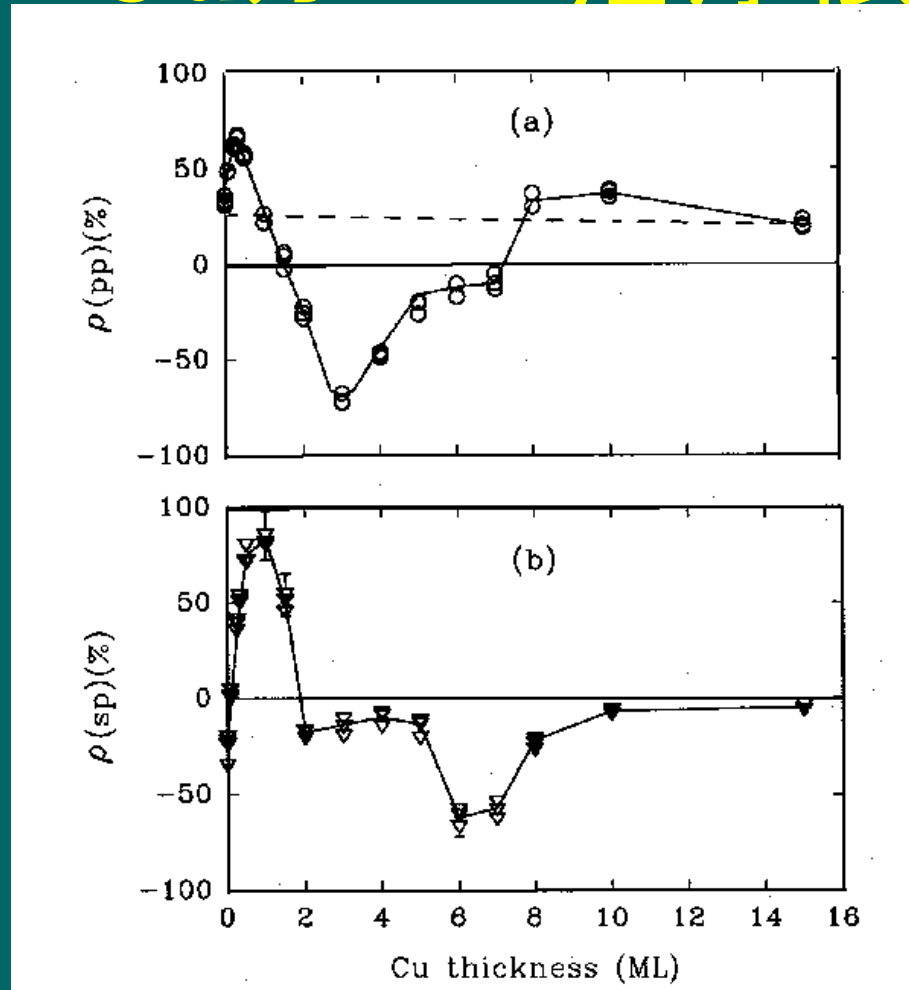
非線形力一回転角の入射角依存性



線形力一効果

非線形力一効果

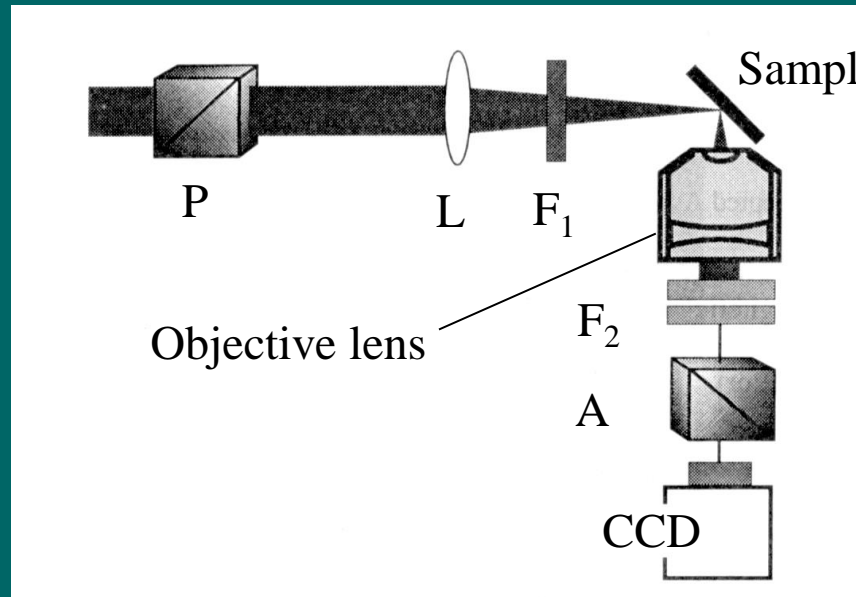
Co10MLの非線形カー効果の Cuカバー層厚依存性



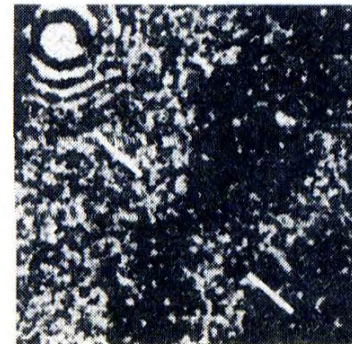
SH信号

Cuの層厚

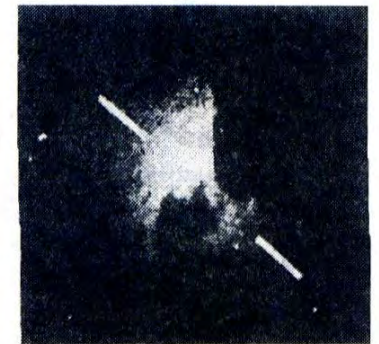
非線形磁気光学顕微鏡



(a) *Linear*



(b) *Nonlinear*

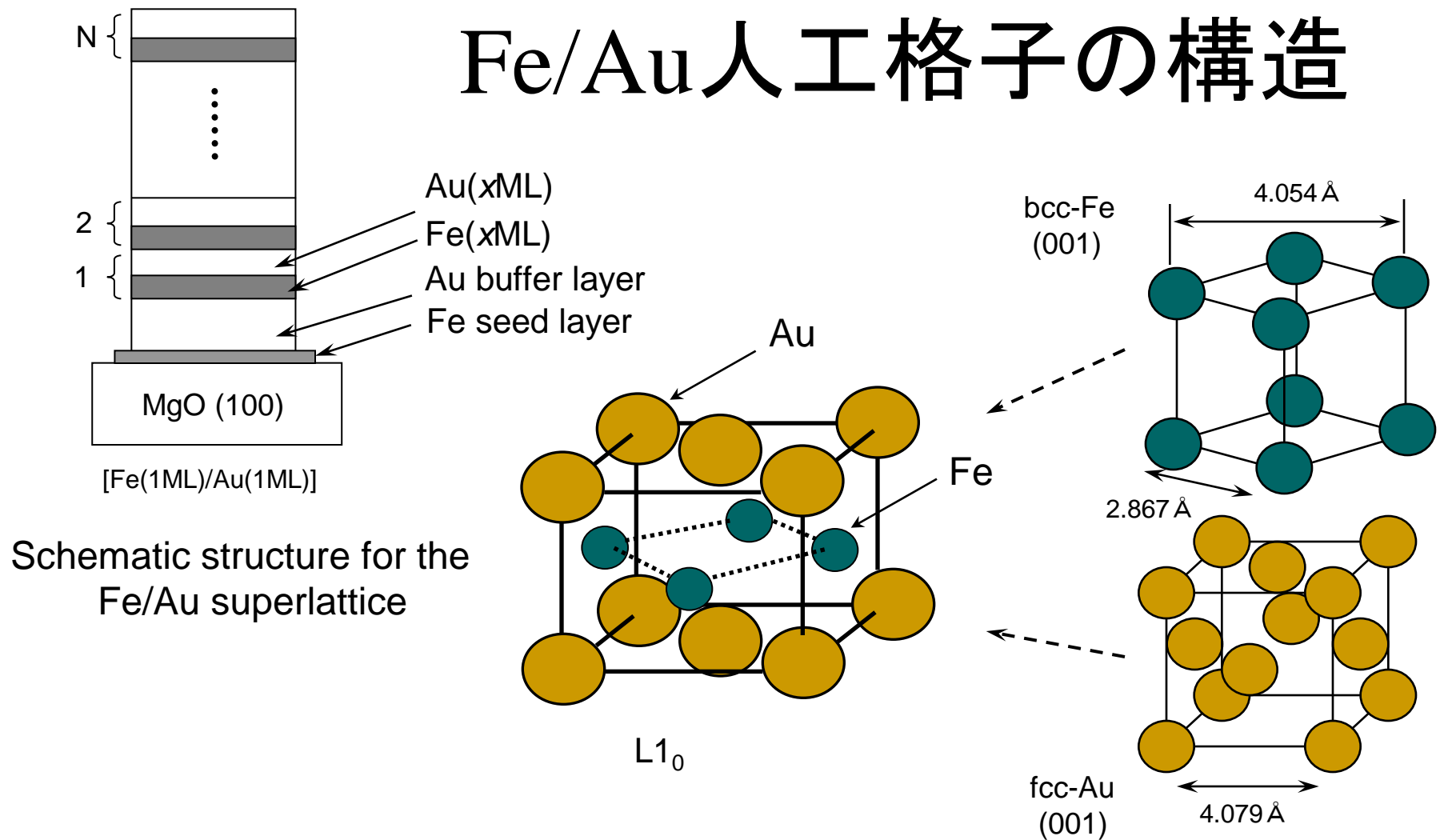


50 μm

線形・非線型磁気光学顕微鏡で観測したCoNiの磁区

非線形磁気光学顕微鏡の模式図

Fe/Au人工格子の構造



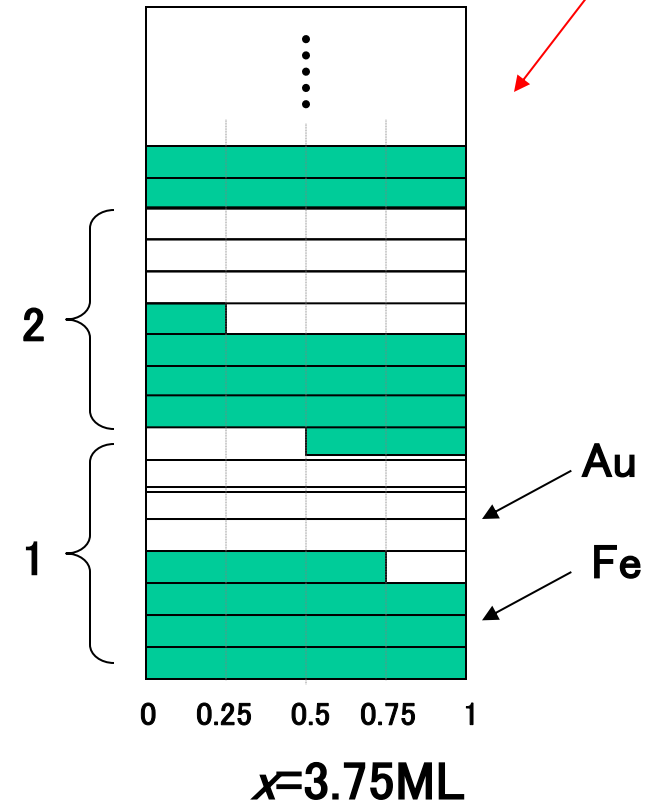
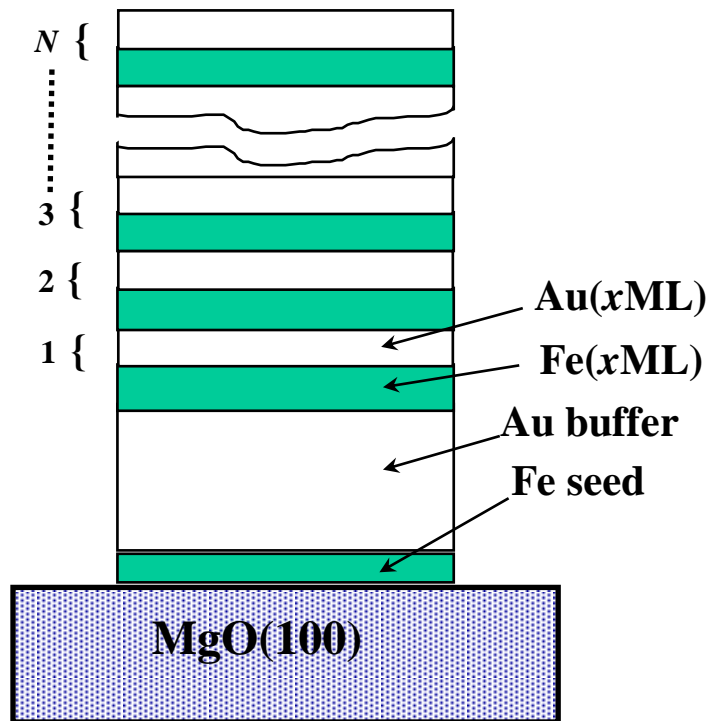
Schematic structure for the Fe/Au superlattice

Atomic arrangement in a unit cell of Fe-Au with a L1₀ structure.

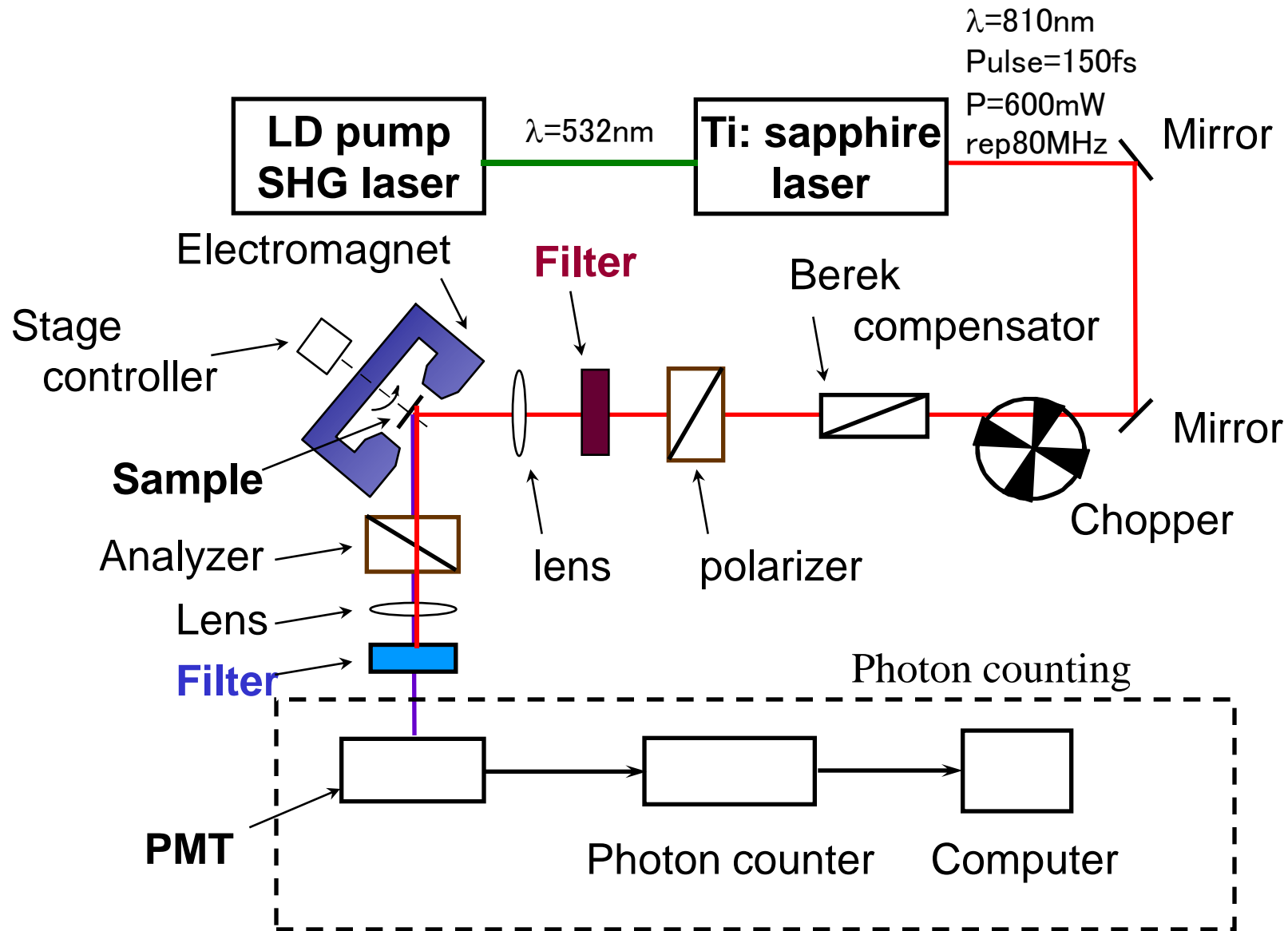
$[\text{Fe}(x\text{ML})/\text{Au}(x\text{ML})]_N$ 人工格子

Integer : $x=1, 4, 6, 15$

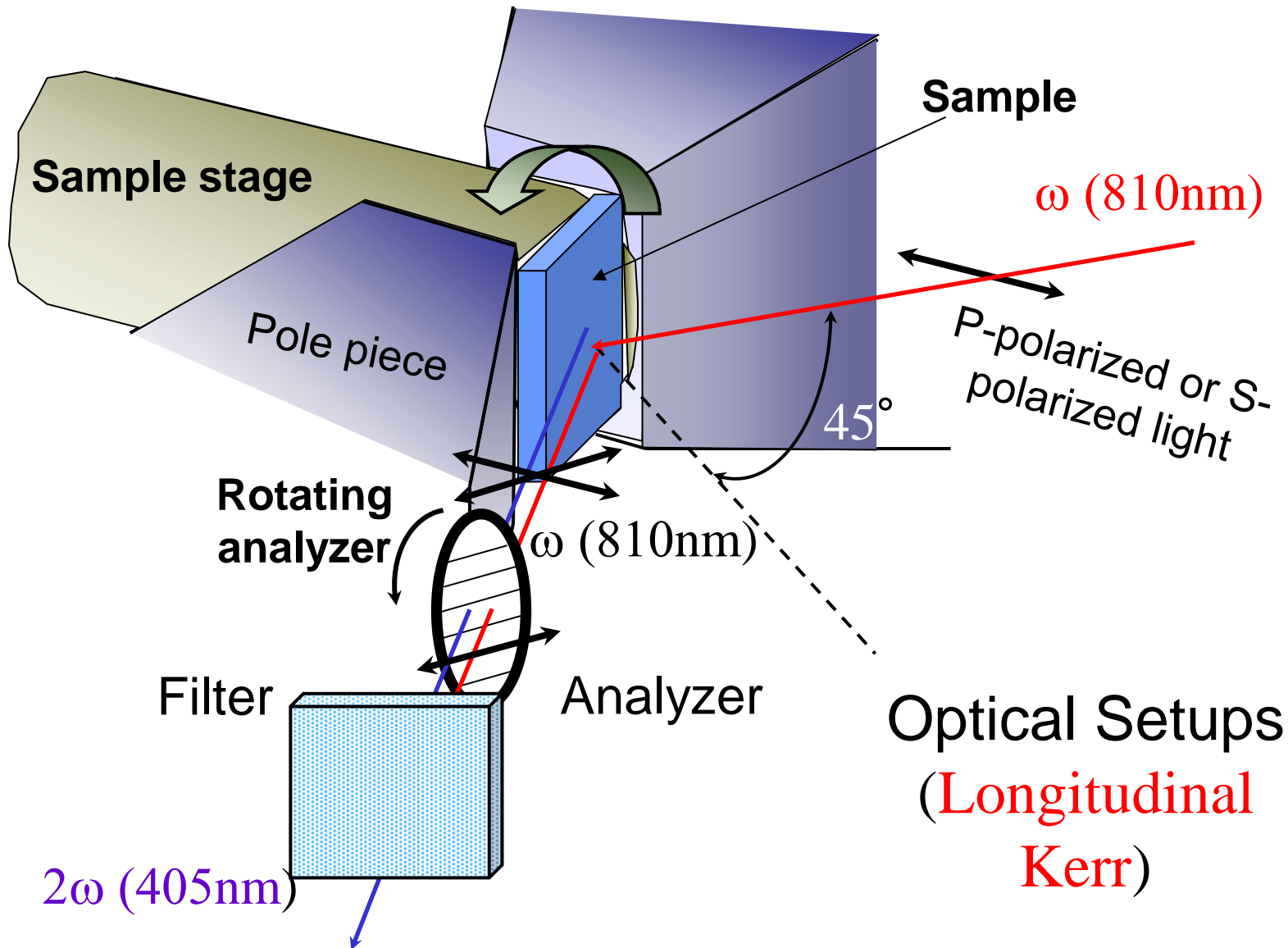
Non-integer : $x=1.25, 1.5, 1.75, 2.25, 2.5, 2.75, 3.25, 3.5, 3.75$



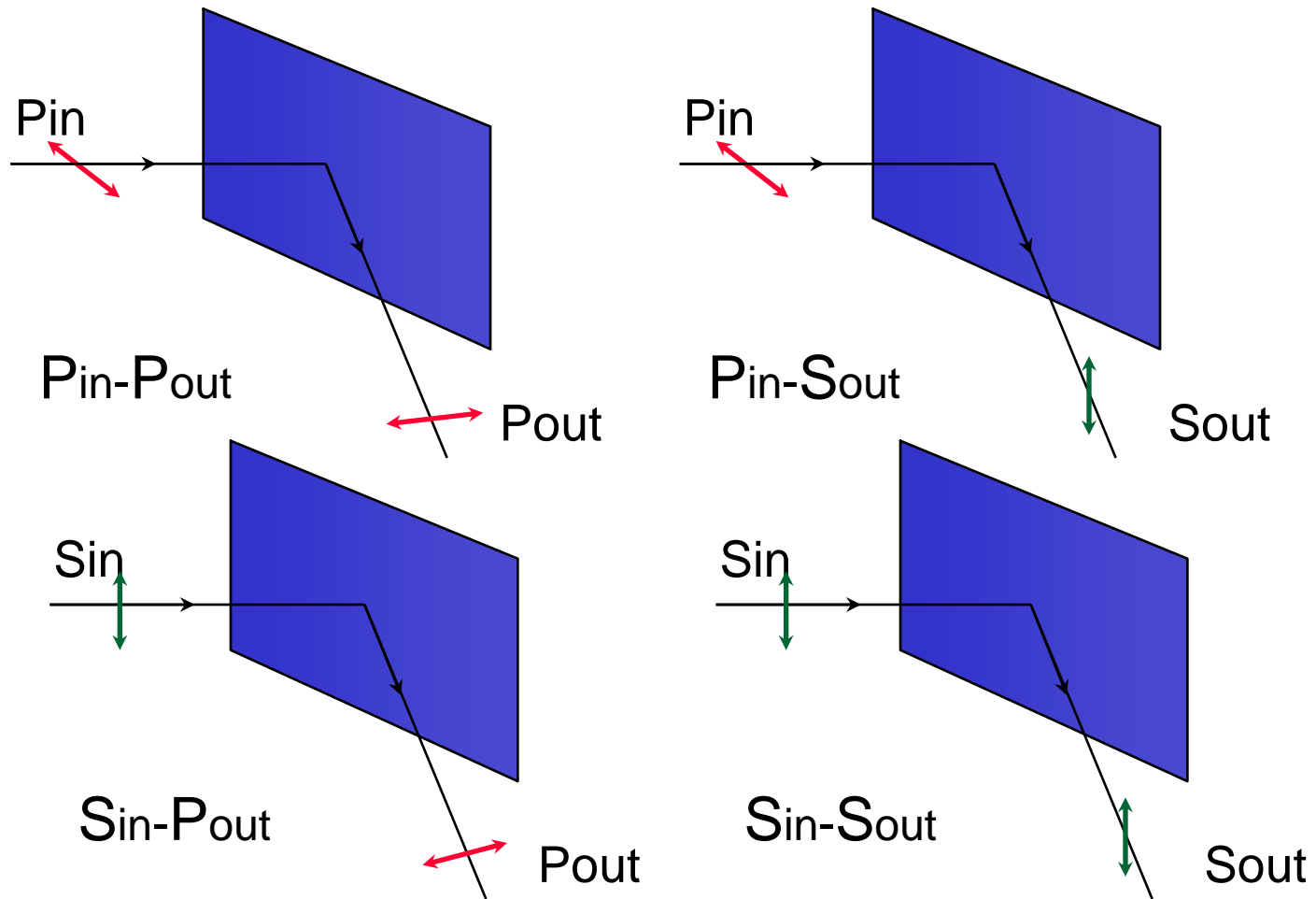
MSHG測定系



MSHG測定系試料付近

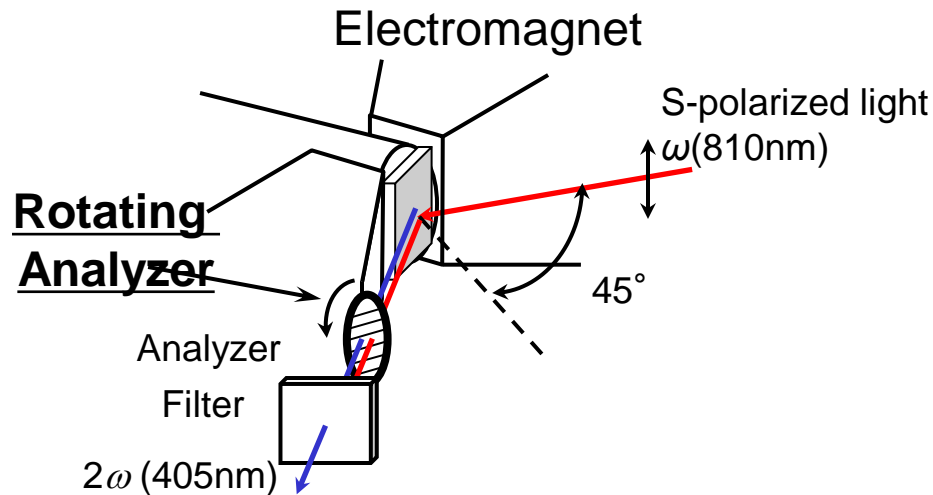
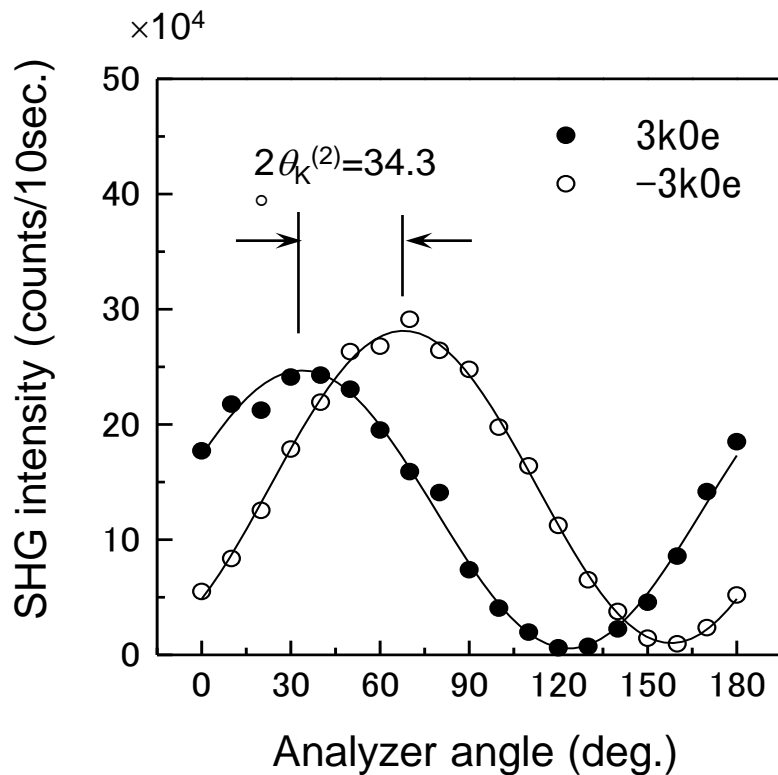


入射・出射光の偏光の組み合わせ



Result

MSHGの検光子方位依存性



The curves show a shift for two opposite directions of magnetic field

$$\eta_K^{(2)} = \frac{1}{2} \left[\tan^{-1} \left(\frac{I_{MAX} (+)}{I_{MIN} (+)} \right) - \tan^{-1} \left(\frac{I_{MAX} (-)}{I_{MIN} (-)} \right) \right]$$

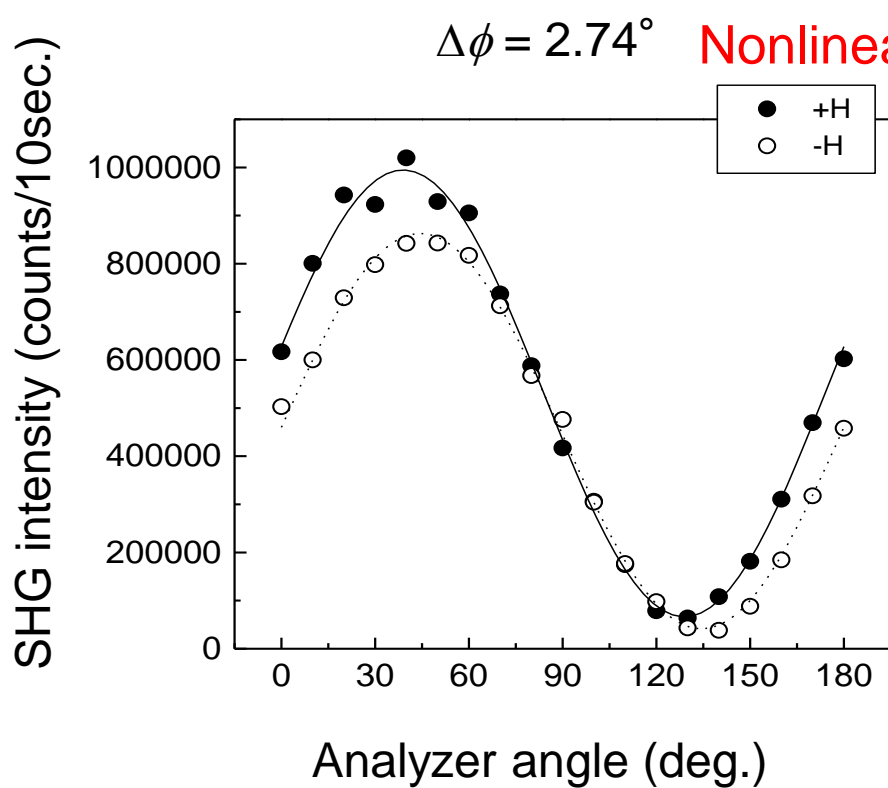
Analyzer angle-dependence for
[Fe(3.5ML)/Au(3.5ML)] superlattice (Sin)

Nonlinear Kerr rotation & ellipticity

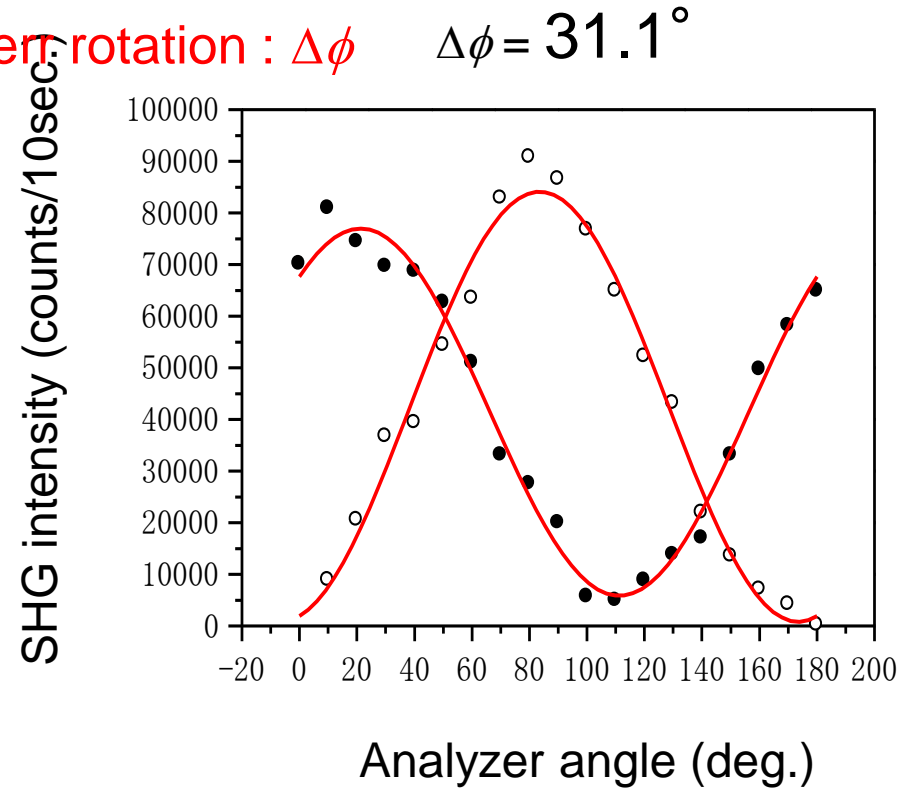
$$\theta_K^{(2)} = 17.2^\circ$$

$$\eta_K^{(2)} = 3^\circ$$

NOMOKE(非線形力一効果)



(a) Fe(1ML)/Au(1ML) Pin

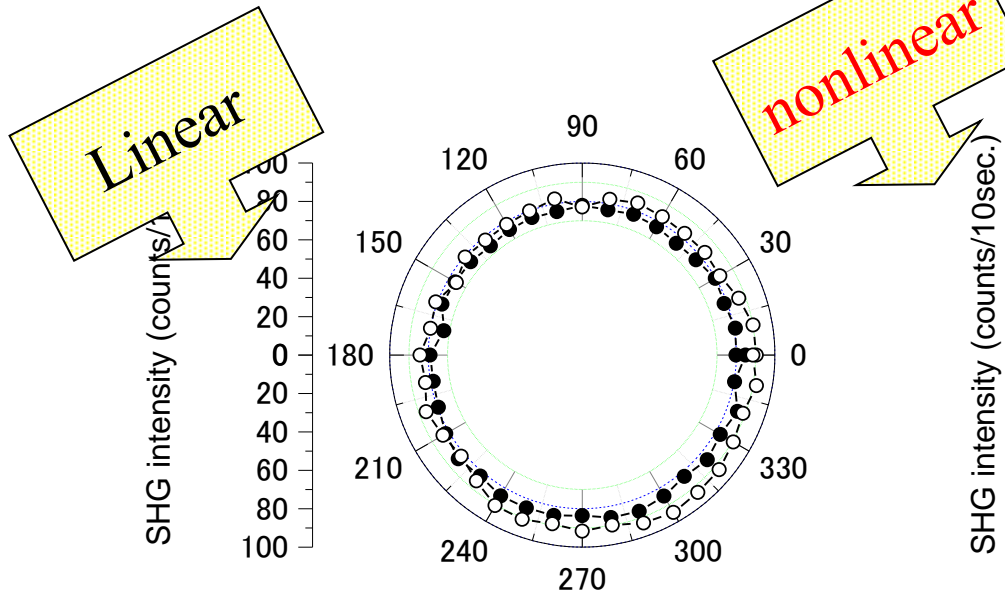
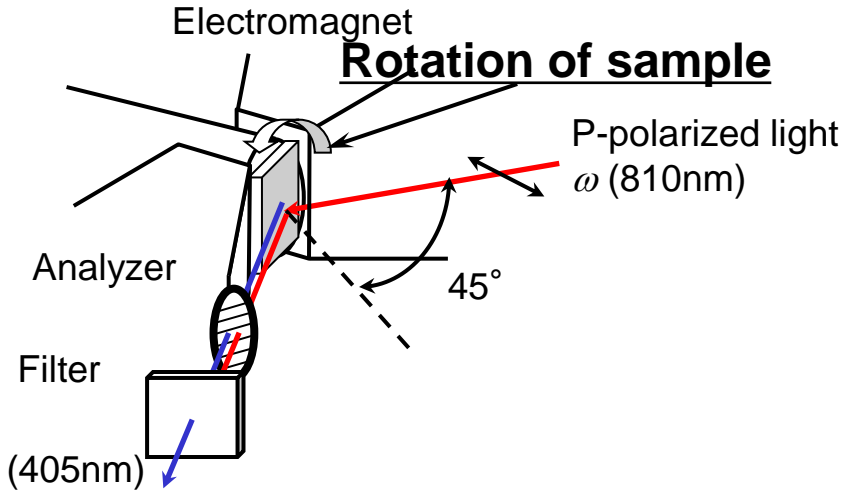


(b) Fe(1.75ML)/Au(1.75ML) Sin

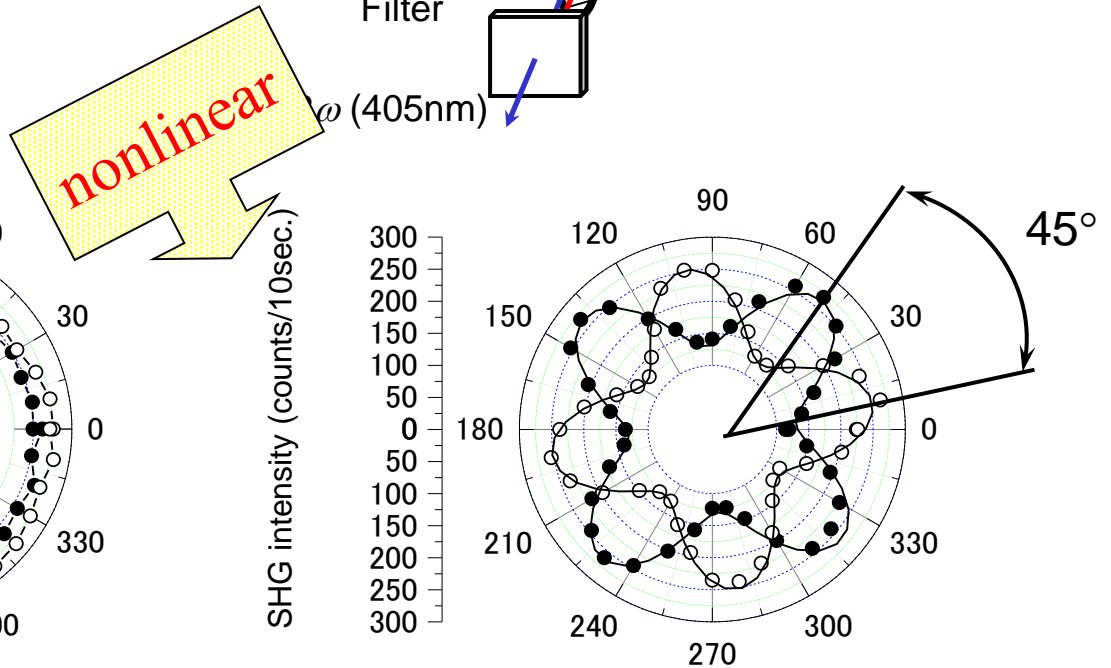
Analyzer angle dependence

MSHGの試料方位依存性

- Linear optical response ($\lambda=810\text{nm}$)
 - The isotropic response for the azimuthal angle
- Nonlinear optical response ($\lambda=405\text{nm}$)
 - The 4-fold symmetry pattern
 - Azimuthal pattern show 45° -rotation by reversing the magnetic field



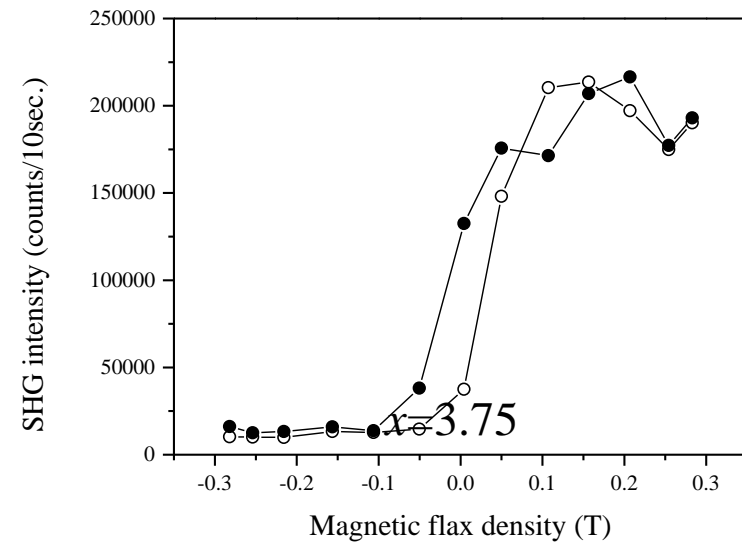
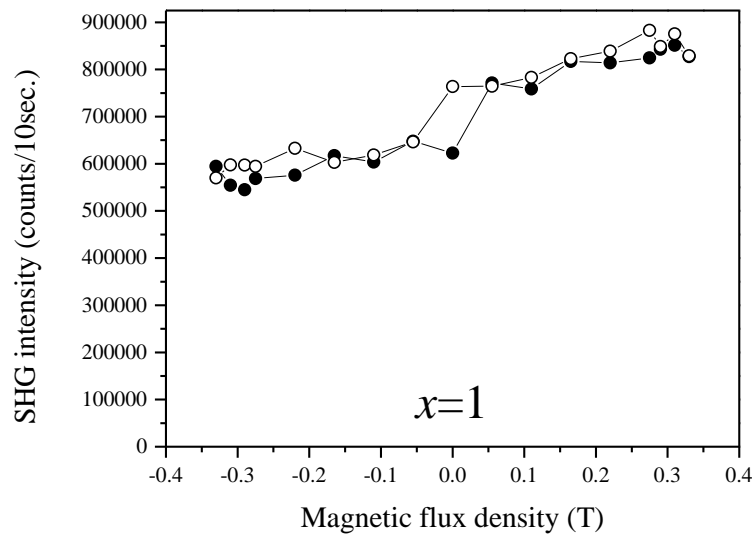
(a) Linear (810nm)



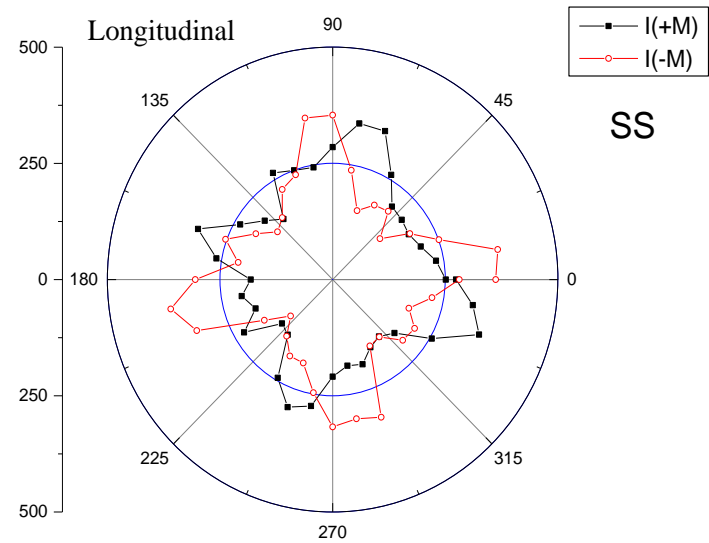
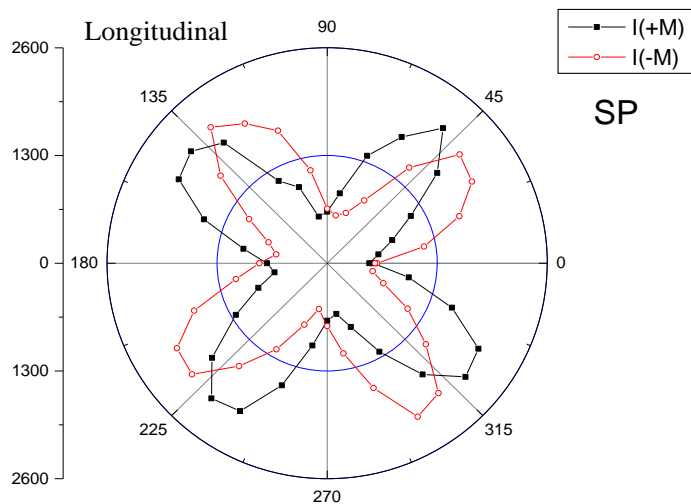
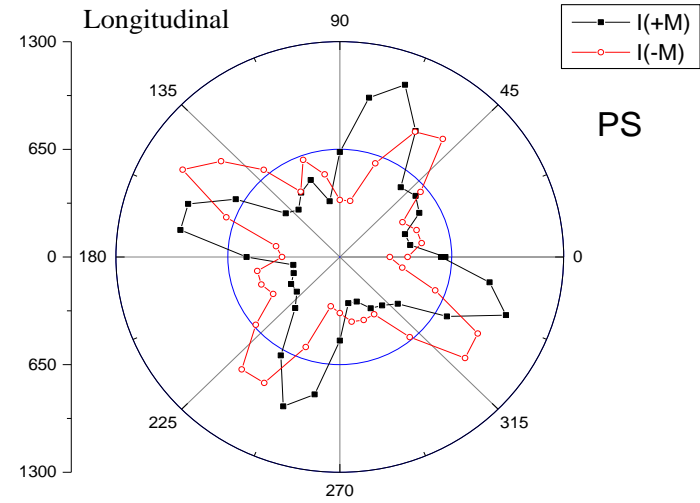
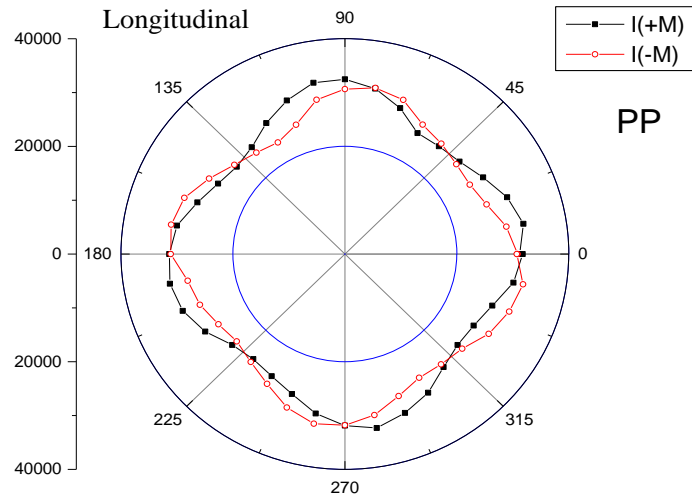
(b) SHG (405nm)

Azimuthal angle-dependence of MSHG intensity for [Fe(3.75ML)/Au(3.75ML)] superlattice.
 ($P_{in} P_{out}$)

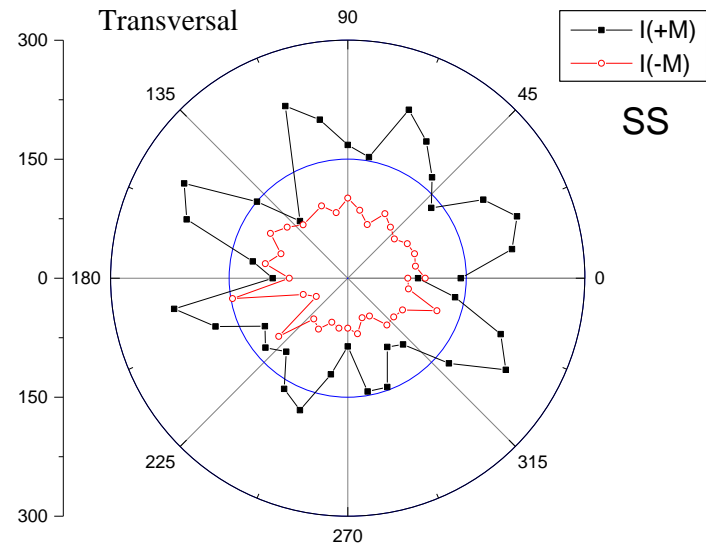
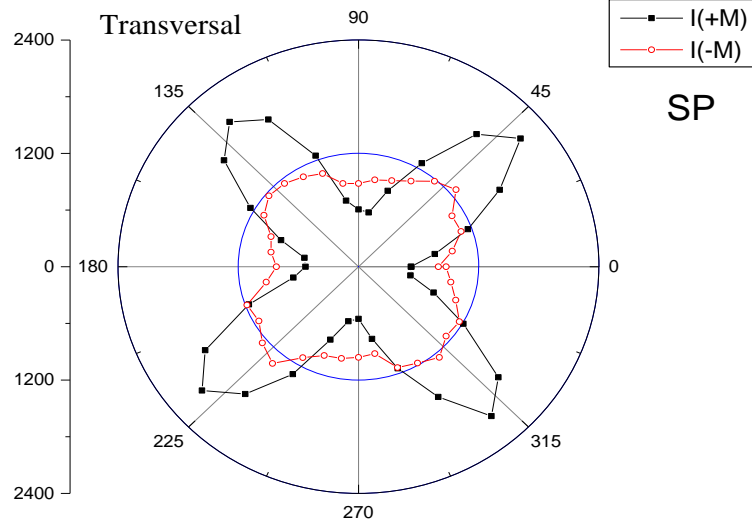
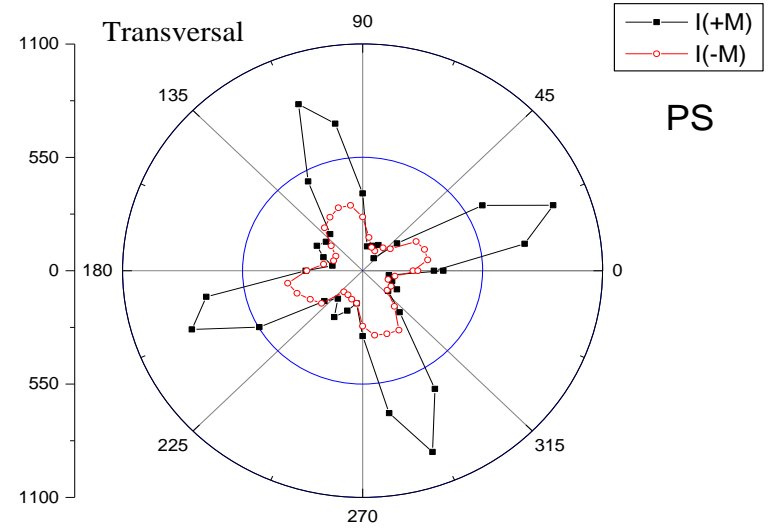
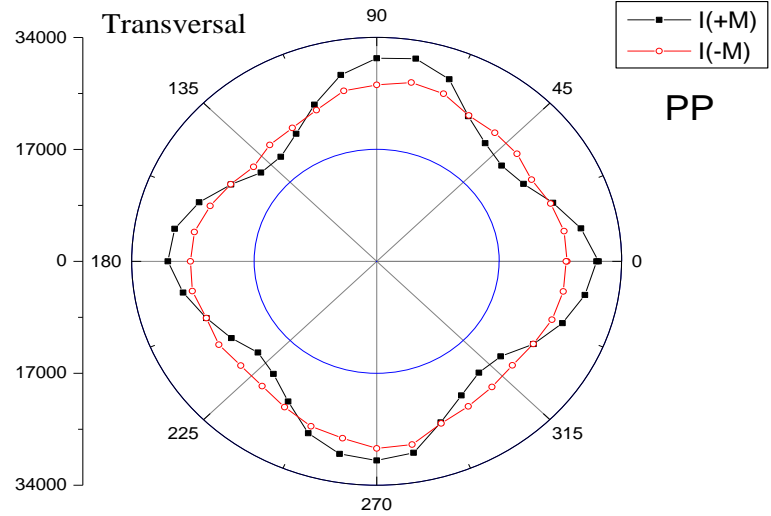
SHGのヒステリシスループ



Fe(15ML)/Au(15ML)人工格子(縦力一配置)

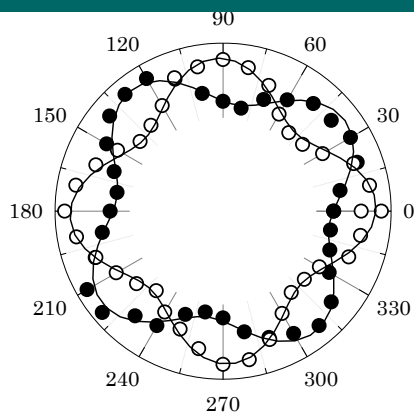


Fe(15ML)/Au(15ML)人工格子(横力一配置)

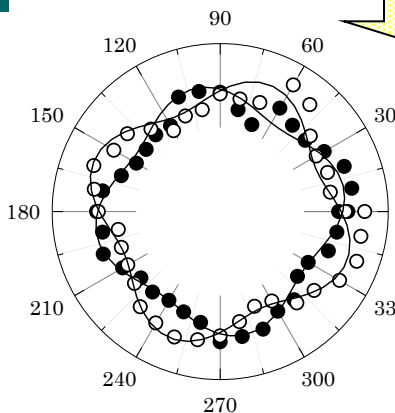


非整数人工格子のMSHG

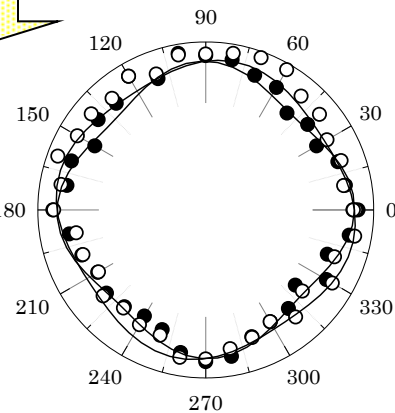
Pin-Pout



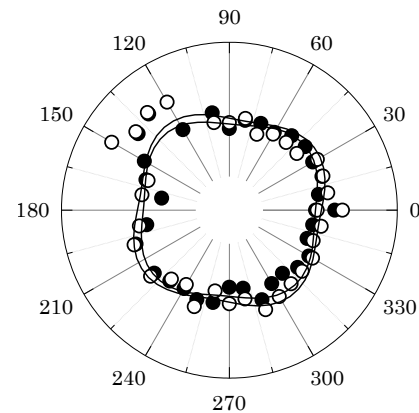
Fe(3.5ML)/Au(3.5ML)



Fe(2.75ML)/Au(2.75ML)

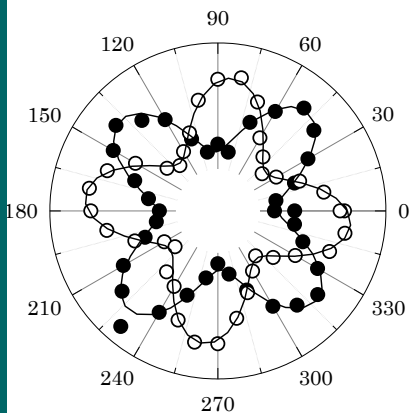


Fe(2.25ML)/Au(2.25ML)

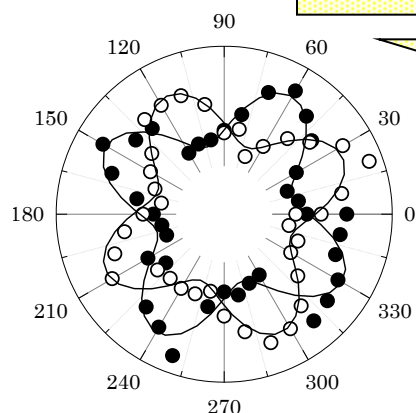


Fe(1.5ML)/Au(1.5ML)

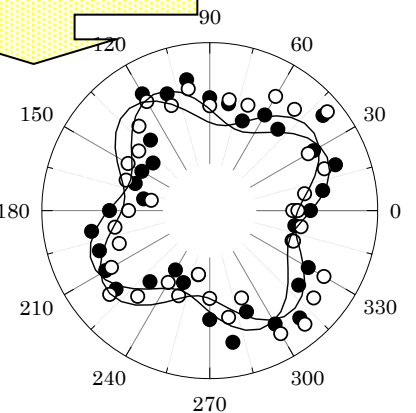
Sin-Sout



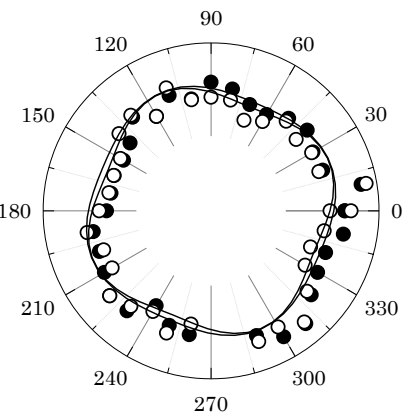
Fe(3.5ML)/Au(3.5ML)



Fe(2.75ML)/Au(2.75ML)



Fe(2.25ML)/Au(2.25ML)



Fe(1.25ML)/Au(1.25ML)

考察

- 観測された4回対称: MgO (100) 基板の対称性を反映→Fe/Au人工格子が完全にエピタキシャルに成長していることを示している。
- 磁界方向の反転によるパターンの45° 回転:
MSHG強度 =
| 表面对称性の項 + 磁化に比例する項 |²
Cross-termから生じる。
- Soutの配置での磁界依存性: 4重極子項を入れないと説明できない。

非線形分極の理論式

$$\begin{aligned}
 P_i^{(2)}(M) &= \chi_{ijk}^{(D)}(M) E_j E_k + \chi_{ijkl}^{(Q)}(M) E_j \nabla_l E_k \\
 &= \chi_{ijk}^{(D)}(0) E_j E_k + X_{ijkL}^{(D)} E_j E_k M_L + \chi_{ijkl}^{(Q)}(M) E_j \nabla_l E_k
 \end{aligned}$$

表面非磁性 表面 磁化誘起 バルク 非磁性

表 2.5 磁化された等方性の表面における電気双極子非線形感受率 $\chi^{(D)}(M)$ のゼロでない要素⁹⁾

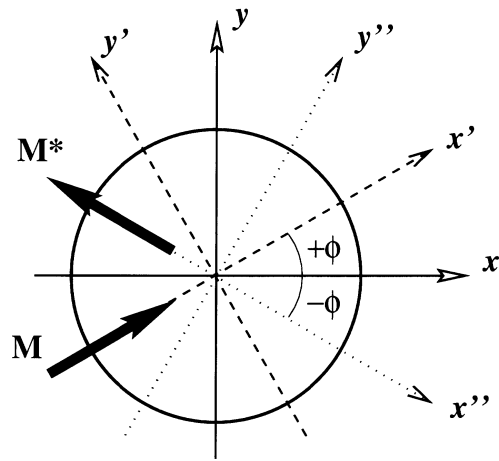
	M について偶	M について奇
縦力一配置 $M \parallel x$	$\chi_{yzy} = \chi_{yyz}, \chi_{xzx} = \chi_{xxz}$ $\chi_{zzz}, \chi_{zyy}, \chi_{zxx}$	$\chi_{xyx} = \chi_{xxy}, \chi_{zyz} = \chi_{zzy}$ $\chi_{yzz}, \chi_{yyy}, \chi_{yxx}$
横力一配置 $M \parallel y$	$\chi_{xxz} = \chi_{xzx}, \chi_{yyz} = \chi_{yzy}$ $\chi_{zxx}, \chi_{zyy}, \chi_{zzz}$	$\chi_{yxy} = \chi_{yyx}, \chi_{zxx} = \chi_{zzx}$ $\chi_{xxx}, \chi_{xyy}, \chi_{xzz}$
極力一配置 $M \parallel z$	$\chi_{xxz} = \chi_{xzx} = \chi_{yyz} = \chi_{yzy}$ $\chi_{zxx} = \chi_{zyy}, \chi_{zzz}$	$\chi_{xyz} = \chi_{xzy} = -\chi_{yxz} = -\chi_{yzx}$ $\chi_{zxy} = \chi_{zyx}$

電気4重極子テンソル要素

表 2.6 磁化された等方性の表面における電気四重極子非線形感受率^(Q)(M)のゼロでない要素 (Wierenga による¹⁰⁾)

	M について偶	M について奇
縦力一配置 $M \parallel x$	$\chi_{yyyy} = \chi_{zzzz}, \chi_{yyxx} = \chi_{zzxx}$ $\chi_{yxyx} = \chi_{zxxx}, \chi_{yyzz} = \chi_{zzyy}$ $\chi_{yzzz} = \chi_{zyyz}, \chi_{yxyx} = \chi_{zxxx}$ $\chi_{yzyz} = \chi_{xxzz}, \chi_{xyxy} = \chi_{xzxx}$ χ_{xxxx}	$\chi_{yyyy} = -\chi_{zzzz}, \chi_{yyzy} = -\chi_{zzzy}$ $\chi_{yzzz} = -\chi_{zyyy}, \chi_{xyzx} = -\chi_{xzyx}$ $\chi_{yxxx} = -\chi_{zxxx}, \chi_{yzxx} = -\chi_{zyxx}$ $\chi_{xyxz} = -\chi_{xxzy}, \chi_{yzyy} = -\chi_{zyzz}$
横力一配置 $M \parallel y$	$\chi_{xxxx} = \chi_{zzzz}, \chi_{xxyy} = \chi_{zzyy}$ $\chi_{xyyx} = \chi_{zyyz}, \chi_{xxzz} = \chi_{zzxx}$ $\chi_{xzzz} = \chi_{zxxz}, \chi_{xyxy} = \chi_{zyzy}$ $\chi_{yyxx} = \chi_{yyzz}, \chi_{yxyx} = \chi_{yzyz}$ χ_{yyyy}	$\chi_{xxxx} = -\chi_{zzzz}, \chi_{xxzx} = -\chi_{zzzx}$ $\chi_{xzzz} = -\chi_{zxxx}, \chi_{yxzy} = -\chi_{yzxy}$ $\chi_{xyyz} = -\chi_{zyyx}, \chi_{xzyy} = -\chi_{zxyy}$ $\chi_{yxyz} = -\chi_{yzyx}, \chi_{xzxx} = -\chi_{zxzz}$
極力一配置 $M \parallel z$	$\chi_{xxxx} = \chi_{yyyy}, \chi_{xxzz} = \chi_{yyzz}$ $\chi_{xzzz} = \chi_{yzzz}, \chi_{xxyy} = \chi_{yyxx}$ $\chi_{xyyx} = \chi_{yxyx}, \chi_{xzzz} = \chi_{yzyz}$ $\chi_{xyxy} = \chi_{zzyy}, \chi_{zxxz} = \chi_{zyzy}$ χ_{zzzz}	$\chi_{xxxx} = -\chi_{yyyy}, \chi_{xxyx} = -\chi_{yyxy}$ $\chi_{xxyy} = -\chi_{yxxx}, \chi_{zxyz} = -\chi_{zyxz}$ $\chi_{xzzz} = -\chi_{yzzz}, \chi_{xzyz} = -\chi_{yxzz}$ $\chi_{zxxz} = -\chi_{zyzx}, \chi_{xyxx} = -\chi_{yxxy}$

結晶座標系と実験室座標系への変換



変換行列 A_{ij} は次式で書ける。

$$A_{ij} = \begin{pmatrix} \cos\phi & \sin\phi & 0 \\ -\sin\phi & \cos\phi & 0 \\ 0 & 0 & 1 \end{pmatrix}$$

実験室系の感受率の表式は

$$\chi_{i'j'k'l'}^Q = \sum_{ijkl} A_{i'i} A_{j'j} A_{k'k} A_{l'l} \chi_{ijkl}^Q$$

理論解析結果のまとめ

方位角依存性

input-output polarization	surface non-magnetic	bulk non-magnetic	surface magnetization-induced	sum
$S_{in}-S_{out}$	0	$ B\sin 4\phi ^2$	$ \pm A_{ss} \pm C\cos 4\phi ^2$	$ \pm A_{ss} + B\sin 4\phi \pm C\sin 4\phi ^2$
$S_{in}-P_{out}$	$ A'_{sp} ^2$	$ A_{sp} - B\cos 4\phi ^2$	$ \pm C\sin 4\phi ^2$	$ A_{sp} - B\cos 4\phi \pm C\sin 4\phi ^2$
$P_{in}-S_{out}$	0	$ -B\sin 4\phi ^2$	$ \pm A_{ps} \mp C\cos 4\phi ^2$	$ \pm A_{ps} - B\sin 4\phi + C\cos 4\phi ^2$
$P_{in}-P_{out}$	$ A'_{pp} ^2$	$ A_{pp} + B\cos 4\phi ^2$	$ \pm C\sin 4\phi ^2$	$ A_{pp} + B\cos 4\phi \mp C\sin 4\phi ^2$

非線形力一回転角

$$\Theta_K^{(2)} = (\psi_+ - \psi_-) / 2$$

S_{in}

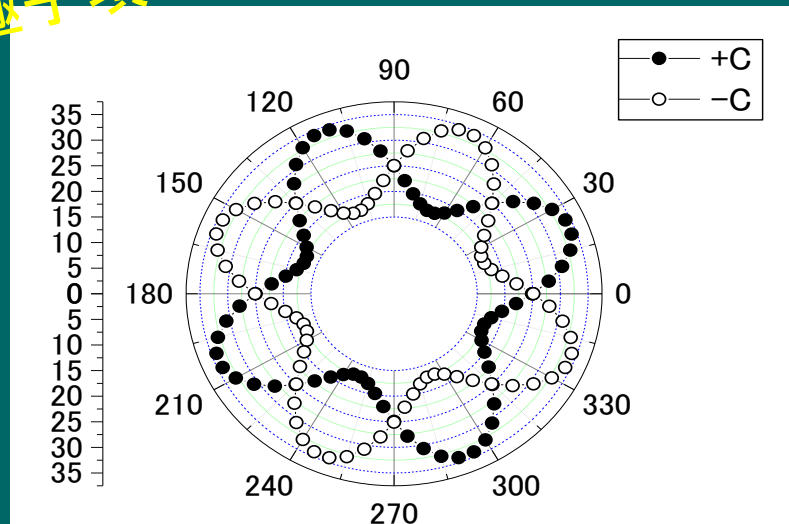
$$\tan 2\psi_{\pm} = \frac{2(A_{SP} - B\cos 4\phi \pm C\sin 4\phi)(\pm A_{SS} + B\sin 4\phi \pm C\cos 4\phi)}{(A_{SP} - B\cos 4\phi \pm C\sin 4\phi)^2 - (\pm A_{SS} + B\sin 4\phi \pm C\cos 4\phi)^2}$$

P_{in}

$$\tan 2\psi_{\pm} = \frac{2(A_{PP} + B\cos 4\phi \mp C\sin 4\phi)(\pm A_{PS} - B\sin 4\phi \pm C\cos 4\phi)}{(A_{PP} + B\cos 4\phi \mp C\sin 4\phi)^2 - (\pm A_{PS} - B\sin 4\phi \pm C\cos 4\phi)^2}$$

4重極子項の効果

双極子項のみ



(a) $A=5$, $B=0$, $C=0.85$

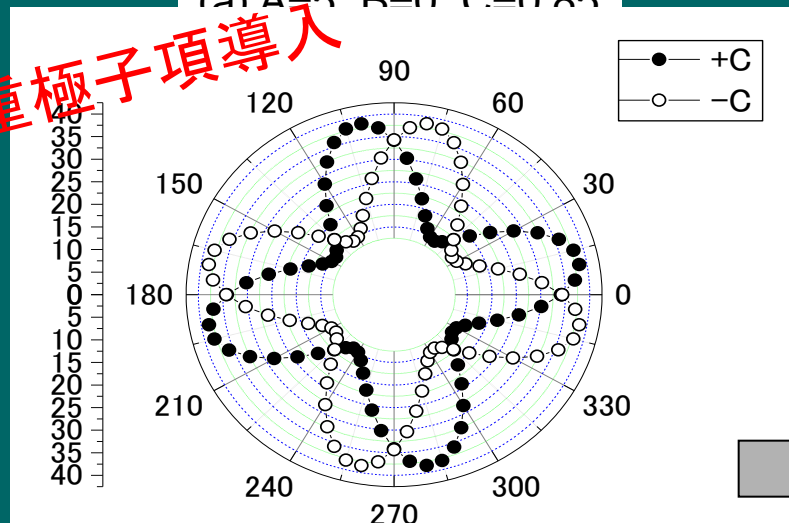
The equation of the azimuthal angle-dependence by theoretical analysis

$$I^{SP} = \left| A^{SP} - B \cos 4\varphi \pm C \sin 4\varphi \right|^2$$

(a) $A=5$, $B=0$, $C=0.85$

- For B much smaller than C , the polar pattern shows 45° rotation for the magnetization reversal.

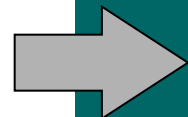
4重極子項導入



(b) $A=5$, $B=0.85$, $C=0.85$

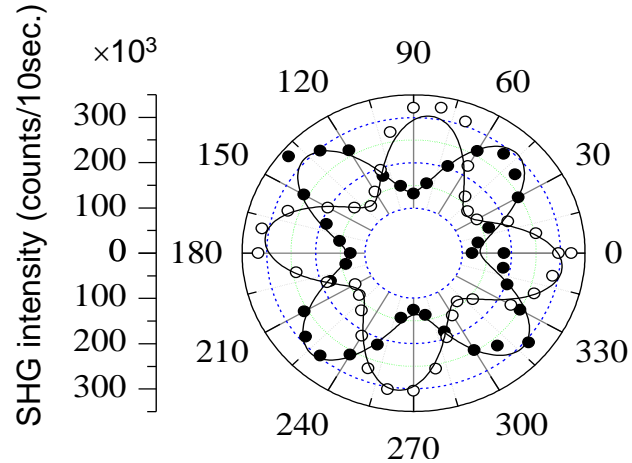
(b) $A=5$, $B=0.85$, $C=0.85$

- For B comparable C , the polar pattern undergo a smaller rotation.

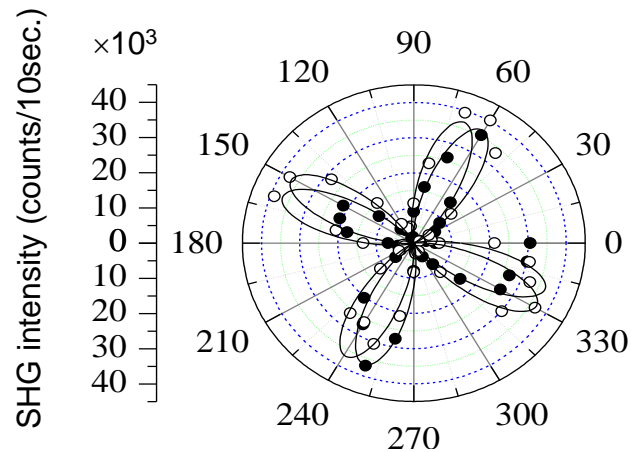


The azimuthal pattern was interpreted in terms of combination of B and C .

フィッティング結果



(a) Sin-Pout



(b) Sin-Sout

The equation of the azimuthal angle-dependence by theoretical analysis

Sin-Pout

$$I^{SP} = \left| A^{SP} - \underline{B} \cos 4\varphi \pm \underline{C} \sin 4\varphi \right|^2$$

Sin-Sout

$$I^{SS} = \left| \pm A^{SS} \pm \underline{C} \cos 4\varphi + \underline{B} \sin 4\varphi \right|^2$$

$$A^{SP}(\text{surface nonmagnetic term}) = 460$$

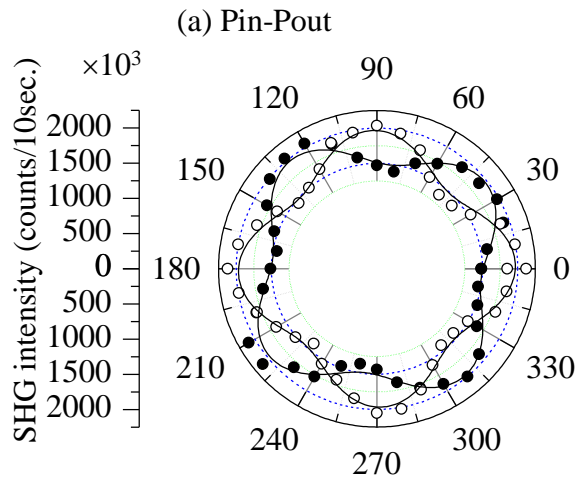
$$A^{SS}(\text{surface nonmagnetic term}) = 100$$

$$B(\text{bulk nonmagnetic term}) = 26$$

$$C(\text{surface magnetic term}) = -88$$

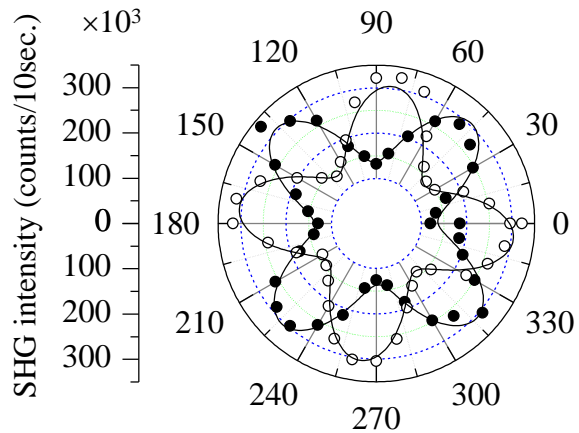
フィッティング結果

Dots : exp.
Solid curve : calc.

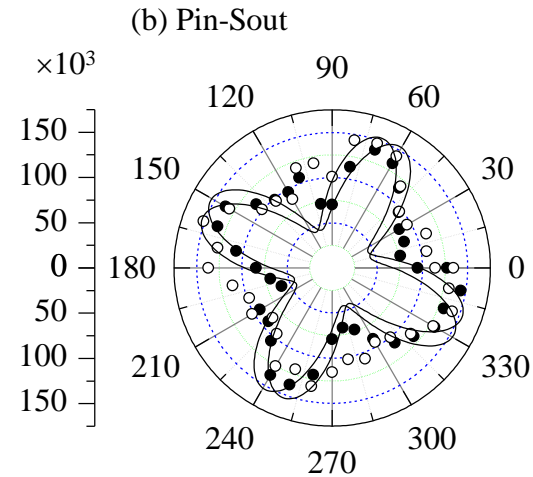


$$A^{PP}=1310, B=26, C=-88$$

(c) Sin-Pout

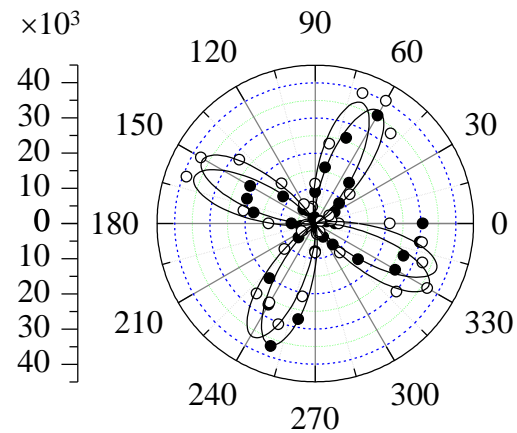


$$A^{SP}=460, B=26, C=-88$$



$$A^{PS}=-300, B=26, C=-88$$

(d) Sin-Sout



$$A^{SS}=100, B=26, C=-88$$

フィッティングパラメータの層厚依存性

$$I^{SP} = \left| A^{SP} - B \cos 4\varphi \pm C \sin 4\varphi \right|^2$$

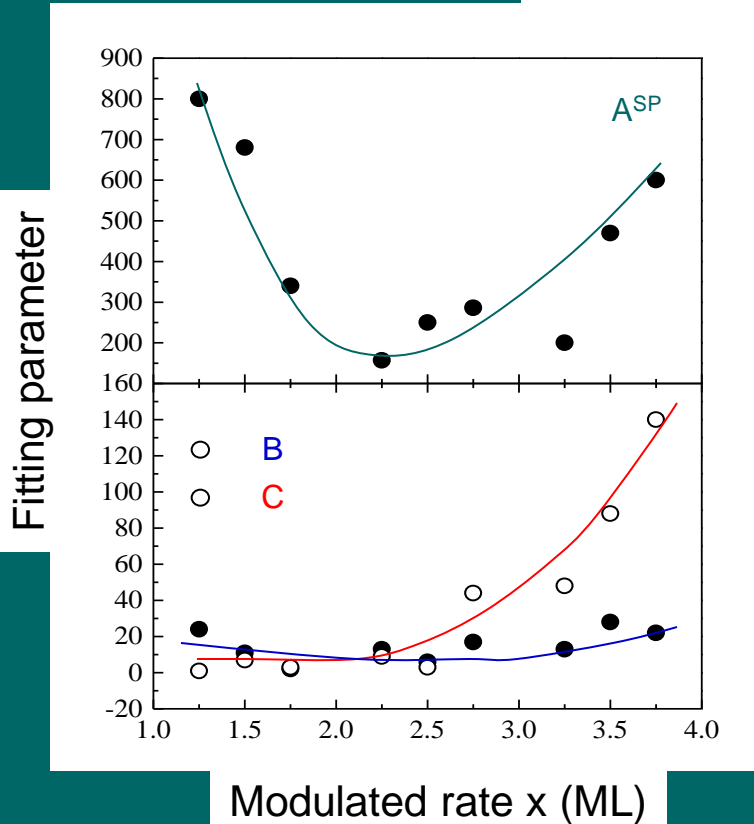


Fig. The fitting parameter of azimuthal angle-dependence for [Fe(xML)/Au(xML)] ($1.25 \leq x \leq 3.75$) superlattices.

Contribution of A^{SP} term

- Surface nonmagnetic term
- Dependence on focused beam power

Contribution of B term

- Bulk nonmagnetic term
- The parameter B is constant for the modulation x.

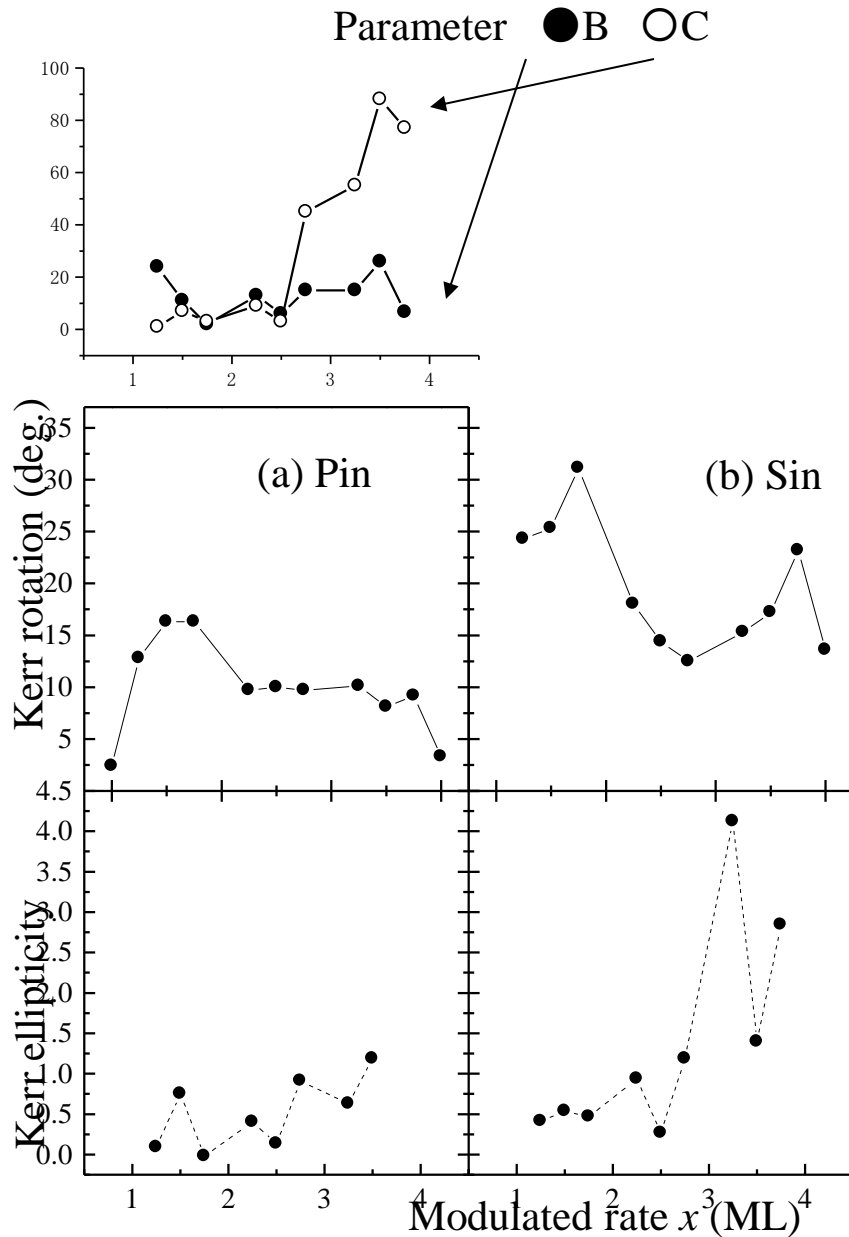
Contribution of C term

- Surface magnetic term
- Decrease of the parameter C for the azimuthal pattern rotation

非線形カー一回転と 非線形カー楕円率

The modulation period-dependence of fitting parameters and nonlinear Kerr rotation angle and ellipticity in [Fe(xML)/Au(xML)] ($1 \leq x \leq 4$) superlattices.

Input polarization is (a)Pin and (b)Sin.

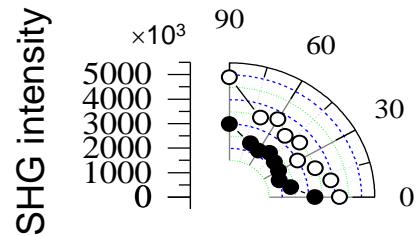


Nonlinear Kerr rotation

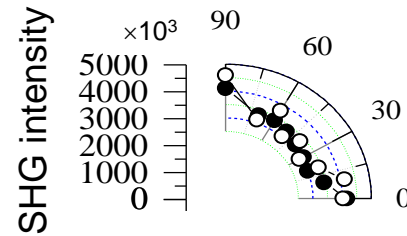
Nonlinear Kerr ellipticity

非線形力一回転角の方位依存性

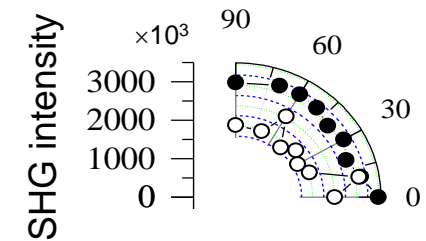
Fe(1.25ML)/Au(1.25ML)



Analyzer angle = 30°

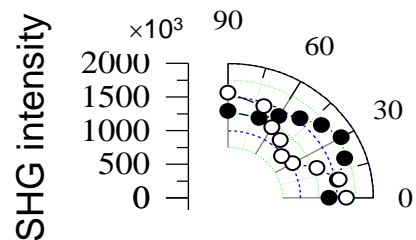


Analyzer angle = 60°
(Pin-Pout)

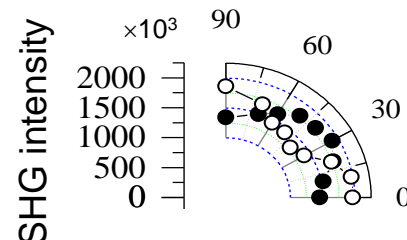


Analyzer angle = 90°

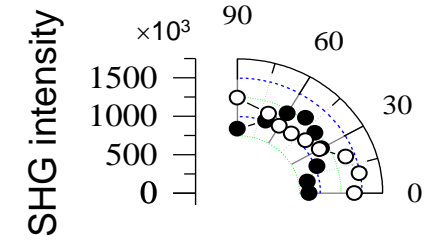
Fe(3.5ML)/Au(3.5ML)



Analyzer angle = 30°



Analyzer angle = 60°
(Pin-Pout)



Analyzer angle = 90°

NOMOKEの方位依存性のシミュレーション

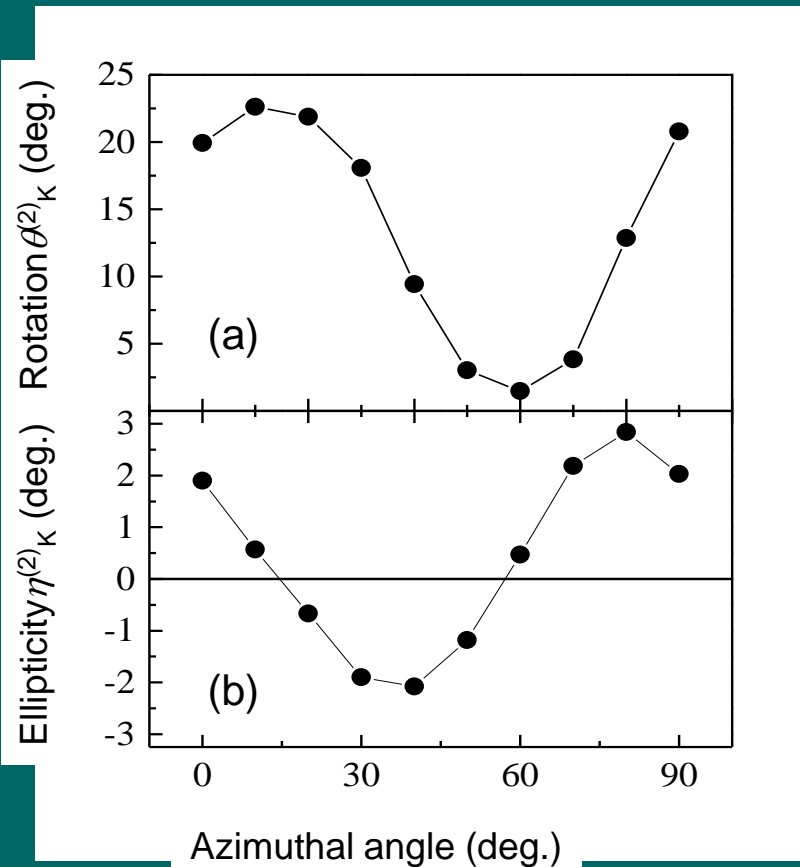


Fig. Calculated azimuthal angle-dependence of nonlinear Kerr rotation $\theta_K^{(2)}$ and ellipticity $\eta_K^{(2)}$ for a Fe(3.75ML)/Au(3.75ML) superlattice.

(a) Nonlinear Kerr rotation

- Azimuthal angle-dependence of nonlinear Kerr ellipticity is found to be sinusoidal.

(b) Nonlinear Kerr ellipticity

$$\eta_K^{(2)} = \frac{1}{2} \left[\tan^{-1} \left(\frac{I_{MAX}(+)}{I_{MIN}(+)} \right) - \tan^{-1} \left(\frac{I_{MAX}(-)}{I_{MIN}(-)} \right) \right]$$

I: Analyzer angle dependence of the MSHG intensity

- Azimuthal angle-dependence of nonlinear Kerr ellipticity showed 45°-shift compared to Kerr rotation.
- Ellipticity $\eta_K^{(2)}$ was about zero for the maximum $\theta_K^{(2)}$ and the minimum $\theta_K^{(2)}$.

NOMOKEの方位依存性の 実験結果

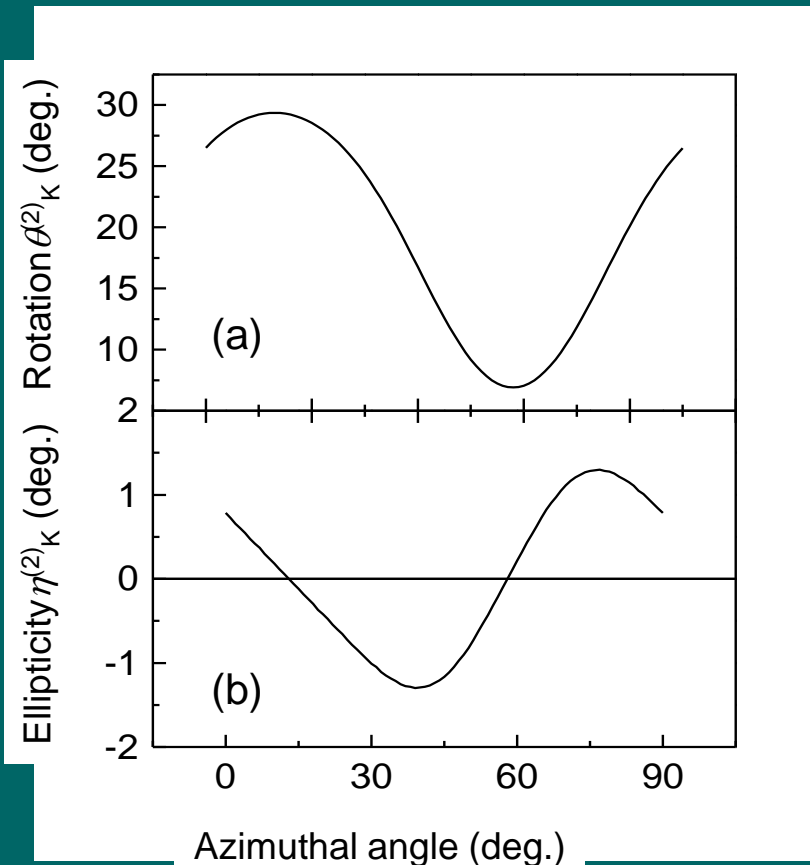


Fig. Experimental azimuthal angle-dependence of nonlinear Kerr rotation $\theta_K^{(2)}$ and ellipticity $\eta_K^{(2)}$ for a Fe(3.75ML)/Au(3.75ML) superlattice.

(a) Nonlinear Kerr rotation $\theta_K^{(2)}$

$$\tan \psi_{\pm} = \frac{2(A^{SP} - B \cos 4\varphi \pm C \sin 4\varphi)(\pm A^{SS} + B \sin 4\varphi \pm C \cos 4\varphi)}{(A^{SP} - B \cos 4\varphi \pm C \sin 4\varphi)^2 - (\pm A^{SS} + B \sin 4\varphi \pm C \cos 4\varphi)^2}$$



$$\theta_K^{(2)} = \frac{\psi_+ - \psi_-}{2}$$

(b) Nonlinear Kerr ellipticity $\eta_K^{(2)}$

$$I^{\text{Sin}}(\theta) = |P^{SP} \cos \theta + P^{SS} \sin \theta|^2$$

I: Analyzer angle-dependence of MSHG intensity for Pin configuration.

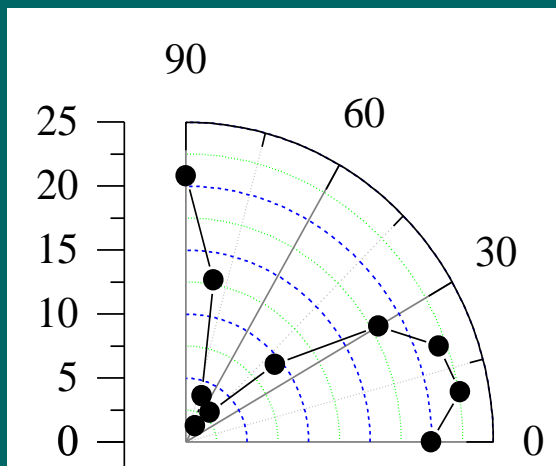


$$\eta_K^{(2)} = \frac{1}{2} \left[\tan^{-1} \left(\frac{I_{MAX}(+)}{I_{MIN}(+)} \right) - \tan^{-1} \left(\frac{I_{MAX}(-)}{I_{MIN}(-)} \right) \right]$$

計算結果と実験の比較

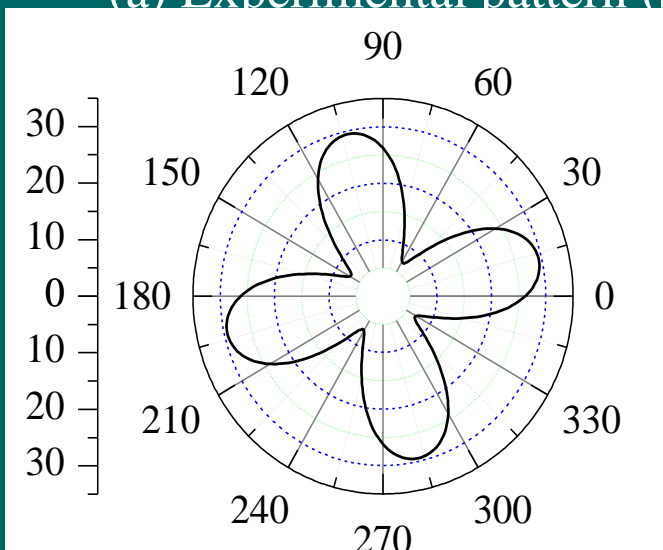
1

Nonlinear Kerr rotation (deg.)



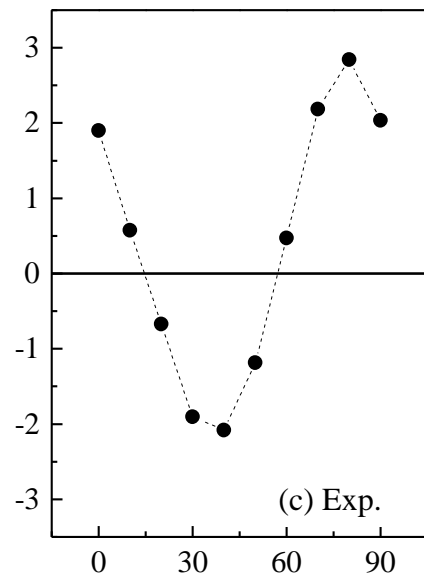
(a) Experimental pattern (Sin)

Nonlinear Kerr rotation (deg.)



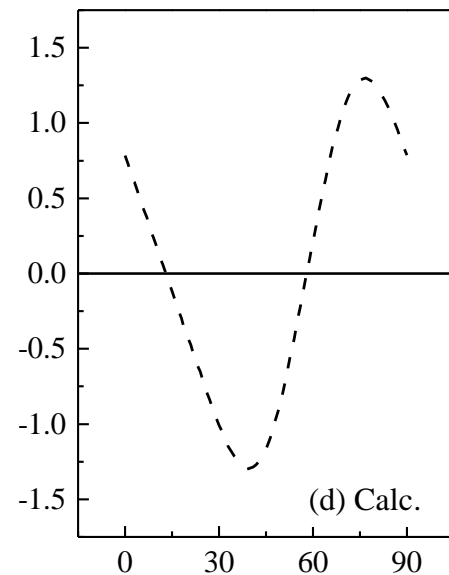
(b) Calculated pattern (Sin)

Nonlinear Kerr ellipticity



Azimuthal angle (deg.)

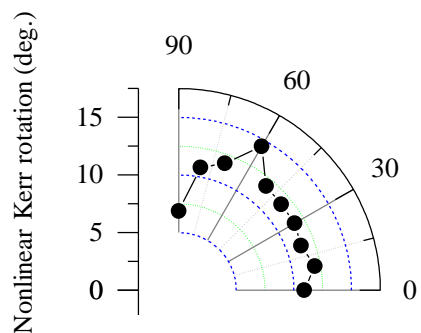
(c) Exp.



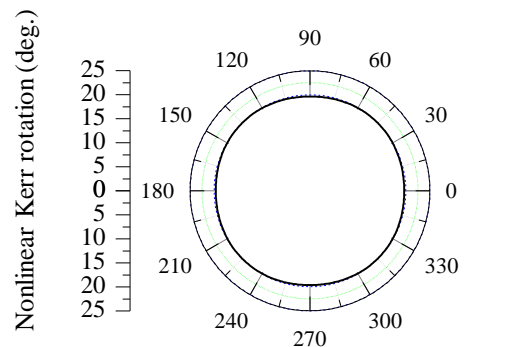
(d) Calc.

The azimuthal angle-dependences of nonlinear Kerr rotation angle and ellipticity in [Fe(3.75ML)Au(3.75ML)]

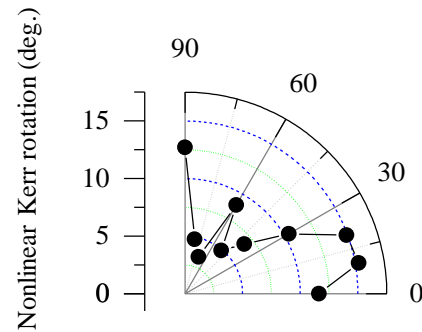
計算結果と実験の比較2



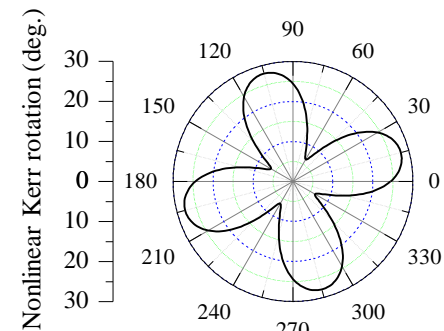
Fe(2.5ML)/Au(2.5ML)



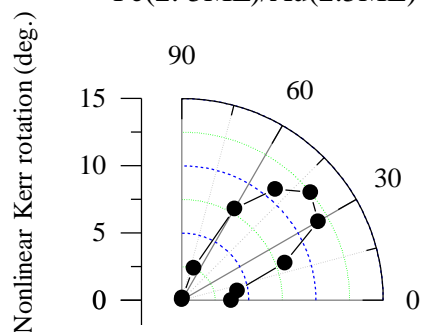
Fe(2.5ML)/Au(2.5ML)



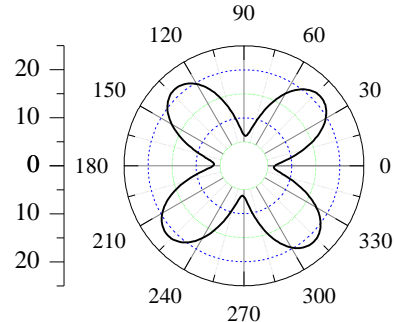
Fe(3.25ML)/Au(3.25ML)



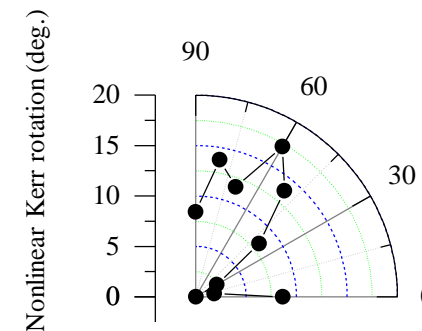
Fe(3.25ML)/Au(3.25ML)



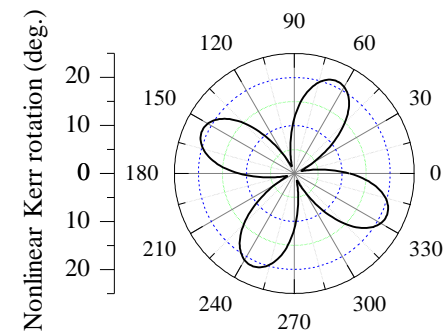
Fe(2.75ML)/Au(2.75ML)



Fe(2.75ML)/Au(2.75ML)



Fe(3.5ML)/Au(3.5ML)



Fe(3.5ML)/Au(3.5ML)

Sin configuration: (a) Experimental data,
(b) Calculated using *parameters determined
by fitting to the azimuth patterns*

NOMOKEの最大値の層厚依存性

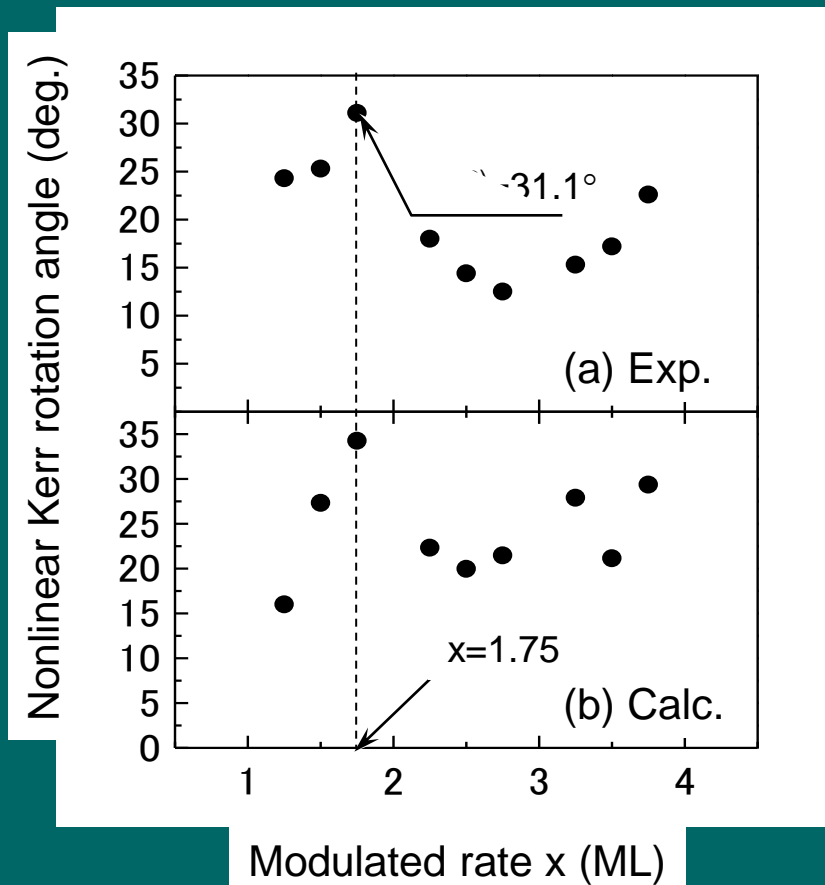


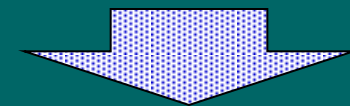
Fig. Nonlinear Kerr rotation angle of [Fe(xML)/Au(xML)] ($1.25 \leq x \leq 3.75$) superlattices [(a)Calculation, (b)Experiment]

Calculation and experimental result

Calculated nonlinear Kerr rotation angle $\theta_K^{(2)}$ using the fitting parameter A^{SP} , A^{SS} , B, C of the azimuthal pattern

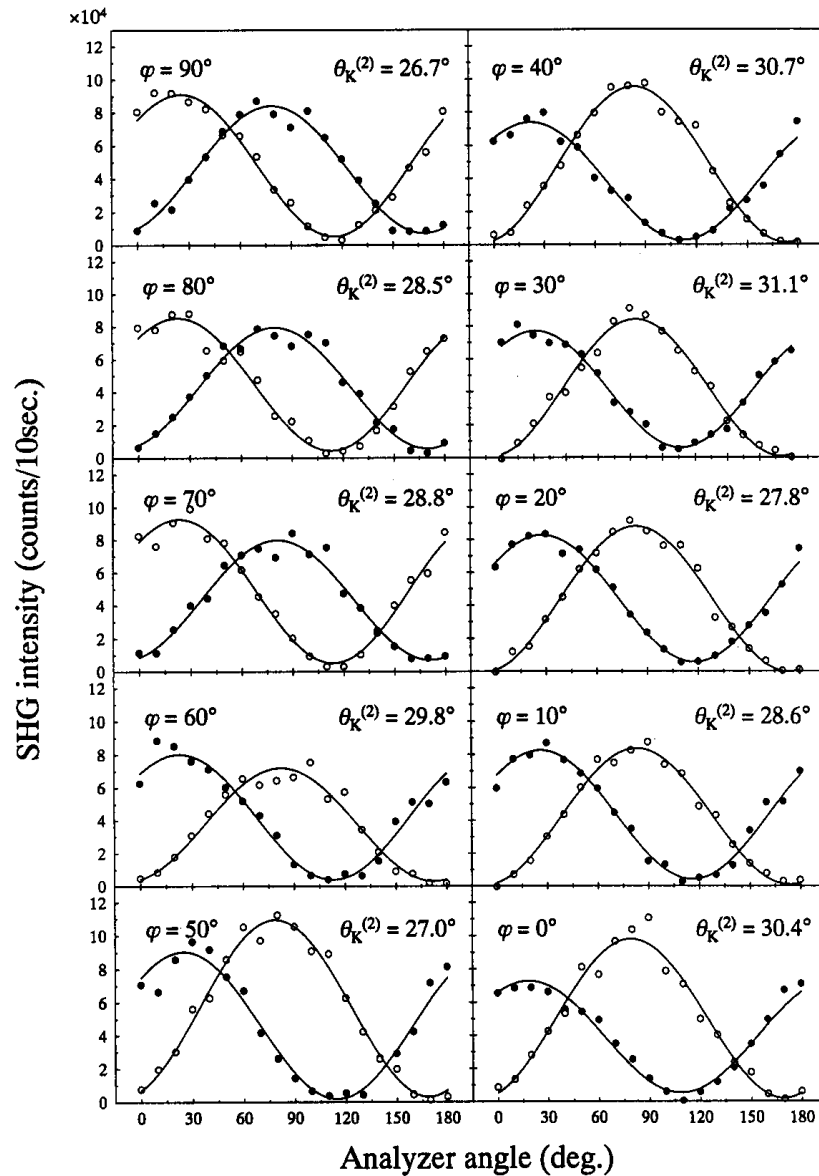
(The maximum $\theta_K^{(2)}$ was selected for azimuth angle)

- The experimental maximum $\theta_K^{(2)}$ for $x=1.75$ superlattice was 31.1° .
- The calculated $\theta_K^{(2)}$ reproduced the maximum $\theta_K^{(2)}$ for $x=1.75$ superlattice.



The nonlinear Kerr rotation was explained by theoretical analysis.

検光子方位をパラ メータとしたMSHG の方位依存性



Sin
NOMOKE
Fe(*xML*)/Au(*xML*)
x=1.75

結論

The four-fold pattern clearly reflects the symmetry of the MgO(100) substrate. This suggests that the Fe/Au superlattice is perfectly epitactic to the substrate.

- The azimuthal angle dependence was analyzed in terms of nonlinear electrical susceptibility tensor taking into account the magnetic symmetry of the superlattice.



- The azimuthal pattern was explained by symmetry analysis, taking into account the surface non-magnetic **A**, bulk non-magnetic **B** and surface magnetic **C** contributions.

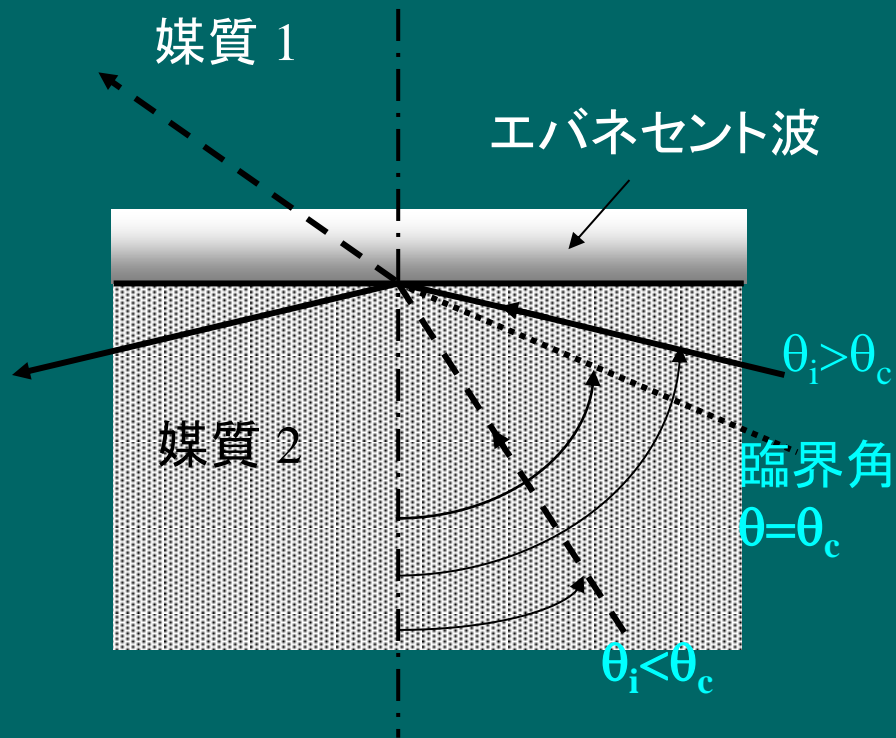
- MSHG was shown to lead to a nonlinear Kerr rotation $\theta^{(2)}_K$ that can be orders of magnitude larger than its linear equivalent (0.2°), e.g., $\theta^{(2)}_K$ for $x=1.75$ was 31.1°

- We observed azimuthal angle-dependence of the **nonlinear Kerr rotation** for the first time.

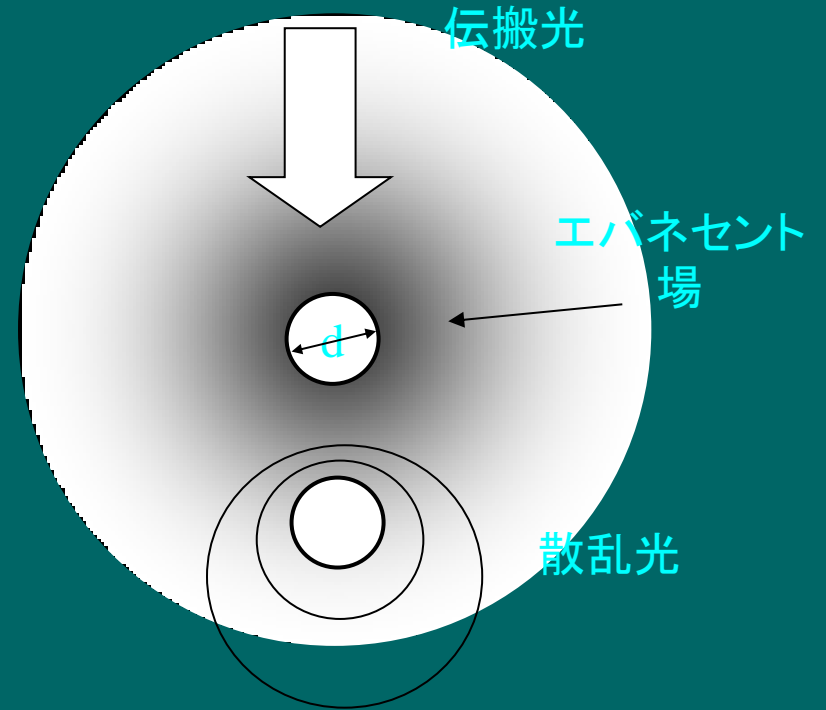
- The azimuthal angle-dependence of the nonlinear Kerr rotation were explained using parameters determined from azimuthal patterns of MSHG response

- Modulation period dependence of parameters:
 - A (Surface nonmagnetic) is large for short period
 - B (Bulk nonmagnetic) is nearly constant
 - C (Surface magnetic) becomes larger with modulation Period.

近接場とは



全反射とエバネセント波



微小物体の周りのエバネセント場に置かれたもう1つの微小物体による散乱光

光ファイバプローブを用いたSNOM

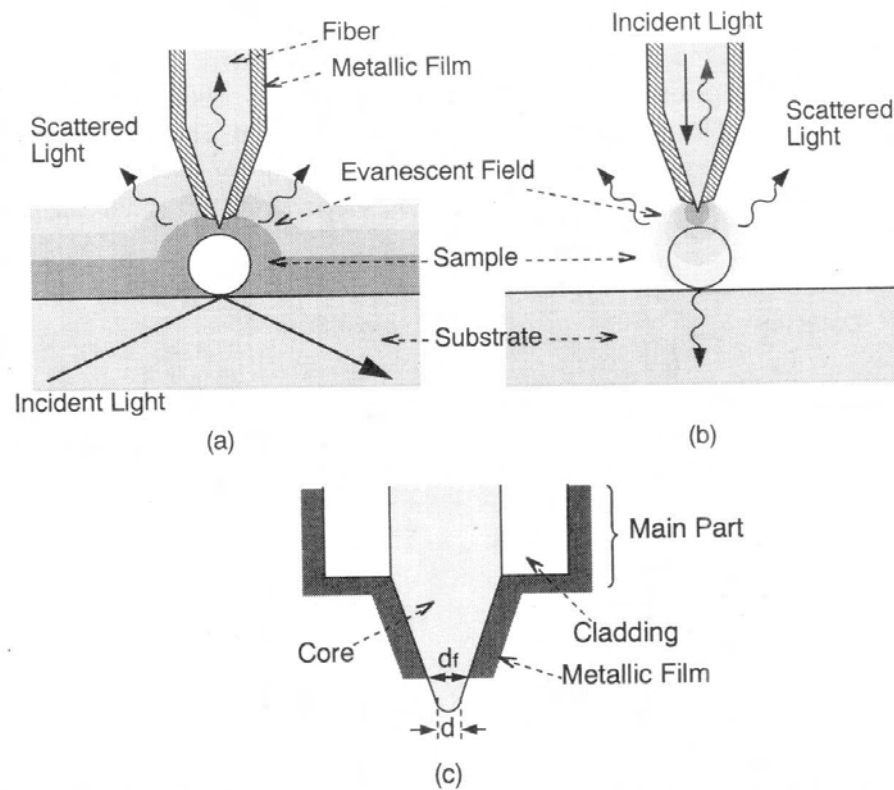
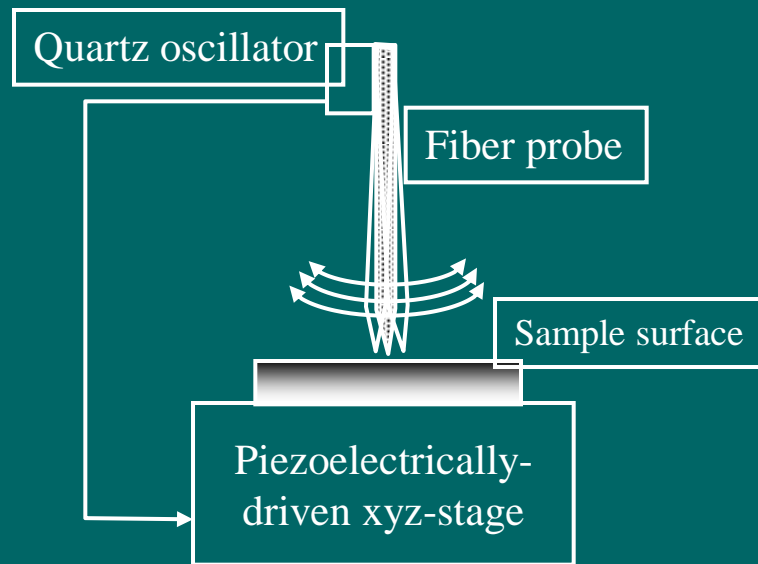
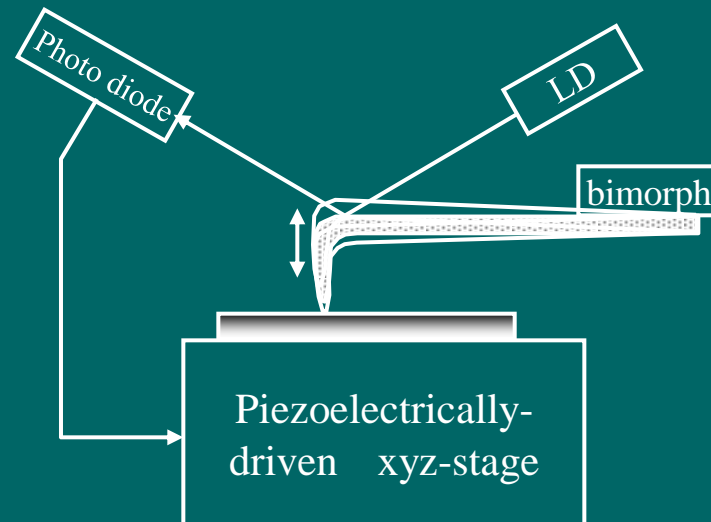


Figure 3.2. Practical basic structure of the NOM using an inverted conical probe, which is a sharpened fiber core protruding from the metal film. (a) Collection mode (C-mode). (b) Illumination mode (I-mode). (c) Definition of the foot diameter d_f and apex diameter d .

プローブの高さ制御

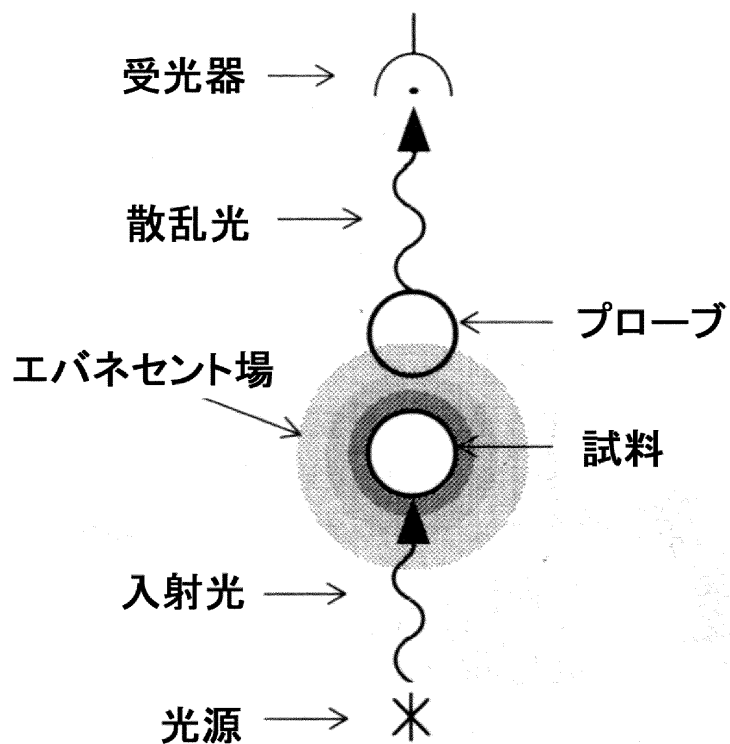


Shear force(剪断力)方式

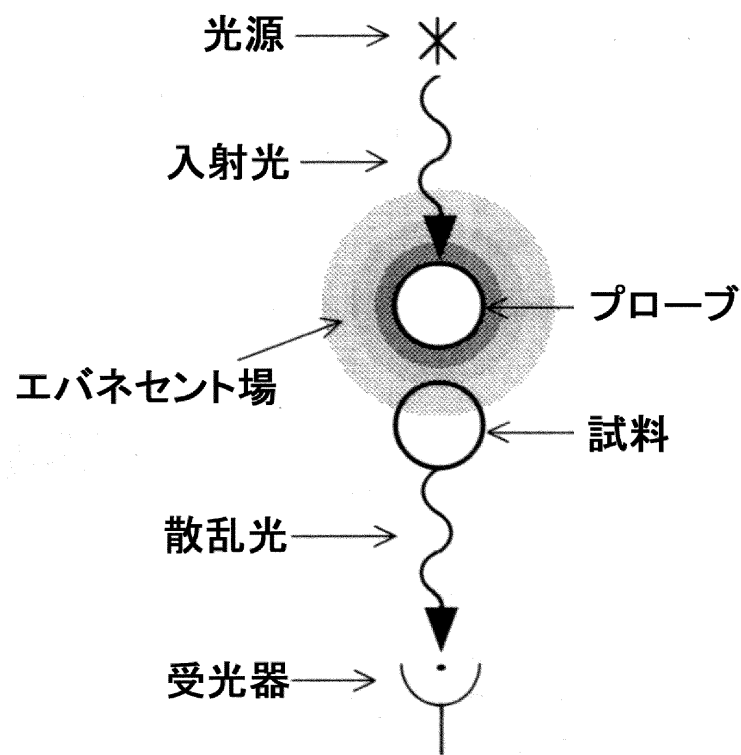


カンチレバー方式

集光モード(a)と照射モード(b)

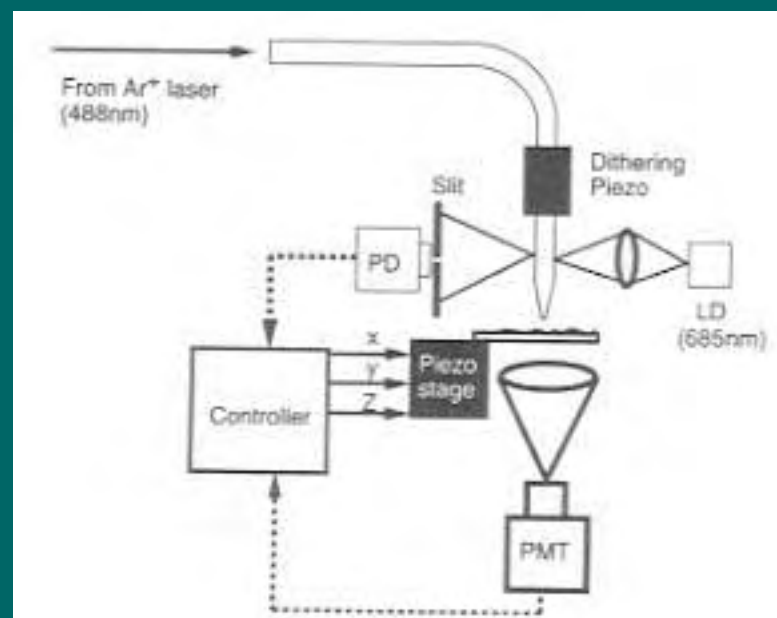
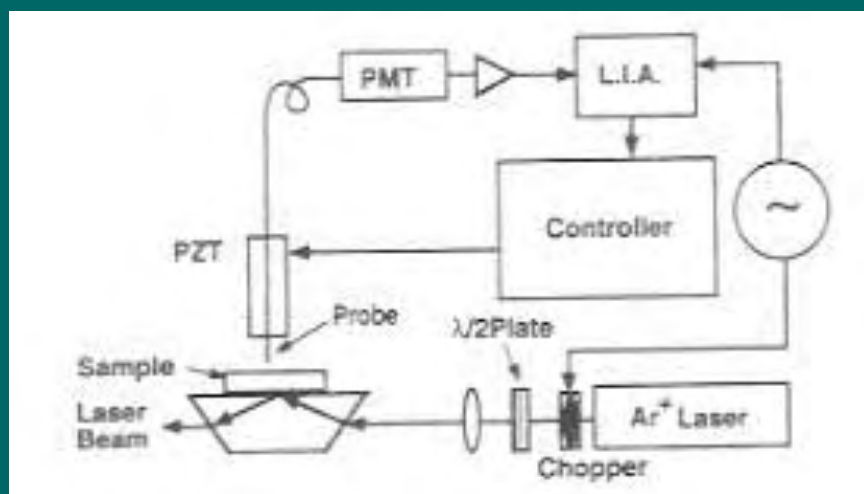


(a)



(b)

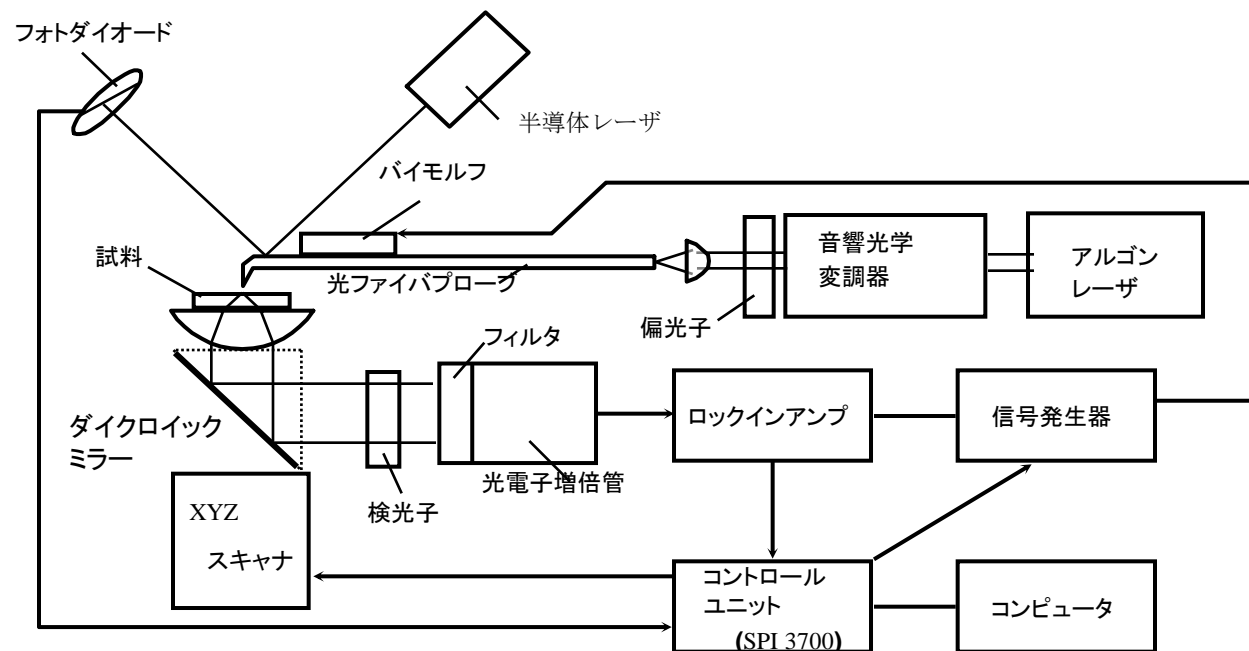
集光モード、照射モードのSNOM



SNOMによる磁気光学測定

- ・ 1991 Betzig : 光ファイバーをテーパー状に細めたプローブ で光磁気記録・再生に成功
- ・ 1992 Betzig: 超微細加工した金属細線リングの偏光像
- ・ 多くの研究あるが、高解像度のMO-SNOM像は得られていない
- ・ 偏光をファイバを通して伝えるのが困難

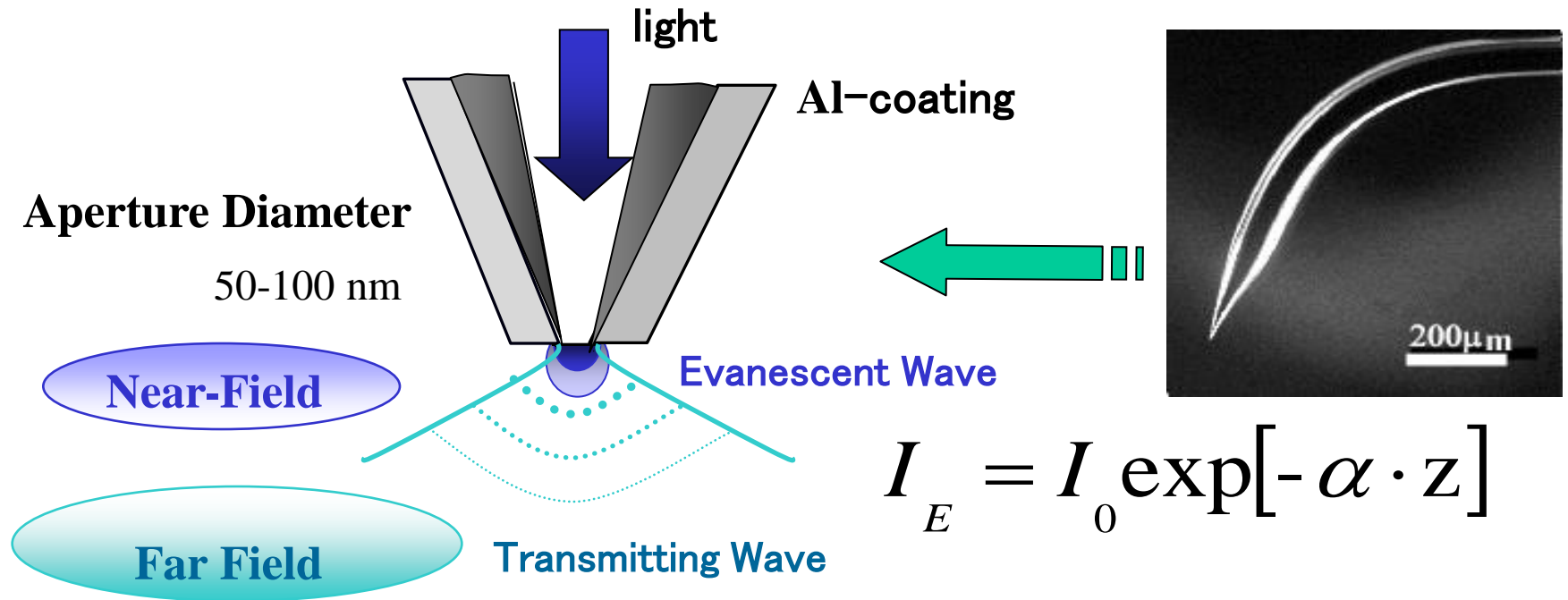
SNOMのブロック図



ベントファイバプローブ



Optical Fiber Probe and Near-Field Optics



Application to MO-SNOM \rightleftharpoons Transmission Prop.

ファイバホルダー

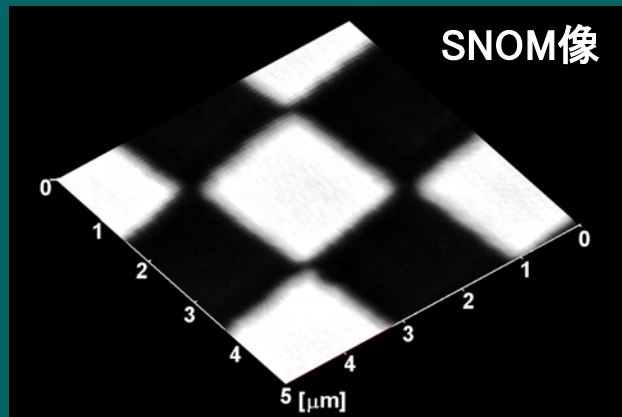
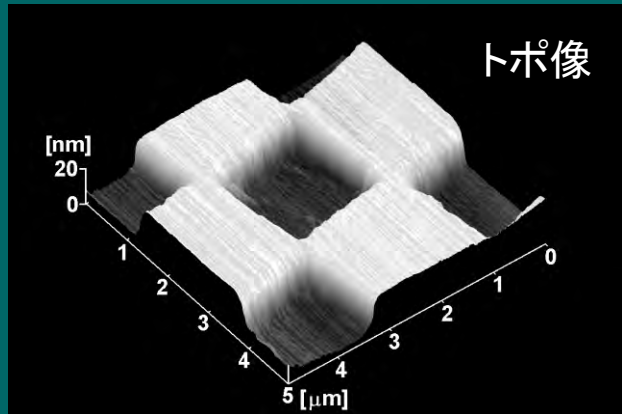


図3

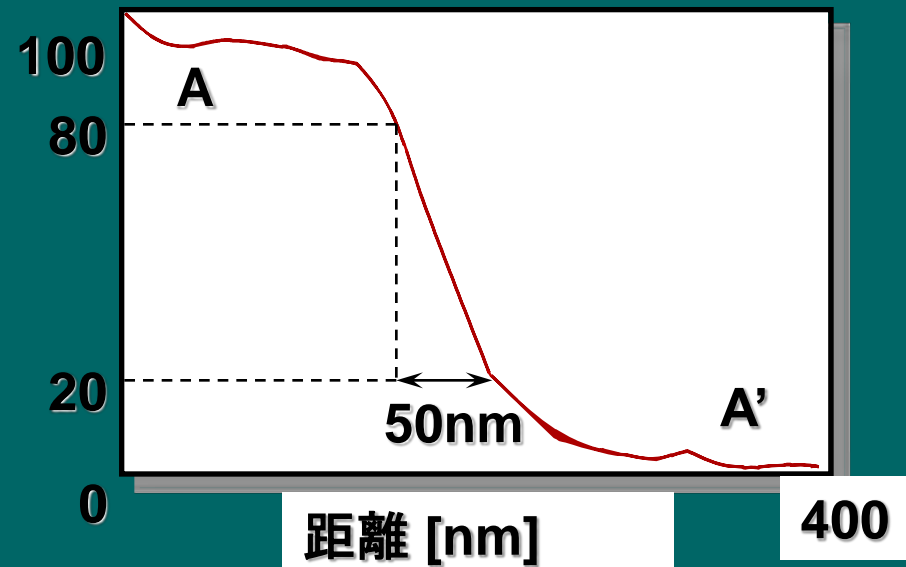
SNOMアセンブリー



Cr市松模様の特写像とSNOM像

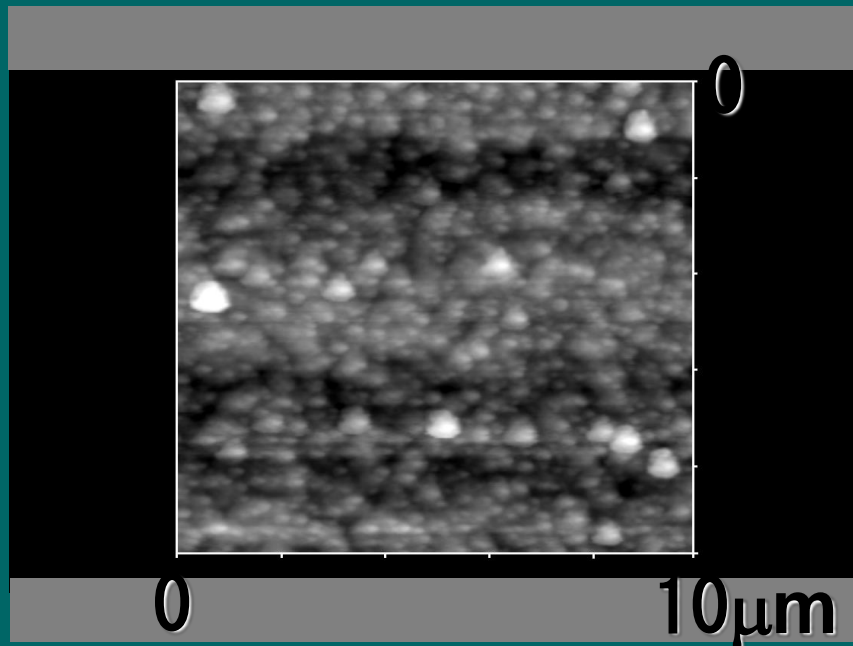


規格化光強度 [%]

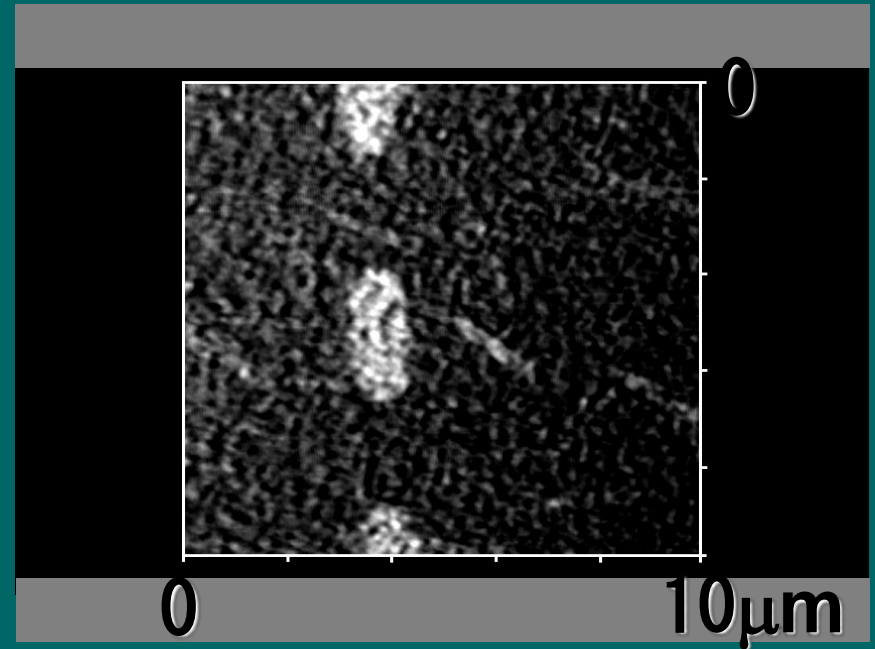


Near-field magneto-optic images of conventionally written domains in garnet film

Bismuth-substituted
dysprosium-iron-garnet film
(Thickness : 100nm)

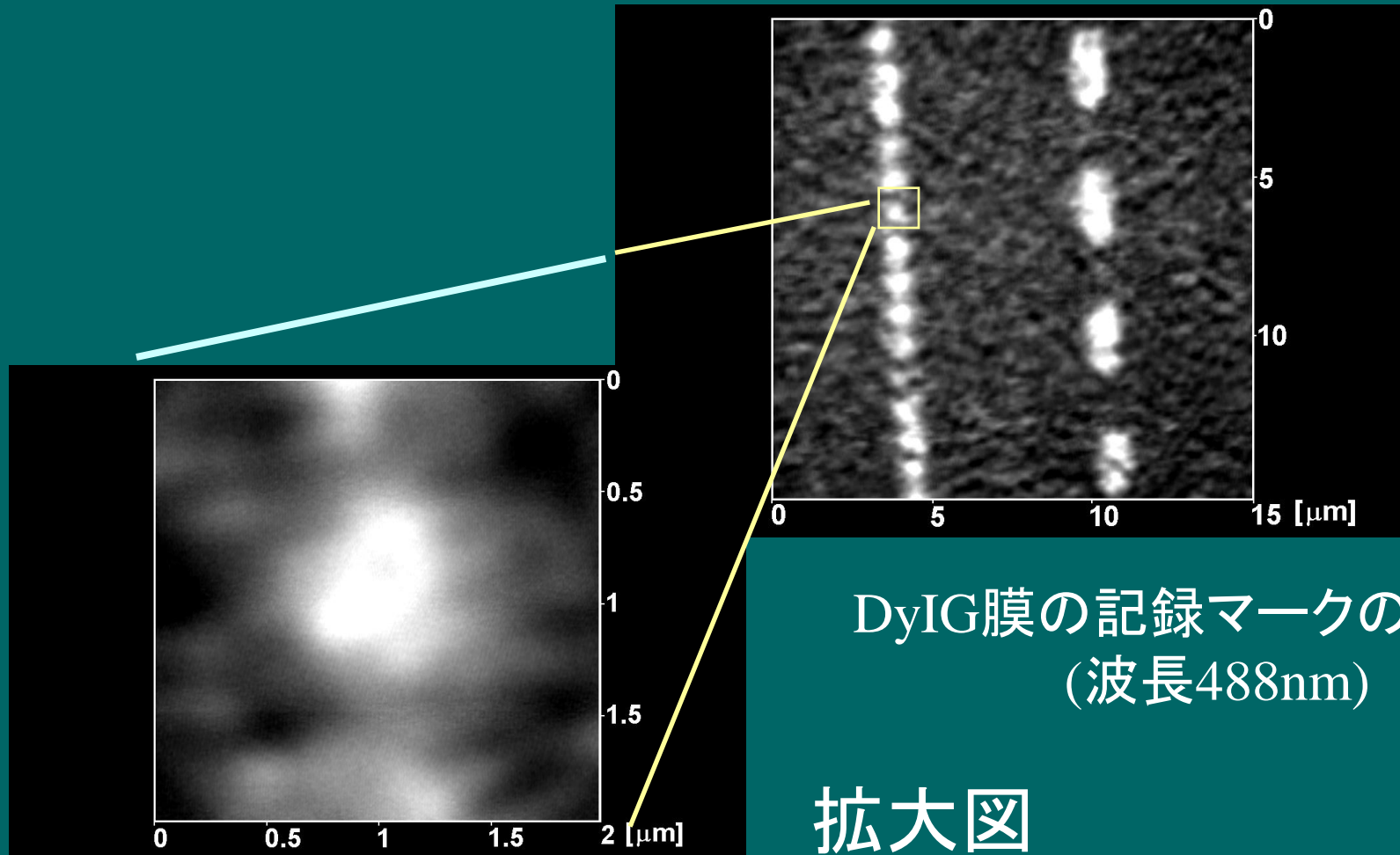


Topographic image



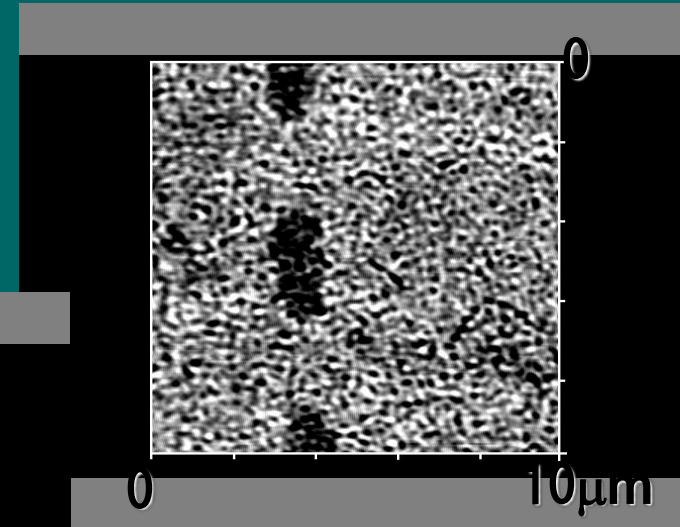
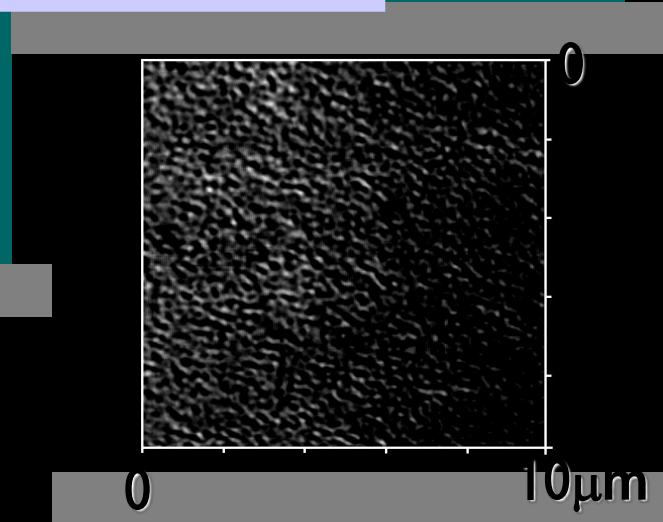
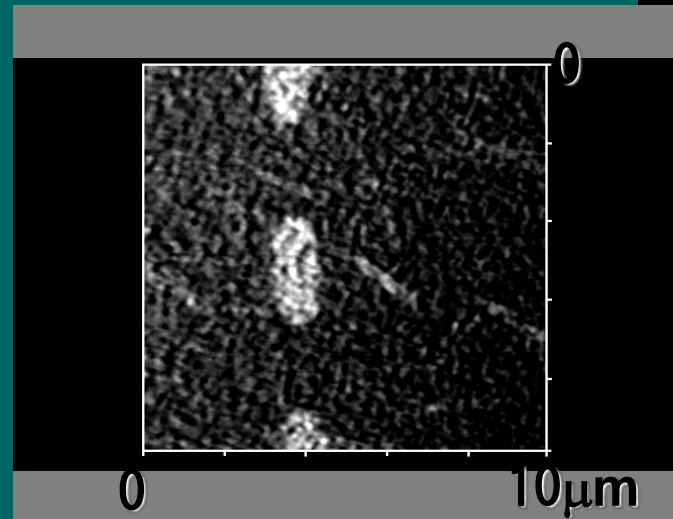
Magneto-optical image
(Wavelength : 488 nm)

DyIGに記録されたマークの像



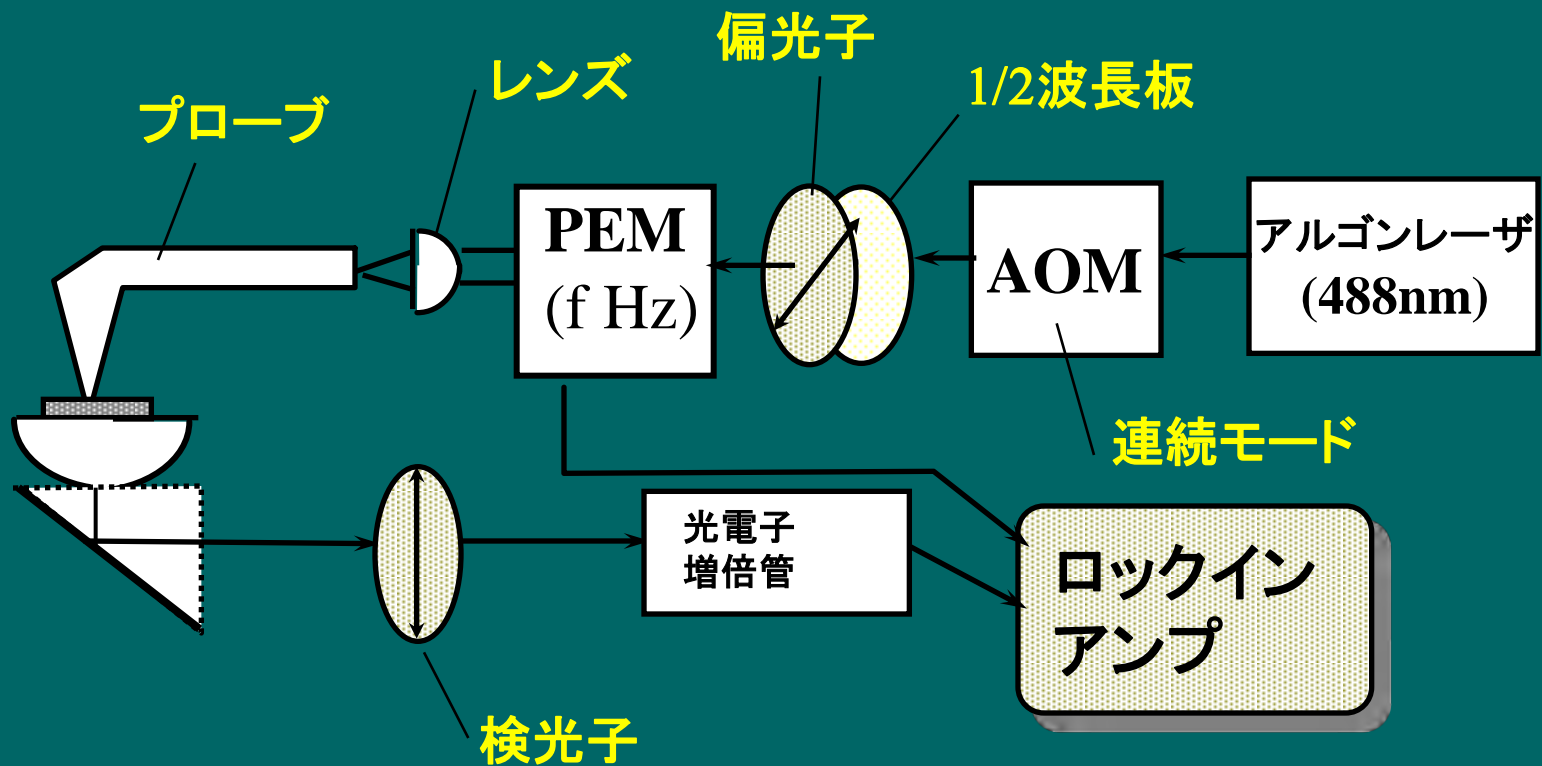
Near-field magneto-optic images of conventionally written domains in garnet film

Polarization contrast for different analyzer angles
Wavelength : 488 nm

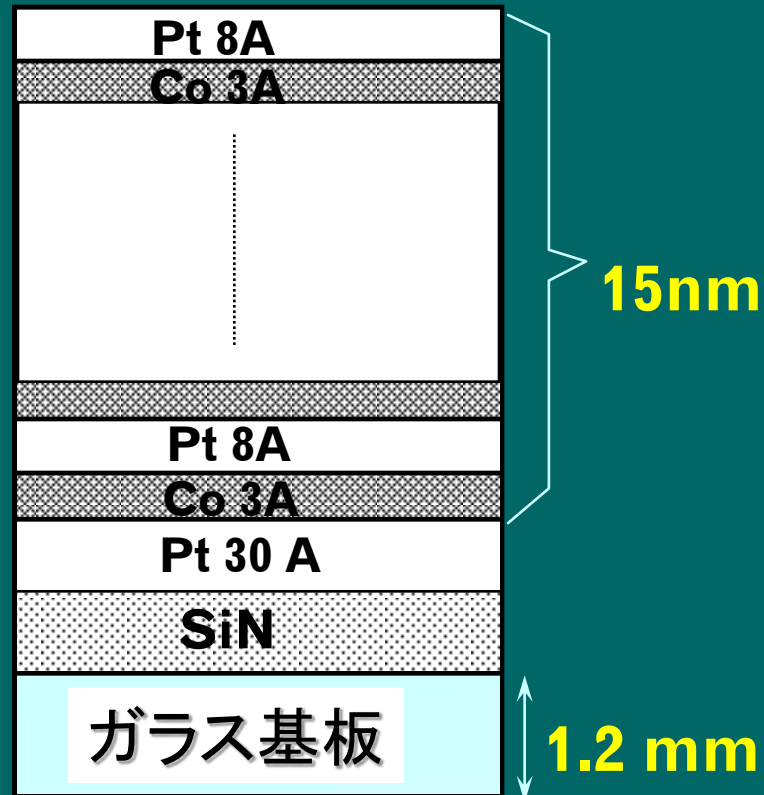


**Bismuth-substituted
dysprosium-iron-garnet film
(Thickness : 100nm)**

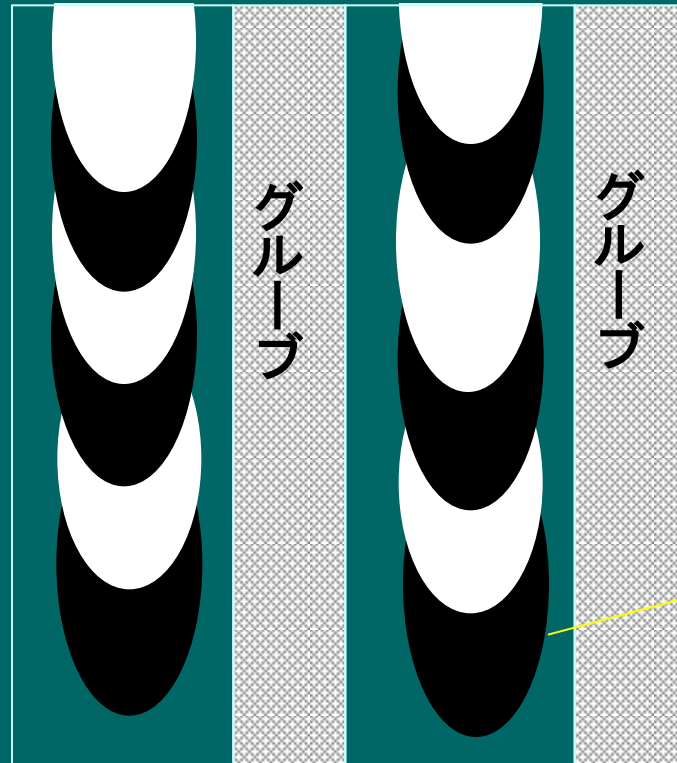
PEMを使ったSNOMシステム



測定したPt/Co MOディスクの構造

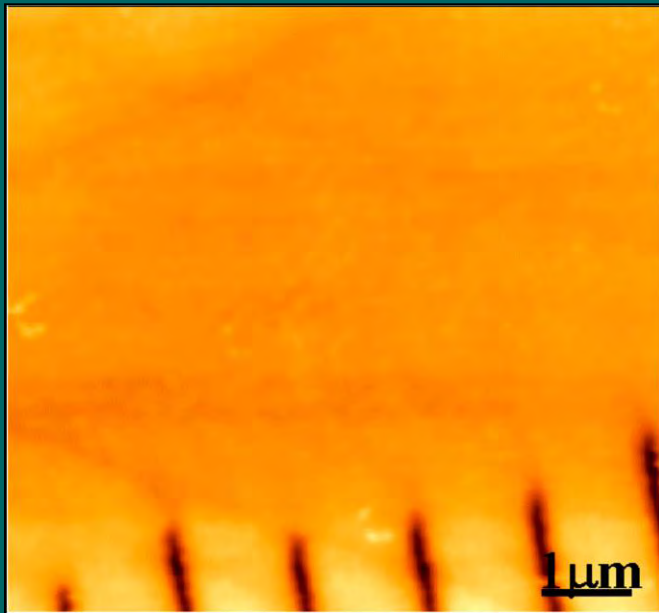


磁界変調記録の矢羽型記録マーク

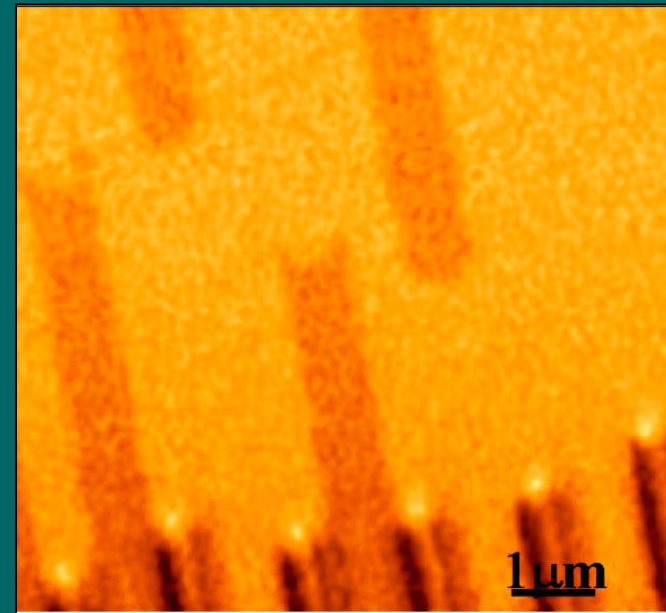


記録マーク

Pt/Coディスクの記録マークの トポ像と磁気光学像



トポグラフ像



磁気光学像

ストークスパラメータ

$$\mathbf{E} = \begin{pmatrix} E_x \\ E_y \end{pmatrix}$$

$$S_0 = \langle |E_x|^2 \rangle + \langle |E_y|^2 \rangle$$

$$S_1 = \langle |E_x|^2 \rangle - \langle |E_y|^2 \rangle$$

$$S_2 = \langle E_x \cdot E_y^* \rangle + \langle E_x^* \cdot E_y \rangle$$

$$S_3 = -i \left[\langle E_x \cdot E_y^* \rangle - \langle E_x^* \cdot E_y \rangle \right]$$

$$P = \frac{\sqrt{S_1^2 + S_2^2 + S_3^2}}{S_0}$$

Electric field vector of light

Intensity of light

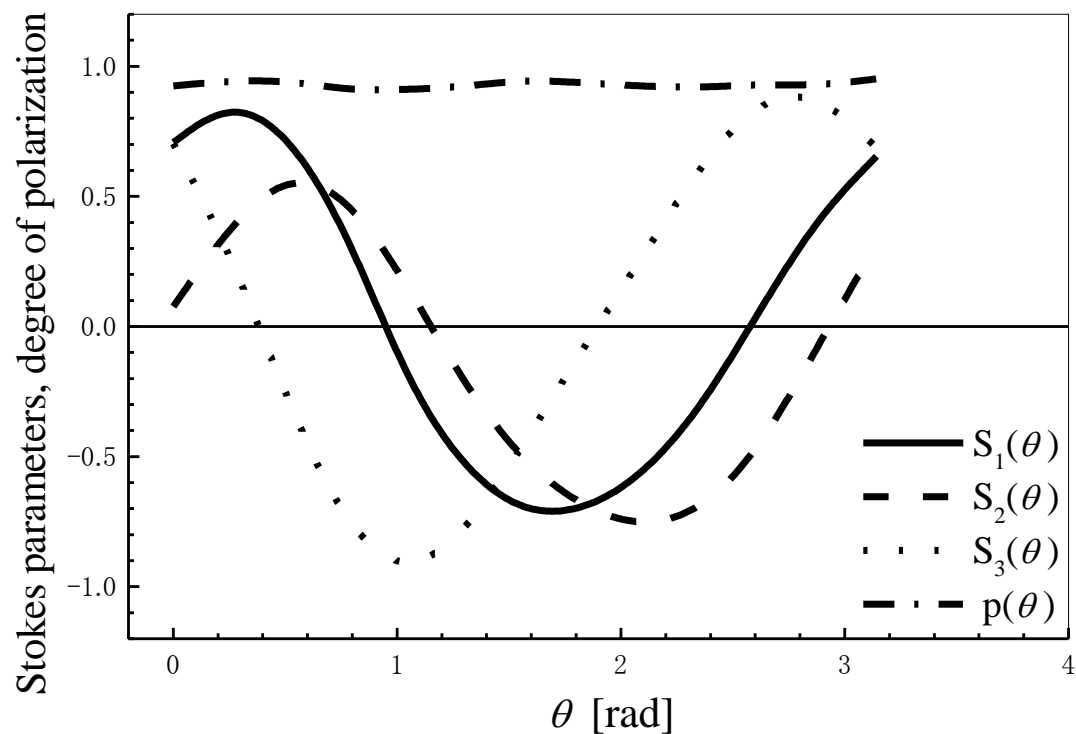
Intensity of linearly polarized
light along x axis

Intensity of linearly polarized
light oriented by 45 degrees

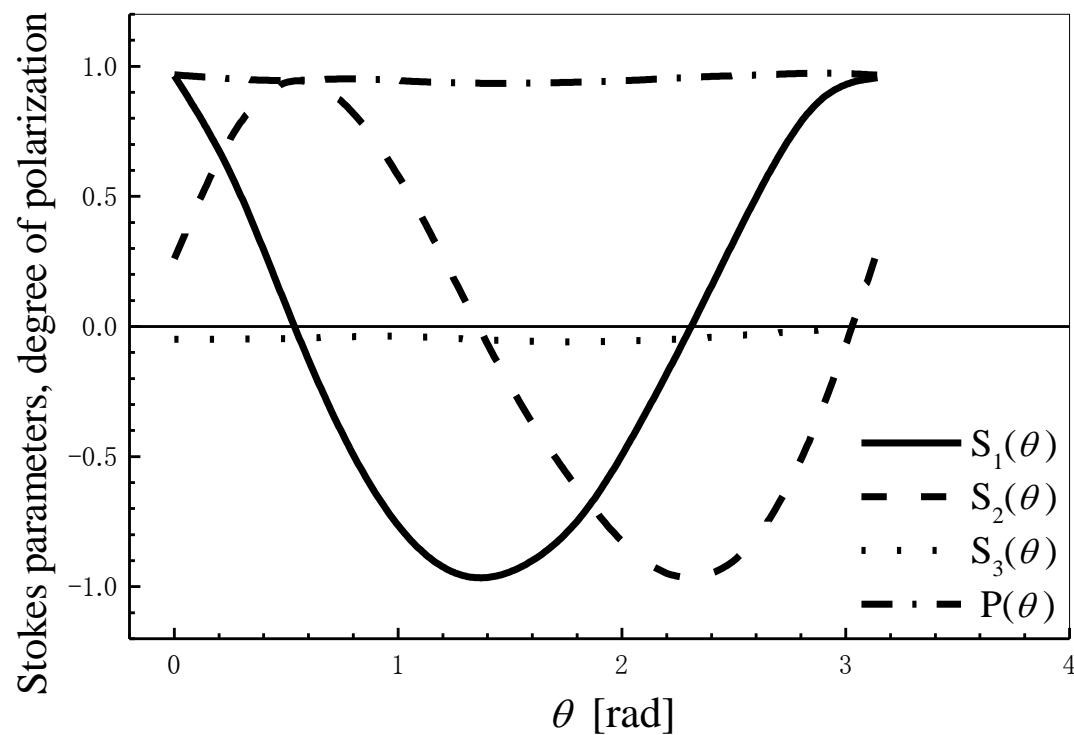
Intensity of circularly
polarized light

Degree of polarization

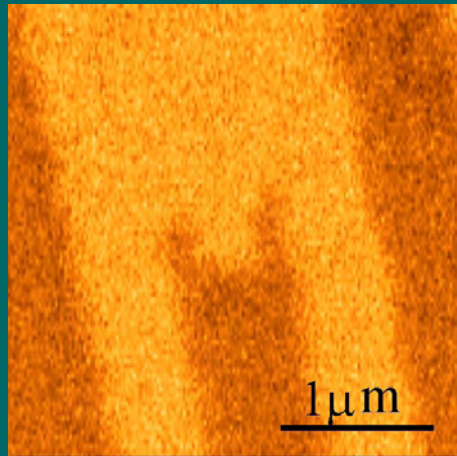
補償前のファイバプローブの ストークスパラメータ



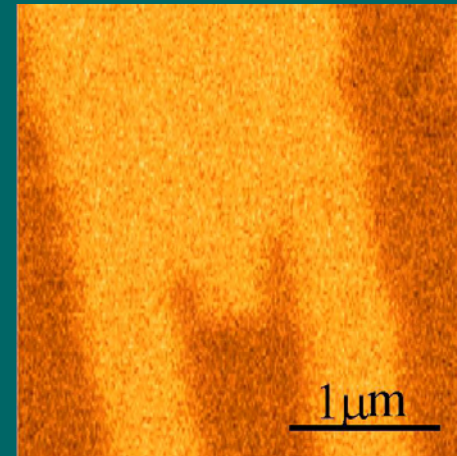
補償後のプローブの ストークスパラメータ



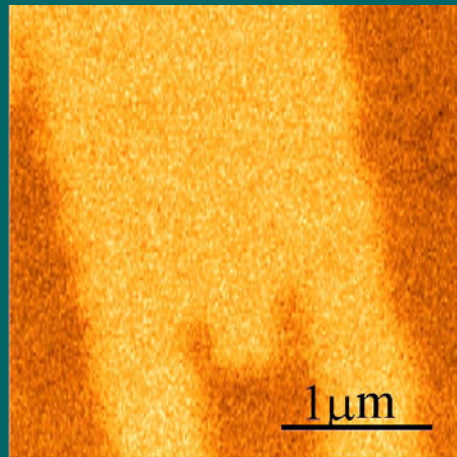
補償後の磁気光学像



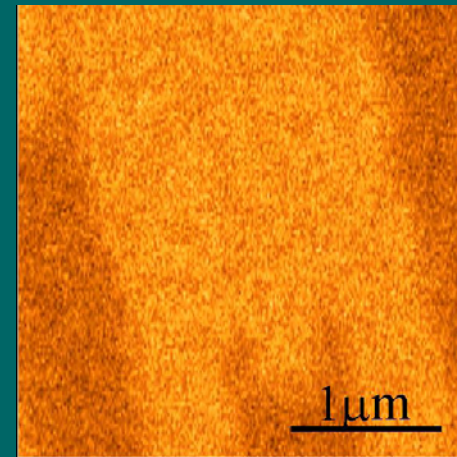
(a) 1f component ($\Delta=0$)



(b) 2f component ($\Delta=0$)



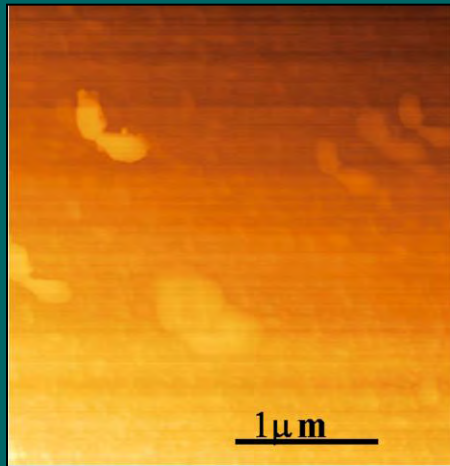
(c) 1f component ($\Delta=\pi/2$)



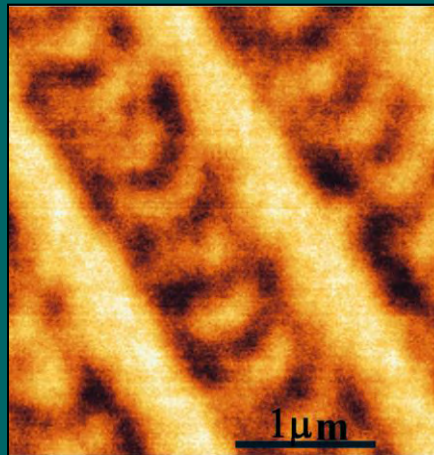
(d) 2f component ($\Delta=\pi/2$)

0.2 μm マークのトポ像と磁気光学像

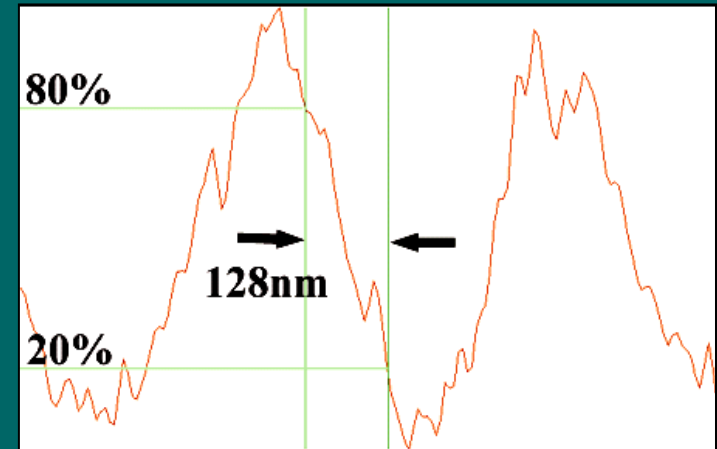
解像度の定義



トポ像

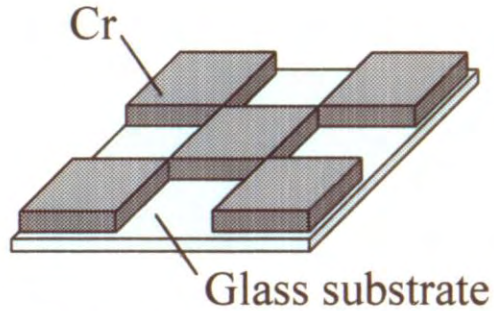


MO 像

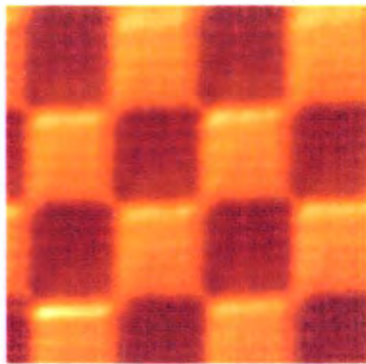


ラインプロファイル

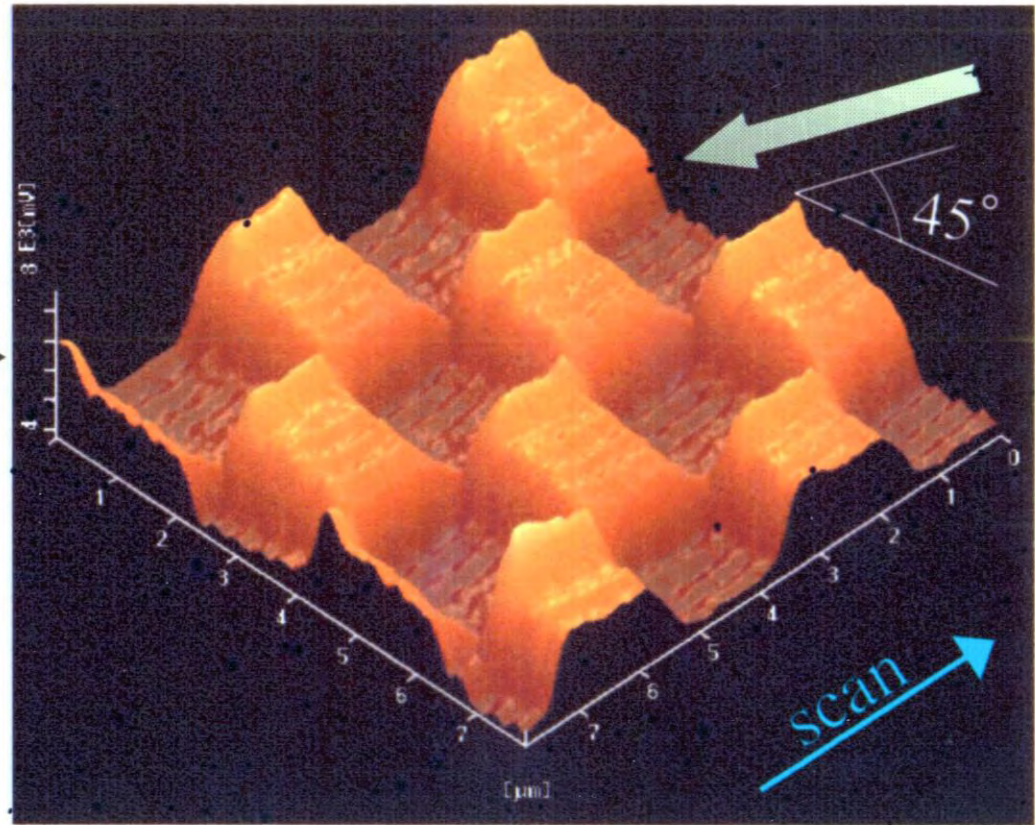
反射モードSNOM像



(a) Test sample

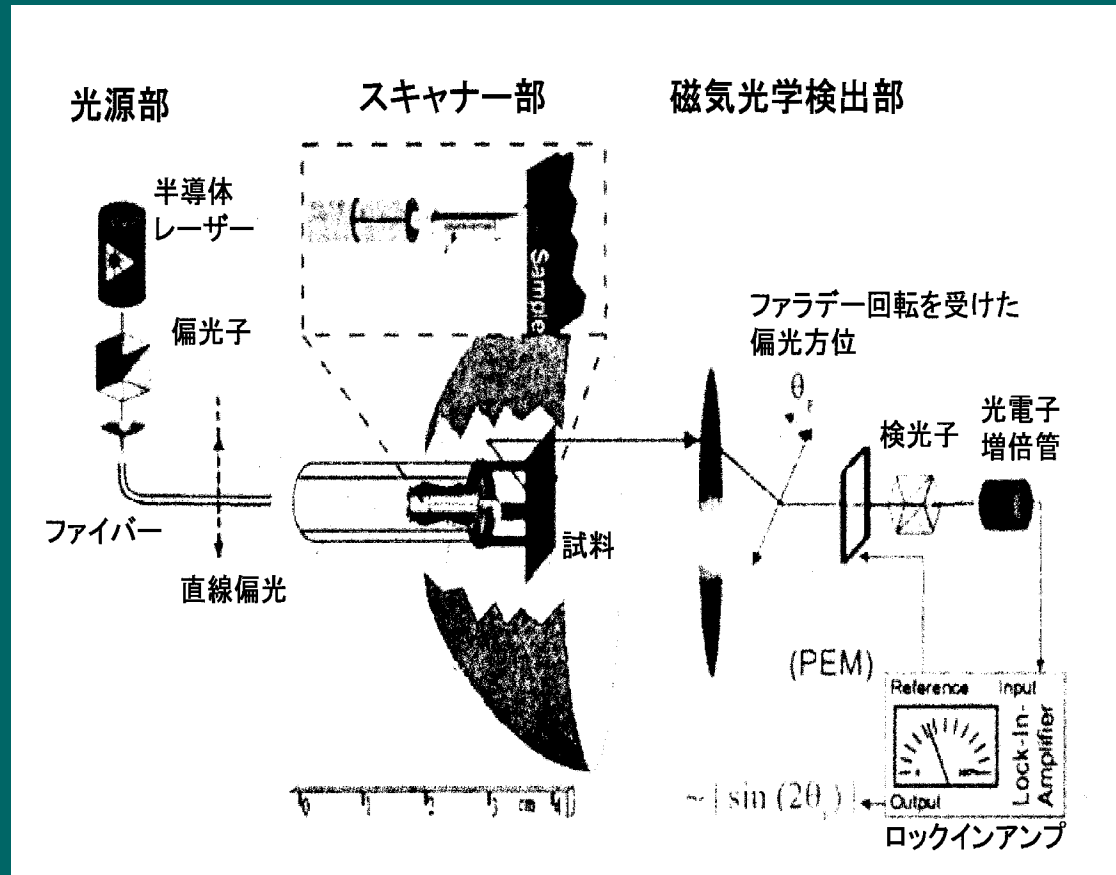


$2 \mu\text{m}$



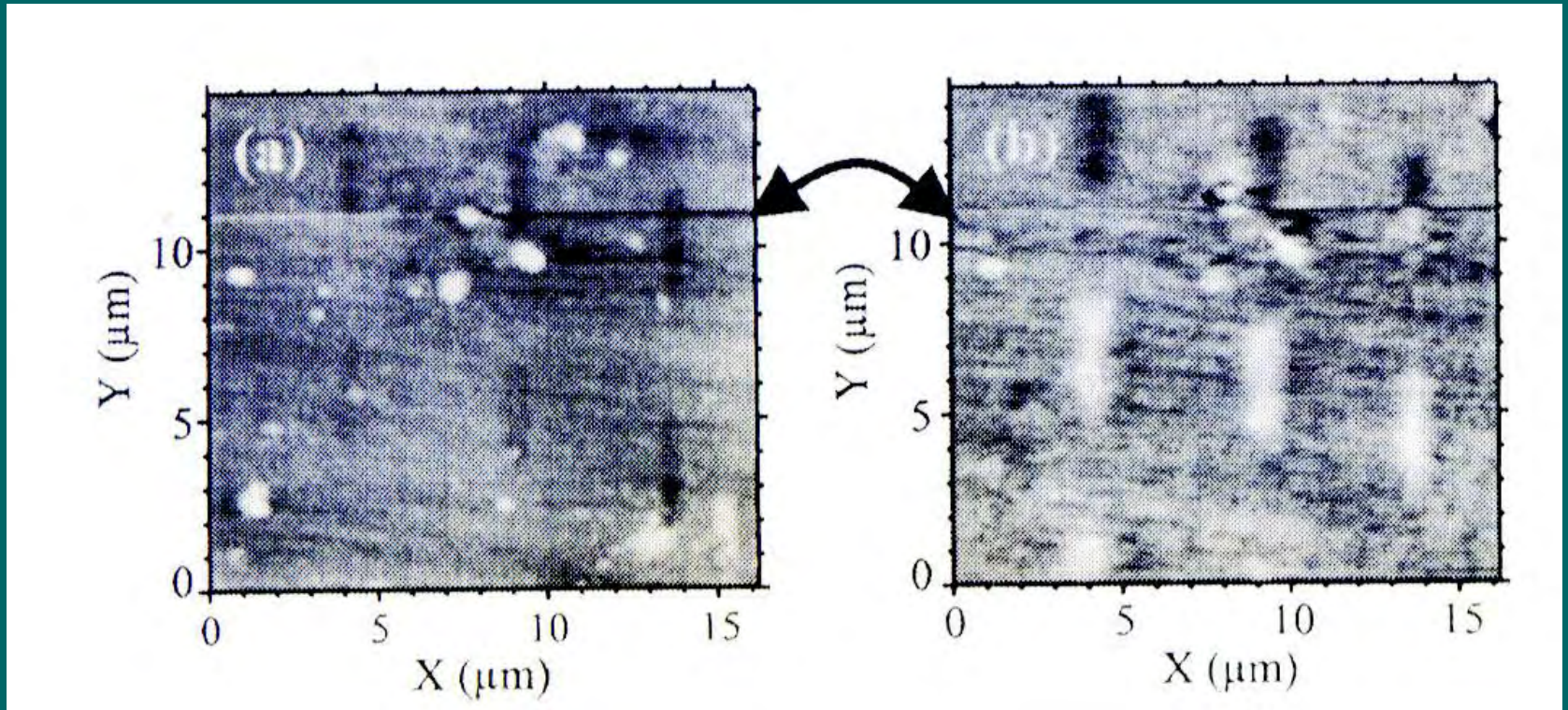
(b) Reflective mode SNOM image ($8 \mu\text{m} \times 8 \mu\text{m}$).

放物面鏡を用いた反射SNOM



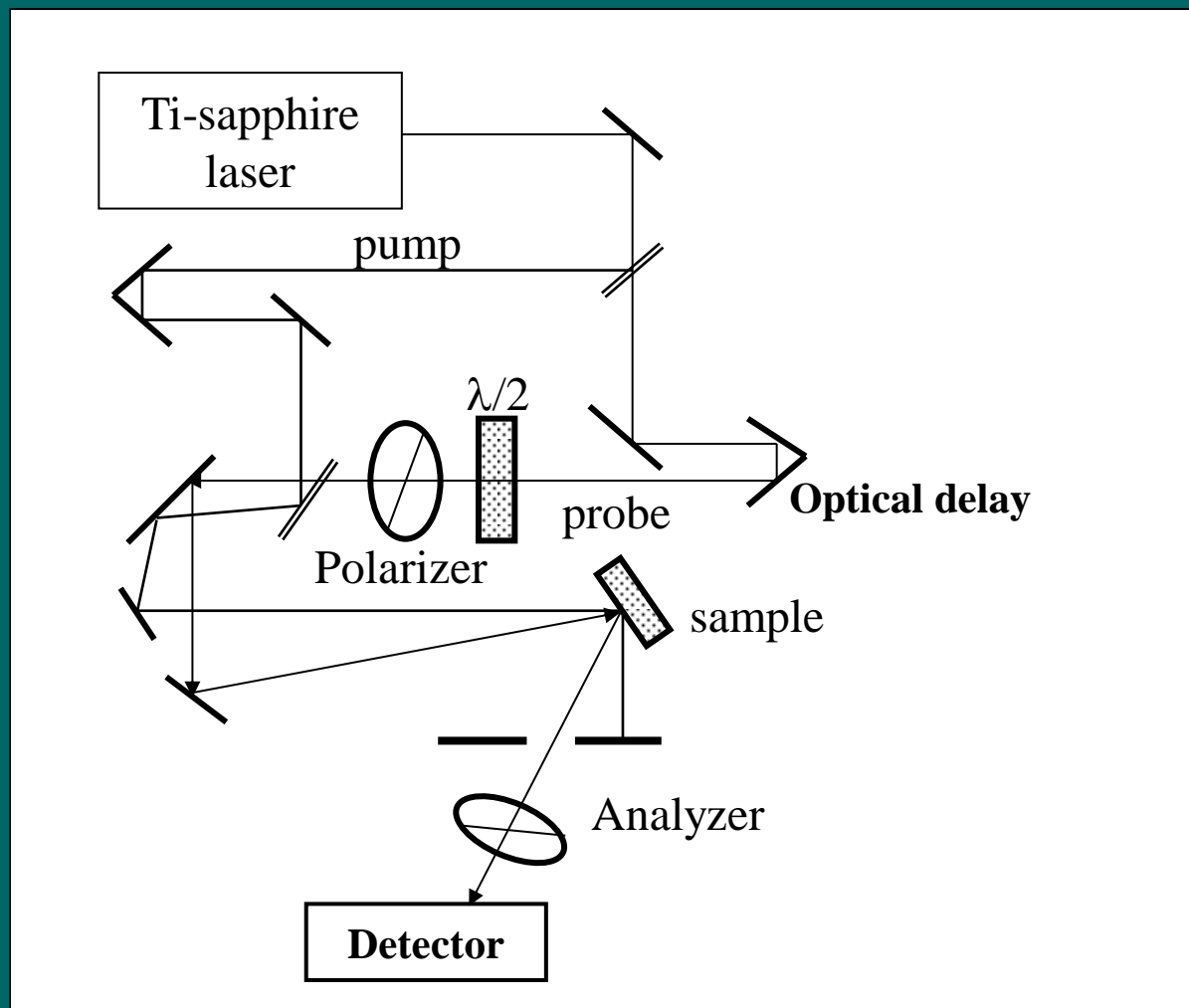
凹面鏡を集光に用いた反射型SNOMの構成図

放物面鏡を用いた反射型SNOM

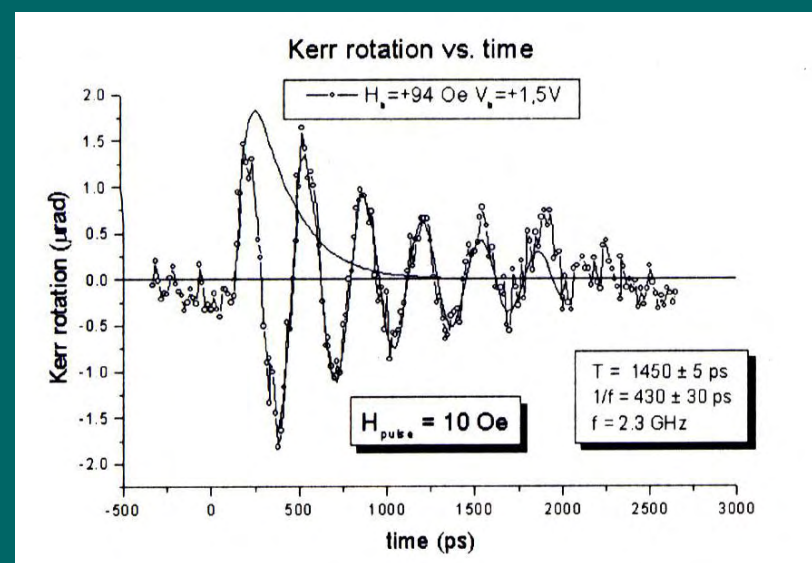
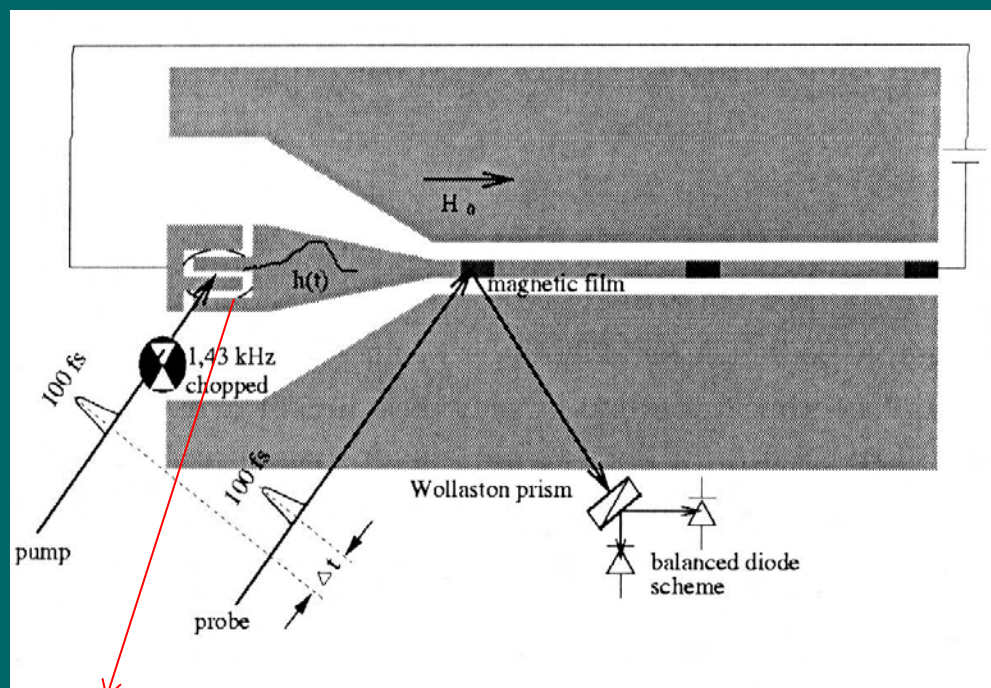


P. Fumagalli, A. Rosenberger, G. Eggers, A. Münnemann, N. Held, G. Güntherodt: *Appl. Phys. Lett.* **72**, 2803 (1998)

ポンププローブ磁気光学測定



微小領域磁性のスピンドYNAMICS



GaAs高速
光スイッチ

Th. Gerrits, H. van den Berg, O. Gielkens, K.J. Veenstra and Th. Rasing: Digest Joint MORIS/APDSC2000, Nagoya, October 30- November 2, 2000, TuC-05, p.24.

光スピニクス今後の課題

— より広範な領域をめざして —

- t : 超短パルス光 \rightarrow ps, fsレーザを用いた時間分解磁気光学測定、ポンププローブ測定
- ω : 広い波長領域、シンクロトロン放射光
- k : 回折現象、磁気散乱、磁性パターンの回折磁気光学
- x : 微小領域観察、アパーチャレスSNOM、スピンSTM、X線顕微鏡
- φ : 位相の直接測定: サニャック干渉計

終わりに

- 磁性の世界がナノテクノロジーという道具を得て大きく変革しつつある。
- 電子のもつ電荷とスピンの2つの機能を有効に使う技術がスピンエレクトロニクスである。
- これまで、自然に作りつけであると考えていた磁氣的相互作用を人類はついに制御する技術を得た。
- 光とスピンの相互作用は、近接場技術、フェムト秒技術などを得て次世代の高速高密度記録技術への道を開きつつある。